

Bachelorthesis

Abraham Begic

Tunnel-Magnetoresistives Sensor-Array -
Controllersteuerung, Platinen-Layout und
Prüfstands-Erprobung

Abraham Begic
Tunnel-Magneto-resistives Sensor-Array -
Controllersteuerung, Platinen-Layout und
Prüfstands-Erprobung

Bachelorthesis eingereicht im Rahmen der Bachelorprüfung
im Studiengang Informations- und Elektrotechnik
am Department Informations- und Elektrotechnik
der Fakultät Technik und Informatik
der Hochschule für Angewandte Wissenschaften Hamburg

Betreuender Prüfer: Prof. Dr.-Ing. Karl-Ragnar Riemschneider
Zweitgutachter: Prof. Dr.-Ing. Lutz Leutelt

Abgegeben am 09. Juli 2018

Abraham Begic

Thema der Bachelorarbeit

Tunnel-Magnetoresistives Sensor-Array - Controllersteuerung, Platinen-Layout und Prüfstands-Erprobung

Stichworte

Magnetische Sensoren, Automobil-Sensoren, Anisotroper magnetoresistiver Sensor, Tunnel magnetoresistiver Sensor, AMR- und TMR-Sensor-Array, Halbbrücken Steuerung, Sinus, Cosinus, Prüfstand-Erprobung, Roboter messplatz

Kurzzusammenfassung

Für zukünftige integrierte Sensoren basierend auf den Tunnel-Magnetoresistiven-Effekt sollen Vorversuche durchgeführt werden. Dazu wird ein vergrößertes Array mit diskreten Sensoren als Platine aufgebaut. Dieses Sensor-Array wird mit einem Mikrocontroller gesteuert. Die anschließende Funktionsüberprüfung erfolgt mit einem Roboter messplatz. Dabei werden Messungen mit und ohne Störfeld aufgenommen, verglichen wird dieses Array mit einem Sensor-Array basierend auf den Anisotropen-Magnetoresistiven-Effekt.

Abraham Begic

Title of the bachelor thesis

Tunnel magnetoresistive Sensor Array - Controller system, board layout and test bench setup

Keywords

Magnetoresistive Sensor, automotive sensors, Anisotropic magnetoresistive Sensor, Tunnel magnetoresistive Sensor, AMR- and TMR-Sensor-Array, half bridge control, sine, cosine, test bench setup, robot measuring setup

Abstract

Preliminary tests will be carried out for future integrated sensors based on the tunnel magnetoresistive effect. For this purpose, an enlarged array with discrete sensors is constructed as a circuit board. This sensor array is controlled by a microcontroller. The subsequent function test is carried out with a robot measuring station. Measurements with and without interference fields are recorded and compared with a sensor array based on the anisotropic magnetoresistive effect.

Vorwort

An dieser Stelle möchte ich mich bei Herrn Prof. Dr.-Ing. Karl-Ragmar Riemschneider für die Möglichkeit und Betreuung bedanken, meine Bachelorarbeit im Rahmen des ISAR-Projektes erstellen zu können. Für die Übernahme des Zweitgutachters möchte ich mich bei Herrn Prof. Dr.-Ing. Lutz Leutelt bedanken.

Bei Herrn M.Sc Thorben Schütte bedanke ich mich für die fachliche Beratung und Unterstützung während des ganzen Bearbeitungszeitraumes. In diesem Zuge bedanke ich mich bei der Arbeitsgruppe ISAR und BATSEN für das tolle Forschungsklima.

Des Weiteren gilt ein großer Dank an Herrn Dipl.-Ing. Günter Müller für das Korrekturlesen der vorliegenden Arbeit sowie seinem fachlichen Rat.

Ein besonderer Dank gilt, Frau Leonie Herzog, die mich bei der Bestückung des Sensor-Arrays unterstützte.

Meinen Freunden und Kommilitonen, die mich in der Zeit des Studiums und darüber hinaus begleitet haben, spreche ich an dieser Stelle meinen Dank aus.

Vor allem spreche ich meinen großen Dank an meine Eltern aus, die immer an mich geglaubt und mich im gesamten Zeitraum unterstützt haben. Meinen Geschwistern und der Familie, die mir bei mannigfaltigen Gelegenheiten zur Seite standen.

Nicht zuletzt bedanke ich mich bei meiner Freundin, für ihr Verständnis und ihrer Hilfe während der Bearbeitungszeit der vorliegenden Arbeit.

Inhaltsverzeichnis

Abbildungsverzeichnis	VIII
Tabellenverzeichnis	IX
Abkürzungen	X
Symbolverzeichnis	XI
1 Einleitung	1
1.1 Definition Sensor	1
1.2 Sensoren im Automobil	2
1.3 Ziel dieser Arbeit	4
2 Grundlagen	6
2.1 Magnetische Sensoren	6
2.1.1 Anisotroper magnetoresistiver Sensor	6
2.1.2 Tunnel magnetoresistiver Sensor	7
2.2 Verwendeter Sensor zum Aufbau des Arrays	9
3 Hardware-Entwurf des Sensor-Arrays	11
3.1 Grundkonzept des Arrays	11
3.2 Ausrichtung und Ansteuerung des Sensor-Arrays	13
3.3 Schaltplan in Eagle	15
3.4 Erstellung der Platine	16
3.4.1 Dimensionen der Platine	16
3.4.2 Positionierung der Bauteile	16
3.4.3 Verdrahtung und Beschriftung der Bauteile	17
3.5 Modifikation am verwendeten Mikrocontroller-Board	18
3.6 Bestückung der Platine	20
4 Software zum Steuern des Mikrocontrollers und Robotermessplatzes	21
4.1 Die Ansteuerung des Mikrocontrollers	21
4.2 Die Software zum Steuern des Robotermessplatzes	23
4.3 Ablauf des Messplans	24
5 Evaluation und Messerprobung	26
5.1 Sensor-Array	26
5.1.1 Widerstandsmessung	26

5.1.2	Messungen der Ausgangsspannung an den Signalleitungen	30
5.1.3	Graphische Zuordnung der Sensorelemente	32
5.2	Rotationsmessung mittels Robotermessplatz	35
5.2.1	Messungen mit dem KMZ60-AMR-Sensor-Array	35
5.2.2	Messungen mit dem NVE-TMR-Sensor-Array	39
5.2.3	Kreisdarstellung der Messergebnisse beider Sensor-Arrays	43
5.2.4	Störfeldmessungen	44
5.3	Résumé der Messungen	48
6	Schlussfolgerungen	49
6.1	Zusammenfassung	49
6.2	Herausforderung	50
6.3	Ausblick	52
	Literatur	53
	Anhang	
A	PAP	55
B	Technische Abbildungen	66
C	Quellcode	71
C.1	C-Quellcode	71
C.2	Matlab-Quellcode	92
D	Tabellen	117
E	Messungen	119
F	CD	126
	Selbstständigkeitserklärung	127

Abbildungsverzeichnis

2.1	Aufbau von AMR-, TMR- und GMR-Sensoren	7
2.2	Funktionsweise von TMR-Sensoren in Abhängigkeit eines externen Magneten	8
2.3	Funktionsweise des Sensors	9
3.1	Verdrahtungsschema des Sensor-Arrays	11
3.2	Schematische Darstellung zwischen Sensor-Array; Mikrocontroller und PC	12
3.3	Pinbelegung der Pinleiste x11 des Controllers	14
3.4	Auszug aus der Schaltplan-Darstellung der Platine	15
3.5	Ausschnitt aus dem Zentrum des Sensor-Arrays	18
3.6	Modifikationen am Mikrocontroller	19
3.7	Weitere Modifikationen am Mikrocontroller	19
4.1	Aufteilung der Programmstruktur	21
4.2	Übersicht über das Beschalten und Auslesen des Sensor-Arrays.	22
4.3	Gegenüberstellung der Koordinaten des Sensor-Arrays zum Messschema .	24
4.4	Darstellung der abzufahrenden Messpunkte über dem Array.	25
5.1	Darstellung der Widerstandswerte in kartesischen Koordinaten	27
5.2	Gegenüberstellung der Halbbrücken	28
5.3	Histogramm der Widerstandselemente	29
5.4	Ausgangssignal der COS-Leitung 1	31
5.5	Ausgangssignal der SIN-Leitung 8	31
5.6	Beispiel des Testbetriebs des gesamten Arrays	33
5.7	Beispiel des Testbetriebs der Zeile E	33
5.8	Beispiel des Testbetriebs nur Sensor E4	33
5.9	Beispiel des Testbetriebs Zentrum des Arrays	34
5.10	Beispiel des Testbetriebs nur das COS-Zentrum	34
5.11	Kugelhalterung für den Messplatz	35
5.12	Messungen mit dem KMZ-60 Sensor-Array und einem großen Kugelmagneten	38
5.13	Messungen mit dem NVE-AAT001-10E Sensor-Array und einem großen Kugelmagneten	41
5.14	Gegenüberstellung der Sensor-Arrays mit einer großen Kugel mittig über den Sensor-Arrays	42
5.15	Kreisdarstellung KMZ-60 Sensor-Array und einem großen Kugelmagneten	43
5.16	Kreisdarstellung NVE-Sensor-Array und einem großen Kugelmagneten .	44

5.17	Kreisdarstellung KMZ-60 Sensor-Array mit einen kleine Kugelmagneten mit und ohne Störfeld	45
5.18	Kreisdarstellung NVE-Sensor-Array und einen kleinen Kugelmagneten mit und ohne Störfeld	46
5.19	Gegenüberstellung der Störfeldmessung mittig über beiden Arrays mit einem Würfelmagneten	47
A.1	Programmablaufplan: enable_set_high	55
A.2	Programmablaufplan: Get_Values	56
A.3	Programmablaufplan: Init_Systick_Interrupt_Handler	57
A.4	Programmablaufplan: Init_ADC	58
A.5	Programmablaufplan: Init_Systick_Interrupt	59
A.6	Programmablaufplan: INIT_UART	60
A.7	Programmablaufplan: Interrupt_Port_J	61
A.8	Programmablaufplan: Main	62
A.9	Programmablaufplan: UART_SEND	63
A.10	Programmablaufplan: UARTIntHandler	64
A.11	Programmablaufplan: vals_to_terminal	65
B.1	Schematische Darstellung der Anschlüsse.	66
B.2	Abbildung über die gesamte schematische Darstellung in EAGLE.	67
B.3	Vollständiges Platinen-Layout.	68
B.4	Layout der Unterseite der Platine.	68
B.5	Layout der Oberseite der Platine.	69
B.6	Dimensionen und technische Daten der Platine.	69
B.7	Schablone für die Holzplatte.	70
E.1	Gegenüberstellung der Kreisdarstellungen beider Arrays	119
E.2	Messungen mit dem KMZ-60 Sensor-Array und einem kleinen Kugelmagneten	120
E.3	Messungen mit dem KMZ-60 Sensor-Array und einem Würfelmagneten	121
E.4	Messungen mit dem KMZ-60 Sensor-Array und einem Quadermagneten	122
E.5	Messungen mit dem NVE-AAT001-10E Sensor-Array und einem kleinen Kugelmagneten	123
E.6	Messungen mit dem NVE-AAT001-10E Sensor-Array und einem Würfelmagneten	124
E.7	Messungen mit dem NVE-AAT001-10E Sensor-Array und einem Quadermagneten	125

Tabellenverzeichnis

1.1	Klassifizierung von Sensoren im Automobil	3
1.2	Unterschiede zwischen AMR und TMR	4
2.1	Sensor Daten aus dem Datenblatt	10
5.1	Mittelwerte und Standardabweichungen der Sensorelemente	30
5.2	Daten der Magneten zur Messung am Robotermessplatz	36
5.3	Auflistung der Messung am Robotermessplatz des AMR-Sensor-Arrays .	37
5.4	Auflistung der Messung mit unterschiedlichen Magneten am Robotermessplatz mit dem TMR-Sensor-Arrays	40
D.1	Widerstandswerte der COS-Seite angegeben in $k\Omega$	117
D.2	Widerstandswerte der SIN-Seite angegeben in $k\Omega$	118

Abkürzungen

AMR	Anisotroper-Magneto-resistiver-Effekt
CMR	kolossaler Magneto-resistiver Effekt
GMR	Giant Magneto-resistiver Effekt
GPIO	General Purpose Input/Output
MR	magneto-resistiv
MR-Effekt	magneto-resistiver Effekt
TMR	Tunnel-Magneto-resistiver Effekt

Symbolverzeichnis

Symbol	Einheit	Beschreibung
<i>COS_LX</i>	V	Signalleitung der Cosinus-Zeile
<i>COS_X</i>	V	Signalleitung COS zwischen Ausgangswiderstand und Pin
<i>GC_X</i>	V	Masseleitung der Cosinus-Spalte
<i>GS_X</i>	V	Masseleitung der Sinus-Spalte
R_{ADC}	Ω	Widerstand des ADCs
R_{CXX}	Ω	Widerstand der Cosinus-Spalte
R_{GC}	Ω	TMR-Widerstand zwischen dem Kontakt GND und COS
R_{GS}	Ω	TMR-Widerstand zwischen dem Kontakt GND und SIN
R_{SXX}	Ω	Widerstand der Sinus-Spalte
R_{VC}	Ω	TMR-Widerstand zwischen dem Kontakt VCC und COS
R_{VS}	Ω	TMR-Widerstand zwischen dem Kontakt VCC und SIN
<i>SIN_LX</i>	V	Signalleitung der Sinus-Zeile
<i>VC_X</i>	V	Versorgungsspannung der Cosinus-Spalte
<i>VS_X</i>	V	Versorgungsspannung der Sinus-Spalte

1 Einleitung

In der Automobilelektronik haben magnetische Sensoren einen hohen Stellenwert. Aufgrund des berührungslosen Erfassens von Winkelinformationen und Drehzahlen. Das Einsatzgebiet umfasst dabei den Antriebsstrang, das Sicherheitssystem sowie den Komfortbereich. Die Hochschule für Angewandte Wissenschaften (HAW) Hamburg und Ihre Partner arbeiten kooperativ, am dem Forschungsprojekt „ISAR“¹. Dieses Projekt wird vom Bundesministerium für Bildung und Forschung gefördert. Die Ziele dieses Projekts sind zum einen die Zulassung der verschiedenen Einsatzanforderungen und zum anderen die Erkennung und Unterdrückung der Störfelder. Des weiteren wird ein Konzept zur Ein- und Ausgabe von Daten, als auch die Trennung von relevanten und irrelevanten Informationen vorgenommen. Der Beitrag dieser Arbeit ist es ein Sensor-Array zu erstellen basierend auf den Tunnel-Magneto-resistiver Effekt (TMR)-Effekt. Dies ist ein vergrößertes Funktionsmodell des zukünftig zu implementierenden Sensors. Mit dem Modell soll es möglich sein das Magnetfeld eines Permanentmagneten zu erfassen, dessen räumliche Lage die Nutzinformation beinhaltet. Das Sensor-Array ermöglicht die Fehlerkorrektur für diese Nutzinformationen. Ein weiterer Aspekt ist die Kompensation und Detektion von Störfeldern.

1.1 Definition Sensor

Der Begriff Sensor ist auf die lateinischen Wörter *sensus* -„das Beobachten“- bzw. -„das Wahrnehmen“- und *sentire* -„wahrnehmen oder fühlen“- zurückzuführen. Sensoren sind nicht mehr aus der heutigen Zeit, dem Zeitalter der Digitalisierung und Industrie 4.0, wegzudenken. Es wird immer wichtiger schnell, präzise und mit einer hohen Genauigkeit Daten zu erfassen, bearbeiten oder zu interpretieren. Der große technische Fortschritt in der technologischen Welt ist auch den präziseren und zugleich smarten Sensoren zu verdanken. Sie befähigen Maschinen dazu, zu „fühlen“. Die magnetischen Sensoren, die zurzeit in Automobilen verbaut werden beruhen auf den Hall-Effekt oder auf den Anisotroper-Magneto-resistiver-Effekt (AMR)-Effekt. Die letzteren Sensoren sind anfällig gegenüber Störfeldern und Fehllagen des Gebermagneten. Durch ein Sensor-Array soll die Anfälligkeit von Störfeldern und einer Fehllage des Gebermagneten minimiert werden.

¹Signalverarbeitung für **I**ntegrated **S**ensor-**A**rrays basierend auf den tunneltmagneto-resistivern-Effekt für den Einsatz in der Automobilelektronik.

Allgemein erfassen Sensoren einen Großteil der physikalischen Größen, welche auf den SI-Einheiten basieren, wie z. B.:

- Zeit
- Länge
- Masse
- Elektrische Stromstärke
- Temperatur
- Stoffmenge
- Lichtstärke

1.2 Sensoren im Automobil

Heutzutage sind Sensoren im Automobil kaum mehr wegzudenken. Aufgrund der technischen Innovationen in den letzten Jahrzehnten haben sich die Sensoren erfolgreich ihren Weg in die Welt der Kraftfahrzeuge gebahnt. Sensoren und die für sie notwendigen elektronischen Bauteile sind Fluch und Segen zugleich. Im modernen Fahrzeug ist keine freie Stelle vorhanden, weil jeder freie Platz so gut wie möglich genutzt und mit Elektronik bestückt wird. Durch die verbaute Technik ist das Automobil gefühlt anfälliger für Fehler und Temperaturextreme im Vergleich von vor 30 Jahren, wo jede technisch begabte Person ihr Fahrzeug selbst reparieren konnte. Die Vorteile der Sensoren überwiegen, alleine im Bereich der Sicherheit und Leistungsoptimierung und damit einhergehend, umweltfreundlicher Nutzung. Die heutzutage innerhalb der Automobiltechnik eingesetzten Sensoren können in folgende drei Kategorien unterteilt werden:

1. Kategorie Antriebsstrang: Dort kommen die Sensoren zum Einsatz, die wichtige Daten verarbeiten und weiterleiten bzw. abfragen, um den technischen Betrieb des Fahrzeugs zu gewährleisten.
2. Kategorie Sicherheit: Sensoren dieser Kategorie sind zum Schutz der Personen im Fahrzeug vorgesehen und leisten einen großen Beitrag, die straßenverkehrsbedingten Unfälle zu reduzieren.
3. Kategorie Komfort: Durch den Einsatz dieser Sensoren ist eine Fahrt auf langen Distanzen erheblich angenehmer geworden. Allein die Navigation hat in den vergangenen zehn Jahren einen großen Sprung, erfahren.

In Tabelle 1.1 sind einige der eingebauten Sensoren in dieser Unterteilung folgend aufgelistet.

Tabelle 1.1: Klassifizierung derzeitiger Sensoren in der Automobilelektronik [10].

Antriebsstrang		
Drucksensor	Ladedrucksensor	Luftmassensensor
Klopfsensor	Umgebungsdrucksensor	Hochdrucksensor
Lambda-Sonde	Drehzahlsensor	Tankdrucksensor
Pedalweggeber	Winkelgeber	Positionsgeber
Ermüdungssensor		
Sicherheit		
Abstandsradar	Neigungssensor	Hochdrucksensor
Drehmomentsensor	Lenkradwinkelsensor	Beschleunigungssensor
Drehratensensor	Sitzbelegungssensor	Drehzahlsensor
Komfort		
Drehratensensor	Luftgütesensor	Feuchtigkeitssensor
Temperatursensor	Drucksensor	Regensensor
Abstandssensor Ultraschall	Lichtsensor	

Das TMR-Array kann in allen drei Bereichen eingesetzt werden. Im Antriebsstrang als Winkelgeber oder Drehzahlsensor. Im Bereich der Sicherheit als Translationssensor im Antiblockiersystem (ABS) und im Komfortbereich als Sensor in der Servolenkung. In der folgenden Tabelle 1.2, wird der Unterschied zwischen dem AMR-Effekt und dem TMR-Effekt aufgezeigt. Der AMR-Effekt hat ein sehr gutes Signal-Rausch-Verhältnis (SNR)², sowie Bandbreite und Verhalten bei Hysterese. Der TMR-Effekt besitzt eine sehr gute Widerstandsänderung im $\Delta R / R$ Verhältnis zum konstanten Widerstand sowie bei der Leistungsaufnahme, Temperaturstabilität und Miniaturisierbarkeit.

²Engl. für signal-to-noise ratio.

Tabelle 1.2: Unterschied in den Attributen des AMR-Effekts und TMR-Effekts (0: neutral; +: gut; ++: sehr gut) [12].

	AMR-Effekt	TMR-Effekt
$\frac{\Delta R}{R}$	0	++
Empfindlichkeit	+	+
Signal/Rauschen	++	0
Bandbreite	++	0
Leistungsaufnahme	0	++
Temperaturstabilität	+	++
Hysterese	++	0
Miniaturisierbarkeit	0	++

1.3 Ziel dieser Arbeit

Basierend auf dem TMR-Effekt soll ein Funktionsmodell in Form eines Sensor-Arrays entworfen und erstellt werden. Es kann auf Vorarbeiten zu einem Funktionsmodell in AMR-Technologie aufgebaut werden. Das Sensor-Array soll kommerzielle TMR-Sensoren so auslesen, dass die Halbbrückenspannung (COS, SIN) getrennt und ohne Kreuzbeeinflussung erfasst werden können. Das Array soll einerseits ein Beispiel für die Beschaltung und das Auslesen der Sensordaten bereitstellen und andererseits Daten für den Entwurf und Test von Auswertelgorithmen liefern. Für die Erprobung wird ein Robotermeßplatz verwendet, der in einer vorherigen Abschlussarbeit genutzt wurde [2]. Ferner soll ein Vergleich mit dem AMR-Array durchgeführt werden. Die Zielsetzung wurde in die folgenden Strukturen aufgliedert, um den Arbeitsablauf in einen festen Rahmen zu definieren.

1. Einarbeitung Grundlagen:

- Magnetische Sensoren im Automobil
- Funktionsweise magnetischer Sensoren
- Einarbeiten in das Platinendesign

2. Sensor-Array:

- Entwurf eines 8x8 Sensor-Arrays
- Optimierung der Anschlussführungen zwischen Sensor- und Mikrocontroller
- Funktionsüberprüfung des Arrays
- Fertigung und Bestückung
- Inbetriebnahme und Funktionscheck

3. Software:

- Anpassung der vorhandenen Software
 - Neukonzeption des Ausleseverfahrens
 - Datenvisualisierung zur Prüfung der Funktionalität
4. Versuchsreihen und Auswertungen mittels automatisiertem Messsystem:
- Modifikation der Steuer-Erfassungs-Skripte des Robotermessplatzes
 - Aufstellen eines Mess- und Versuchsplans
 - Äquivalente Versuchsreihen mit TMR-Array zu den Vorarbeiten mit dem AMR-Array
 - Störfeldaufschlag mittels Halbach-Ring-Array

2 Grundlagen

Dieses Kapitel befasst sich mit den Grundlagen der Magnetischen Sensoren, dabei stehen der AMR- und TMR-Sensor im Fokus.

2.1 Magnetische Sensoren

Vor ca. 150 Jahren wurde der magnetoresistiver Effekt (MR-Effekt) entdeckt und dient heute als Grundlage für magnetische Sensoren. Einer der ersten Entdecker war der Physiker William Thomson im Jahre 1857. Er bemerkte, dass sich der elektrische Widerstand eines vom Strom durchflossenen Leiters unter dem Einfluss eines Magnetfeldes ändert. Erst gegen Ende des letzten Jahrhunderts, vor ca. 30 Jahren, war es möglich, den Effekt zur sensorischen Nutzung zu industrialisieren, was der Weiterentwicklung der Halbleiterindustrie bzw. Dünnschichttechnik zu verdanken ist [12].

Der MR-Effekt findet seinen größten Anwendungsbereich derzeit in Festplattenleseköpfen. Der am schnellsten wachsende Markt ist heutzutage die Industrieanwendung. Was auf das verschleißfreie Messen bzw. das weite Anwendungsgebiet der Sensoren, wie z. B. in der Medizintechnik, dem Maschinenbau und dem Fahrzeugbau zurückzuführen ist. Die Unterschiede zwischen den Effekten sind gegeben durch die Anordnung und die Art der Materialien. Folgende Unterscheidungen existieren: AMR-Effekt, TMR-Effekt, Giant Magnetoresistiver Effekt (GMR)-Effekt, kolossaler Magnetoresistiver Effekt (CMR)-Effekt und Hall-Effekt. Sensoren auf dieser Grundlage werden auch Magnetowiderstandssensoren genannt, da sich der Widerstandswert der Sensoren beim Anlegen eines äußeren Magnetfeldes ändert. In der Abbildung 2.1 sind die Schichten des AMR, GMR und TMR Aufbaus dargestellt. In dieser Arbeit wird Bezug auf den AMR und TMR genommen ([14, S. 281–315] und [12]).

2.1.1 Anisotroper magnetoresistiver Sensor

Der AMR-Effekt ist der am längsten bekannte Effekt und basiert auf der Forschung von Thomson Mitte des 19. Jahrhunderts. Er beschreibt die Abhängigkeit des spezifischen Widerstandes durch Einflussnahme eines von außen anliegenden Magnetfeldes, wobei der Winkel zwischen der Magnetisierung und Stromrichtung die ausschlaggebende Größe ist. Der Effekt lässt sich am besten in einer Permalloy-Schicht (Nickel-Eisen-Legierung) beobachten. Die Maxima des Widerstandes sind immer dann gegeben, wenn entweder das von außen anliegende Magnetfeld und der Strom gleich groß sind (Maximum) oder

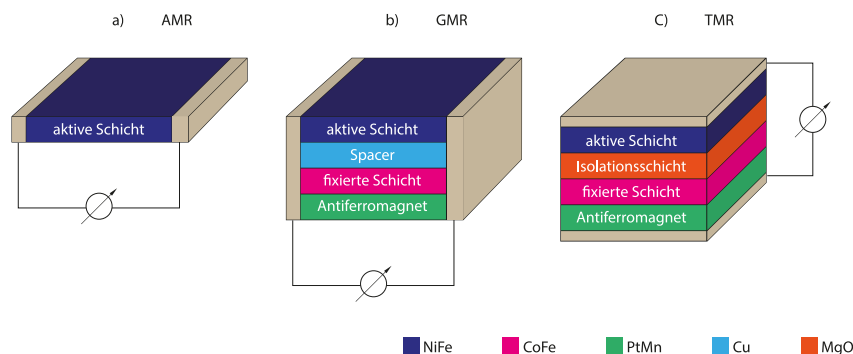


Abbildung 2.1: Gegenüberstellung des Aufbaus von AMR-, GMR- und TMR-Sensoren [12].

das anliegende Feld senkrecht zum Strom steht (Minimum) ([14] und [8]). Die folgende Gleichung 2.1 beschreibt dies:

$$R(\phi) = R_m + \Delta R \cdot \cos(2\phi) \quad (2.1)$$

Der Winkel ϕ , ist der Winkel zwischen der Stromrichtung und Magnetisierung. ΔR ist die Widerstandsänderung in Abhängigkeit des Winkels ϕ . R_m ist der konstante Widerstand und $R(\phi)$ ist der Widerstand in Abhängigkeit des Winkels ϕ .

Zu erkennen ist, dass der elektrische Widerstand vom doppelten Winkel abhängt. Dies hat zur Folge, dass lediglich ein Winkelbereich von 180° eindeutig zu bestimmen ist. In den Sensoren befinden sich Wheatstone-Brücken, die 45° verdreht zueinander positioniert sind. Dadurch ergibt sich im Verlauf des Widerstandes ein Phasenversatz von 90° . Durch die Brückenschaltungen und deren Anordnung zueinander ist der Aufbau unempfindlicher gegenüber Temperaturschwankungen [8].

2.1.2 Tunnel magnetoresistiver Sensor

In den 1970-er Jahren entdeckte der Physiker M.Jullière den TMR-Effekt [6]. Dieser beschreibt, dass durch eine Isolationschicht im Nanobereich, zwei voneinander getrennte ferromagnetische Nanoschichten durch einen quantenmechanischen Effekt, Elektronen tunneln lassen. Jullière führte ein Modell zur Beschreibung des spinabhängigen Elektronentransports in Tunnelmagnetwiderständen ein. Die Voraussetzung dafür ist, dass der Elektronenspin beim Durchtunneln weiter anhält und die zwei unterscheidbaren Spin¹, Majoritäts-Spin (spin-up) und Minoritäts-Spin (spin-down), in den jeweiligen freien Bereich, der zugehörige Gegenelektrode tunneln. Damit können beide Spinkanäle unabhängig voneinander betrachtet werden. Nach dieser Betrachtungsweise lässt sich der

¹Spin kommt aus dem engl. und bedeutet Drehung oder Drall, hier handelt es sich um den Eigen Drehimpuls von Teilchen (Elektronen) [15].

TMR-Effekt anhand der Formel 2.2 berechnen:

$$TMR = \frac{G_p - G_{ap}}{G_{ap}} = \frac{R_{ap} - R_p}{R_p} = \frac{2P_l P_r}{1 - P_l P_r} \quad (2.2)$$

G_p ist der Leitwert, der für die parallele Magnetisierung steht. G_{ap} ist der Leitwert, der für die antiparallele Magnetisierung steht; äquivalent dazu die Magnetowiderstände R_p und R_{ap} . Die Spinpolarisation P_l (Position links) bzw. P_r (Position rechts) bezeichnet die Zustandsdichte an der Fermi-Kante². Der Flächenwiderstand der Barriere und die Fläche der Tunnelverbindungen definieren den Widerstand des TMR-Sensors. Ein elementarer Unterschied zum AMR-Effekt besteht darin, dass sich der Widerstand und die Größe der Sensorelemente proportional zueinander verhalten. Dadurch reduziert sich der Leistungsbedarf bzw. die Leistungsaufnahme. Das Verhalten des TMR-Sensors im Drehfeld unterscheidet sich gegenüber dem des AMR-Sensors. Durch die 90°-Drehung der Magnetisierung im AMR-Sensor vom einen Maxima zum nächsten ist bereits der magnetoresistiv (MR)-Hub erreicht und erst wieder bei 180° gegeben. Beim TMR-Sensor verhält es sich anders. Der volle Bereich ist erst nach einer ganzen Umdrehung ausgeschöpft. Damit hat der TMR-Sensor eine Periode von 360° ([14, S. 281–315] und [9]).

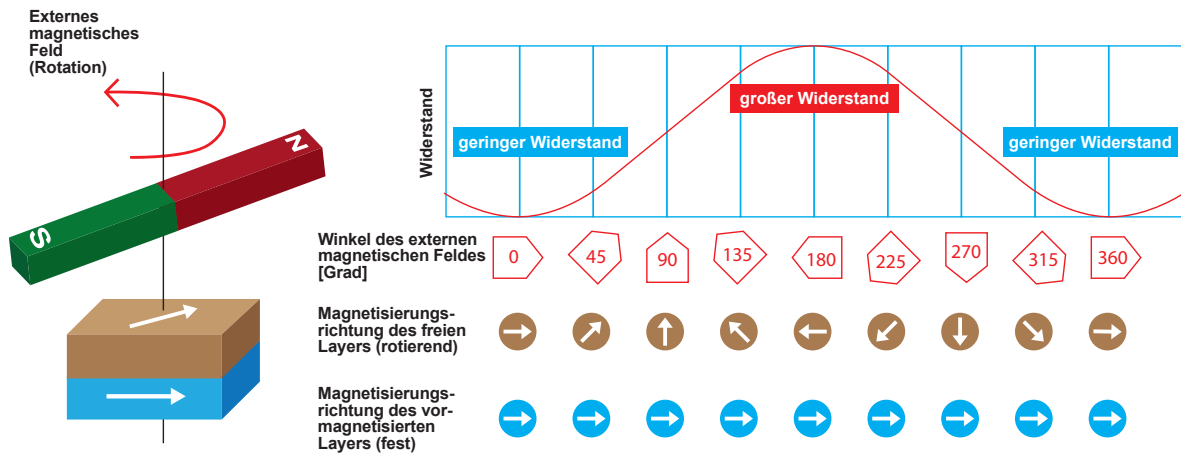


Abbildung 2.2: Funktionsweise von TMR-Sensoren in Abhängigkeit eines externen Magnetfeldes, in braun dargestellt der freie Layer, in blau dargestellt der vormagnetisierte Layer. Der Kurvenverlauf gibt den Widerstandswert in Abhängigkeit zum Winkel an [13].

²Die Fermi-Kante beschreibt einen steilen Sprung der Fermi-Verteilung bei der Temperatur $T = 0K$ [16].

Abbildung 2.2 stellt die Funktionsweise der TMR-Sensoren in Abhängigkeit von einem äußeren Magnetfeld dar. Die blau dargestellte Schicht ist der vormagnetisierte Layer, diese dient als Referenzpunkt. Die braune dargestellte Schicht ist der freie Layer, dieser nimmt die Magnetisierung des Gebermagnetens an. Aus dem Winkel zwischen den beiden Schichten ergibt sich der Widerstandswert des Sensors. Dargestellt im Kurvenverlauf. Sind beide Schichten entgegengesetzt magnetisiert, ist der Widerstand groß. Sind sie gleich ausgerichtet, ist der Widerstand dementsprechend klein.

2.2 Verwendeter Sensor zum Aufbau des Arrays

Aus Gründen der Logistik sowie der Verfügbarkeit der Sensoren ist die Entscheidung, bezüglich des zu nutzenden Sensors, auf den TMR-Sensor AAT 001-10E von NVE gefallen. Nach Angaben des Datenblattes sind die TMR-Elemente im Gehäuse um 90° zueinander gedreht und je zwei dieser Elemente sind zu einer Halbbrücke verschaltet. Das am Sensor angelegte Magnetfeld kann durch die Konfiguration der Ausgänge durch Sinus- und Cosinus-Funktionen dargestellt werden. Ein weiter Vorteil ist die geringe Kantenlänge der Sensoren. Diese liegt lediglich bei 2,5 mm, wodurch sich die resultierende Arraygröße von 30,60 mm ergibt.

Die Abbildung 2.3(a) zeigt, wie ein externer Magnet ein Feld durch die Ebene des Sensors generiert. Die freien Layer der Sensorelemente richten sich nach dem Magneten aus. Durch die Rotation des Magneten ändert sich der Winkel zwischen dem freien Layer und dem darunter liegenden, vormagnetisierten Layer. Dies ändert den Widerstand der TMR-Elemente und damit die Ausgangsspannung des Sensors. Die Vorzugsrichtung in Bezug auf die Rotation des Magneten und die Anschlüsse des Sensors sind in der Abbildung 2.3(b) dargestellt. Der Punkt gibt die Ausrichtung des Sensors an. Die relevanten Daten in der Tabelle 2.1 sind dem Datenblatt entnommen.

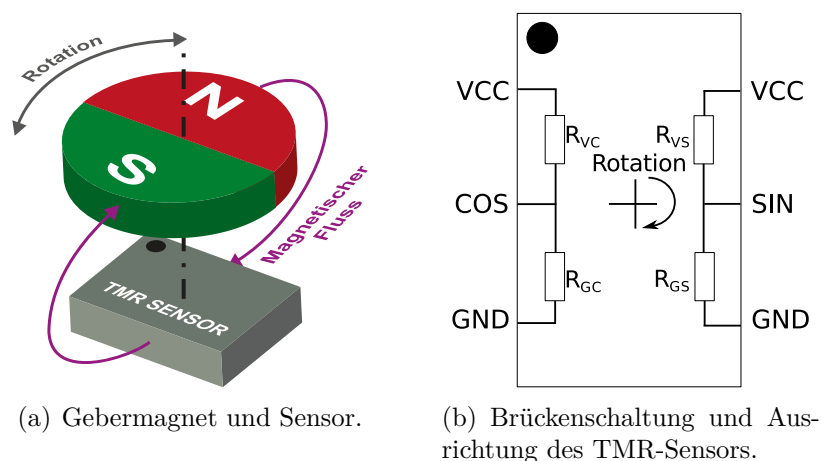


Abbildung 2.3: Darstellungen über die Funktionsweise des Sensors [1].

Tabelle 2.1: Spezifikationen des Sensors AAT 001-10e von NVE [1].

Parameter	Min.	Typ.	max	Einheiten
Betriebstemperatur	-40		125	°C
Widerstandswert	0,6	1,25	2,5	MΩ
Spitze-Spitze Ausgangsspannung	130	200		$\frac{mV}{V}$
Offsetspannung	-10		10	$\frac{mV}{V}$
Betriebsspannung	0		5,5	V
anzulegendes externes Magnetfeld	2,38		15,91	$\frac{kA}{m}$

3 Hardware-Entwurf des Sensor-Arrays

In diesem Kapitel wird erläutert, wie die Umsetzung von der Theorie in die Praxis erfolgt. Angefangen beim theoretischen Ansatz der Verschaltung der Sensoren, bis zur Ansteuerung und der Kommunikation zwischen Hardware, Mikrocontroller und PC.

3.1 Grundkonzept des Arrays

Der Anspruch an die Hardware ist, dass das Sensor-Array kompakt zentriert und frei von jeglichen Störeinflüssen ist. Alle benötigten aktiven oder passiven Bauteile, die nicht zum Sensor-Array gehören, werden aus diesem Bereich ausgeschlossen. So lassen sich mögliche Störeinflüsse reduzieren und im späteren Fertigungsprozess kann das Sensor-

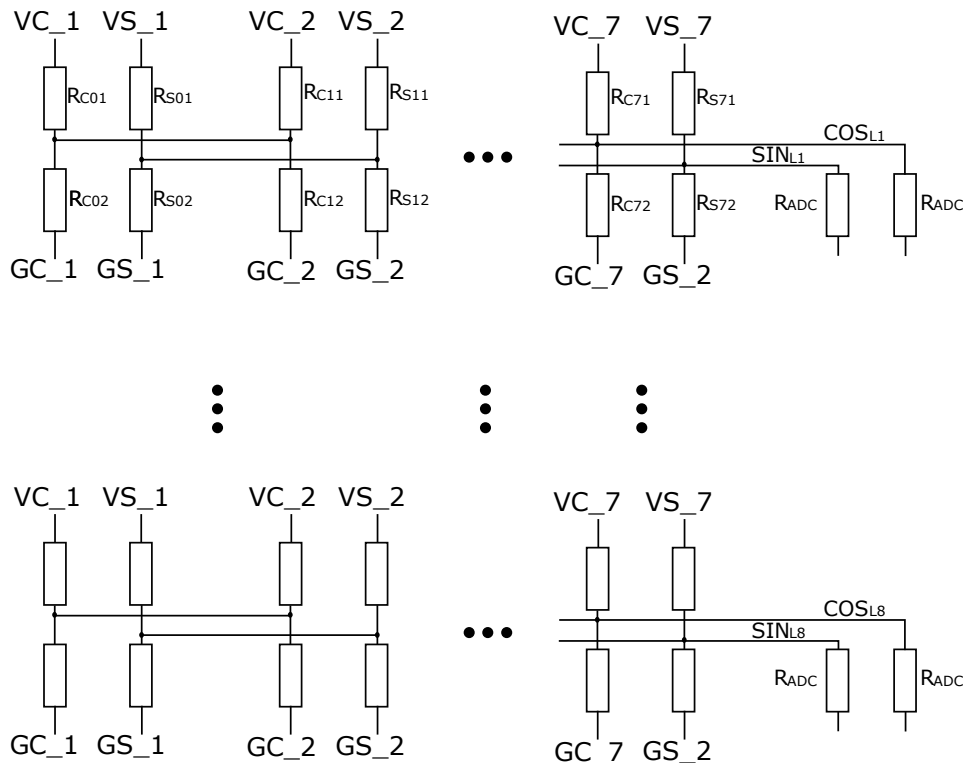


Abbildung 3.1: Beschaltung der Widerstände im 8x8 Array. Die Beschriftung erfolgt spaltenweise und ist durchnummeriert nach einer Array-Indexierung (R_{CXX} Widerstand der COS-Spalte; R_{SXX} Widerstand der SIN-Spalte; R_{ADC} Widerstand am ADC).

Array komplett autark in die Produktion gehen. Um so dicht wie möglich mit einem Gebermagneten an das Sensor-Array heranzufahren, ist es sinnvoll, alle anderen Bauteile auf der Unterseite der Platine zu platzieren.

Das verwendete Mikrocontroller-Board ist das TM4C1294 Connected Launch Pad Evaluation Kit EK-TM4C1294XL der Firma Texas Instruments. Die Verbindung zwischen PC und Mikrocontroller erfolgt mittels einer USB-Schnittstelle. Eine schematische Darstellung kann der Abbildung 3.2 entnommen werden. Dadurch, dass die Sensoren intern zu Halbbrücken verdrahtet sind (wie im Abschnitt 2.2 erläutert), ergibt sich für den Aufbau des Arrays eine bestimmte Struktur. In einer Anordnung in einem 8x8-Array, an dem alle Masse- und Versorgungsleitungen miteinander verbunden sind, ergibt sich ein Widerstandsnetzwerk, das den Betrieb durch die Beschaltung verhindert. Um dies zu umgehen, werden die Sensoren durch die Beschaltung in zwei Seiten aufgeteilt: Links die Cosinus-Seite und rechts die Sinus-Seite. Jede Seite erhält eine eigene Versorgungs- und Masseleitung, welche spaltenweise an acht Sensoren angeschlossen werden. Somit verfügt eine Spalte über vier Versorgungsleitungen, was in der Summe 32 Leitungen ergibt. Die Sinus- bzw. Cosinus-Ausgangssignale sind spaltenweise verbunden. Zwei Leitungen pro Zeile ergeben 16 Datenleitungen. Die beschriebenen Anschlüsse sowie das Konzept zum Betrieb des Sensor-Arrays werden in der Abbildung 3.1 veranschaulicht. Es ist immer nur eine Spalte mit jeweils acht Sensoren durch vier Leitungen mit Spannung versorgt (vertikal). Das Auslesen erfolgt pro Sensor mit jeweils zwei Datenleitungen in einem Zyklus (horizontal).

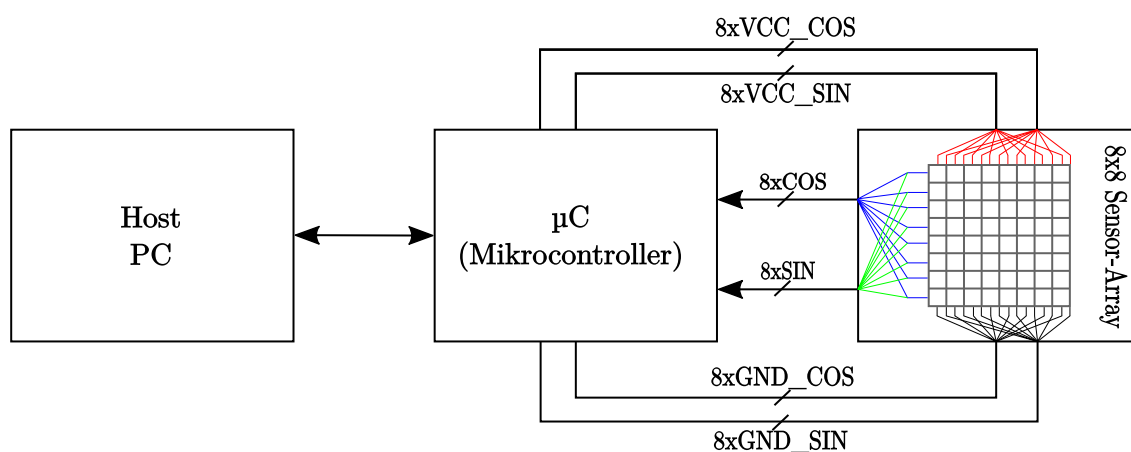


Abbildung 3.2: Schematische Darstellung der Verbindung vom Sensor-Array über den Mikrocontroller zum PC.

3.2 Ausrichtung und Ansteuerung des Sensor-Arrays

Wie im Unterpunkt 2.2 erläutert, haben die Sensoren eine Vorzugsrichtung. Dies bedeutet für das Array, alle Sensoren in vertikaler und horizontaler Richtung gleich auszurichten. Um einen reibungslosen Betrieb zu gewährleisten, sind alle Sensoren auf einer gleichen Höhe anzubringen. Sind sie in der Ebene unterschiedlich ausgerichtet oder unterschiedlich hoch, kommt es zu einer Verschiebung des aufzunehmenden Magnetfeldes. Die Vorzugsrichtung (Koordinatenkreuz für die Drehung) ist anhand eines Achsenkreuzes auf der Oberseite der Platine gekennzeichnet B.3. Dies ergibt sich aufgrund der Ausrichtung der Sensoren, wie in der Abbildung 2.3(b) dargestellt.

Um die Platine anzusteuern und zu versorgen, bedarf es 48 General Purpose Input/Output (GPIO); 16 davon sind für die analogen Signale zuständig. Die 32 restlichen GPIO für die Versorgung und damit ebenfalls für die Ansteuerung des Sensor-Arrays nach dem im Abschnitt 3.1 erläuterten Schema. Die hohe Anzahl der Anschlüsse an der Platine hat zur Folge, dass auf dem Mikrocontroller das Boosterpack X11 genutzt werden muss. Die dafür geeigneten GPIO werden aus dem Datenblatt ermittelt und zugewiesen. Abbildung 3.3 zeigt die Belegung des Boosterpacks X11 [5].

LEGENDE		PINBELEGUNG				
Analoge SIGNALE		1 3,3V			5V	2
GPIO_SIGNALE	CH_10	3 GND			GND	4
COS	CH_11	5 PB4	SIN_2	VC_8	PA2	6
SIN		7 PB5	SIN_3	GC_8	PA3	8
		9 PH0	GS_8	VS_8	PA4	10
		11 PH1	VC_7	GC_7	PA5	12
		13 PH2	GS_7	COS_4	PE0	14 CH_3
		15 PH3	VS_7	COS_3	PE1	16 CH_2
		17 PC7		COS_2	PE2	18 CH_1
		19 PC6		COS_1	PE3	20 CH_0
		21 PC5		SIN_1	PE4	22 CH_9
		23 PC4		COS_8	PE5	24 CH_8
		25 PA6	VC_6	SIN_5	PK0	26 CH_16
		27 PA7	GC_6	SIN_6	PK1	28 CH_17
		29 PG1	GS_6	SIN_7	PK2	30 CH_18
		31 PG0	VS_6	SIN_8	PK3	32 CH_19
		33 PM3	VC_5		VREF	34
		35 GND			GND	36
		37 PM2	GC_5	COS_6	PD5	38 CH_6
		39 PM1	GS_5	COS_7	PD4	40 CH_7
		41 PM0	VS_5	COS_5	PD7	42 CH_4
		43 PL0	VC_4		PD6	44
		45 PL1	GC_4		PD3	46
		47 PL2	GS_4		PD1	48
		49 PL3	VS_4		PD0	50
		51 PQ0	VC_3	SIN_4	PD2	52 CH_13
		53 PQ1	GC_3		PP0	54
		55 PQ2	GS_3		PP1	56
		57 PQ3	VS_3		PB0	58
		59 PK7	VC_2		VBUS	60
		61 GND			GND	62
		63 PK6	GC_2	GS_2	PF4	64
		65 PL4	VS_2	VC_1	PF0	66
		67 PB2	GC_1	GS_1	PF1	68
		69 PB3	VS_1		PF2	70
		71 PP2			PF3	72
		73 PP3			PA0	74
		75 PK5			PA1	76
		77 PK4			PP4	78
		79 PL5			PP5	80
		81 PN4			PJ0	82
		83 PN5			PJ1	84
		85 PN0			PM7	86
		87 PN1			PM6	88
		89 PN2			PM5	90
		91 PN3			PM4	92
		93 PQ4			REST	94
		95 WAKE			GND	96
		97 5V			3,3V	98

GND_COS	
COS_L1	VC_8
COS_L2	VC_7
COS_L3	VC_6
COS_L4	VC_5
COS_L5	VC_4
COS_L6	VC_3
COS_L7	VC_2
COS_L8	VC_1

GND_SIN	
SIN_L1	GS_1
SIN_L2	GS_2
SIN_L3	GS_3
SIN_L4	GS_4
SIN_L5	GS_5
SIN_L6	GS_6
SIN_L7	GS_7
SIN_L8	GS_8

Abbildung 3.3: Darstellung der Pinleiste X11 des Controllers. VC_X : Spannungsversorgung der COS-Seite, VS_X : Spannungsversorgung der SIN-Seite. GS_X : Masseleitung der SIN-Seite, GC_X : COS-Seite (grün). COS_LX : Ausgangssignal der COS-Seite (blau), SIN_LX : SIN-Seite (rot) [3].

3.3 Schaltplan in Eagle

Zu Beginn muss eine Bibliothek für den Sensor und seiner Anschlüsse erstellt und eingebunden werden. Eine Matrixanordnung von 8x8 Elementen wird platziert. Die Versorgungsbusleitungen verlaufen spaltenweise links und rechts von den Sensoren. Das Beschriften der Leitungen erleichtert das Verdrahten und Zuweisen für die Cosinus-Seite VC_X , GC_X und Sinus-Seite VS_X , GS_X . In horizontaler Ausrichtung verlaufen Signalbusleitungen COS_LX und SIN_LX . Das X ist ein Platzhalter für die jeweilige Zeile. Durch die Namenszuweisung der Leitungen lassen sich die Bauteile mit den Buslinien verdrahten. Eine fehlerhafte Verdrahtung wird durch die eindeutige Zuweisung verhindert.

Für die Verbindung zwischen Sensor-Array und Mikrocontroller sind 16 Widerstände und zwei 2x20-Pin-Header platziert. Dadurch, dass die jeweilige Leitung denselben Namen wie die zugehörige Datenleitung hat, entsteht auch hier eine Verbindung zwischen Bauteil und Buslinie. Um eine Brücke bzw. einen Kurzschluss zwischen Pin-Header und Widerstand zu vermeiden, ändert sich der Name der Leitung von COS_LX zu COS_X (exemplarisch; gilt auch für den SIN). Somit ist sichergestellt, dass kein Kontakt zwischen beiden Kontaktpunkten der jeweiligen Widerstände entsteht. Die umbenannten Leitungen werden den Pin-Headern zugewiesen. Die Versorgungslinien erhalten eine direkte Verbindung von den Buslinien zu den Pin-Headern. Für eine eventuelle Spannungsstabilisierung und Filterschaltung sind jeweils 16 Kondensatoren platziert. Die Kondensatoren zur Spannungsstabilisierung sind zwischen der jeweiligen Versorgungsspannung VC_X

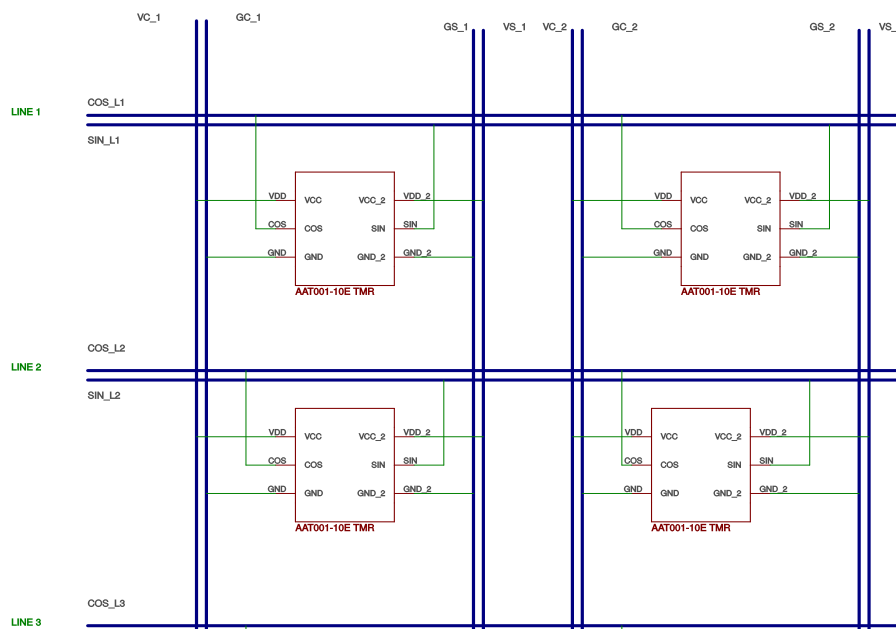


Abbildung 3.4: Auszug aus der schematischen Darstellung der Platine.

und Ground GC_X der Sensoren platziert und verdrahtet. Für die Filterschaltung sind die Kondensatoren zwischen Ausgangssignal SIN_LX und der jeweiligen Masseleitung GC_X platziert und verdrahtet. Zum Messen der Ausgangssignale sind zwei 1x8-Pin-Header platziert, welche direkt mit der Busleitung verbunden sind. Eine schematische Darstellung zeigt die Abbildung 3.4. Die gesamte schematische Darstellung ist abgebildet in B.2 sowie die Pinleisten in Abbildung B.1.

3.4 Erstellung der Platine

In diesem Abschnitt folgt die Beschreibung, wie die Hardware des Sensor-Arrays erstellt wurde. Zum Erstellen der Hardware sind vorab einige Einstellungen nötig. Diese sind zum einen das Einstellen des Rasters in Millimeter, zum anderen die Leitungsbreite sowie der Durchmesser der Kontaktbohrungen zwischen den Ebenen (Via).

3.4.1 Dimensionen der Platine

Die Platine hat eine Größe von 120 mm x 80 mm (vgl. Abbildung B.6). Die Länge wird benötigt, um die Ausgangspinleiste zu platzieren. Zur späteren Orientierung des Roboter messplatzes erhält das Board in der Mitte eine Bohrung von 0,5 mm im Durchmesser. Ausgehend vom Mittelpunkt, im Abstand von 2 mm in Y-Richtung nach oben und von da 2 mm in X-Richtung nach links, befindet sich der Mittelpunkt des ersten Sensors. Die nächsten Sensoren folgen in einem Abstand von 4 mm und es ergibt sich ein Array von 30,60 mm x 30,60 mm, dargestellt in der Abbildung B.6.

3.4.2 Positionierung der Bauteile

Entscheidend für eine kompakte Anordnung des Sensor-Arrays ist die Positionierung der Bauteile. Da das Sensor-Array im Fokus steht, befindet sich dies in der Mitte der Platine. Wie Abschnitt 3.4.1 erwähnt, ist im Zentrum eine Bohrung, die zur Orientierung und Platzierung der ersten Sensoren sowie zur Ausrichtung des Roboterarms am Messplatz dient. Da die Signalausgänge seitlich am Sensor liegen, sind die Pins zum Messen der Signale links und rechts vom Sensor-Array platziert. Die Distanz vom Mittelpunkt eines Sensors zum nächsten beträgt 4 mm. Die 2x20-Pin-Header ergeben zusammen die große Pinleiste oben an der Platine. Diese sind so platziert, dass die Platine direkt auf das Mikrocontroller-Board gesteckt werden kann. Auf der Unterseite der Platine (Bottom_Layer, im Anhang B.4) sind alle Widerstände sowie die Kondensatoren zur Filterung verbaut (links bzw. rechts zwischen dem Sensor-Array und den Messpins). Diese wurden symmetrisch und jeweils versetzt zueinander angeordnet. Die Widerstände befinden sich unterhalb der großen Pinleiste, die Kondensatoren 30 mm darunter. Die Kondensatoren zur Spannungsstabilisierung befinden sich unterhalb des Sensor-Arrays. Nach Positionierung der Bauteile sind im Abstand von 20 mm vom Mittelpunkt waagrecht und senkrecht in beiden Richtungen Bohrlöcher vorhanden. An den Eckpunkten

des Sensor-Arrays befinden sich weitere vier Bohrlöcher, um eine Befestigung in jeder Richtung zu ermöglichen. An den äußeren Ecken sind ebenfalls vier Bohrungen zur Befestigung des Sensor-Arrays an der Grundplatte des Robotermessplatzes vorhanden.

3.4.3 Verdrahtung und Beschriftung der Bauteile

Das Konzept zum Verdrahten der Sensoren ergibt sich durch die Anordnung zueinander. Damit das Sensor-Array kompakt bleibt, sind die Masseleitungen so verdrahtet, dass sie mittig unter den Sensoren verlaufen. Die Ausgangssignalleitungen verlaufen direkt daneben. Die Verdrahtung der Sensoren ist so konzipiert, dass die Spannungsleitungen außen und die Masseleitungen mittig durch die Sensoren führen. Die Dimension des Arrays vergrößert sich dadurch nicht und kann kompakt bleiben. Auf der oberen Seite (TOP_Layer, im Anhang B.5) sind alle Leiterbahnen der Versorgungsspannungen verdrahtet. Diese sind rot gekennzeichnet. Auf der unteren Seite (Bottom_Layer, im Anhang B.4) sind die Signalleitungen geführt. Abbildungen der Layer sind im Anhang unter den Punkten B.4 und B.5 zu finden.

Die beiden Lagen sind durch Vias (Verbindungspunkte) verbunden. Das geschieht überall dort, wo es zu einer Kreuzung der Leitungen kommen könnte. Abbildung 3.5 zeigt, wie die Verbindungen zwischen den Sensoren erfolgen. Zu sehen ist, dass an der Bohrung in der Mitte zwei Versorgungsleitungen sowie zwei Datenleitungen entlang führen. Dies wurde so konzipiert, um das Sensor-Array kompakt zu halten.

Am anspruchsvollsten ist die Verdrahtung des Sensor-Arrays. Es ist darauf zu achten, dass alle Sensoren auf ihrer linken Seite (*VC_X GC_X*) und rechten Seite (*VS_X GS_X*) vertikal mit der entsprechenden Versorgungsleitung verdrahtet sind. Die Signalleitungen verlaufen auf der Unterseite der Platine, wobei im Fokus steht, dass alle Sensoren horizontal in einer Zeile miteinander verdrahtet sind (*SIN_LX COS_LX*). Die große Pinleiste wird nach der Zuordnung in der Abbildung 3.3 verdrahtet. Damit ist es möglich, die Platine direkt mit dem Mikrocontroller zu verbinden. In der Abbildung B.3 kann die Verdrahtung der gesamten Platine nachvollzogen werden.

Die restliche Verdrahtung ist durch die symmetrische Anordnung der Bauteile nicht so kompliziert wie die des Sensor-Arrays. Die Leitungen zur Spannungsstabilisierung sind nach unten herausgeführt. Die jeweilig benötigten Masseleitungen der Filterschaltung werden von der Spannungsstabilisierung abgezweigt. Die Signalleitungen sind mittig aus dem Sensor-Array geführt und verlaufen von dort aus symmetrisch auf die entsprechenden Bauteile. Die Verbindung zwischen Widerständen und der großen Pinleiste ist in Abbildung B.3 ersichtlich.

Die Beschriftung des Boards ist einfach gehalten. Auf der Oberseite ist der Anfang der großen Pinleiste, sowie die beiden Pinleisten an den Seiten beschriftet. Das Sensor-Array sowie die allgemeine Platinenbezeichnung mit Ort, Datum und Namen des Erstellers

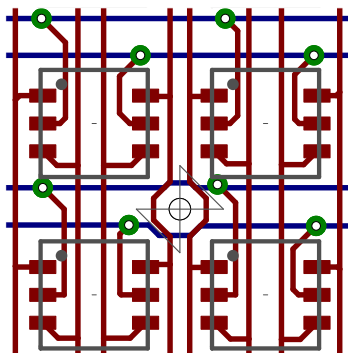


Abbildung 3.5: Ausschnitt aus dem Zentrum des Sensor-Arrays.

befindet sich in der oberen, rechten Ecke. Auf der Unterseite sind die Widerstände und Kondensatoren direkt neben dem Sensor-Array und den Mess-Pins beschriftet.

3.5 Modifikation am verwendeten Mikrocontroller-Board

Aufgrund der hohen Anzahl an Pins ist nicht auszuschließen, dass es zu Konflikten mit dem Mikrocontroller kommt. Mithilfe des Datenblattes und der darin enthaltenen Schaltpläne erschließt sich, dass es zu einem Konflikt mit den in Abbildung 3.6 gekennzeichneten Widerständen kommt. Diese stellen durch ihre 0Ω -Widerstände eine Verbindung zwischen der Versorgungsleitung 8 und 3 her. Weitere auszubauende Bauteile sind in der Abbildung 3.7 in Rot gekennzeichnet, wobei der Netzwerkanschluss aus Platzgründen entfernt wird.

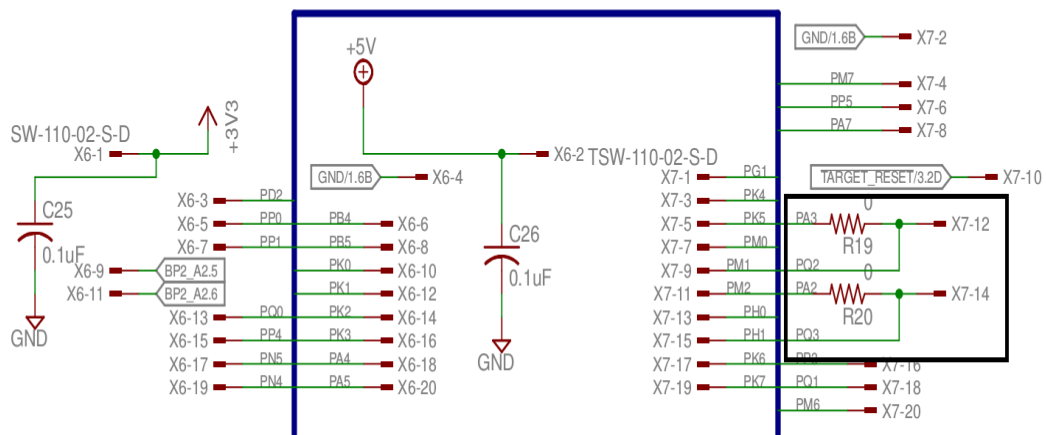


Abbildung 3.6: Im markierten Bereich schwarz sind die 0Ω-Widerstände R19 und R20 markiert, welche zu einer Verbindung zwischen den Versorgungsleitungen 3 und 8 führen [4].

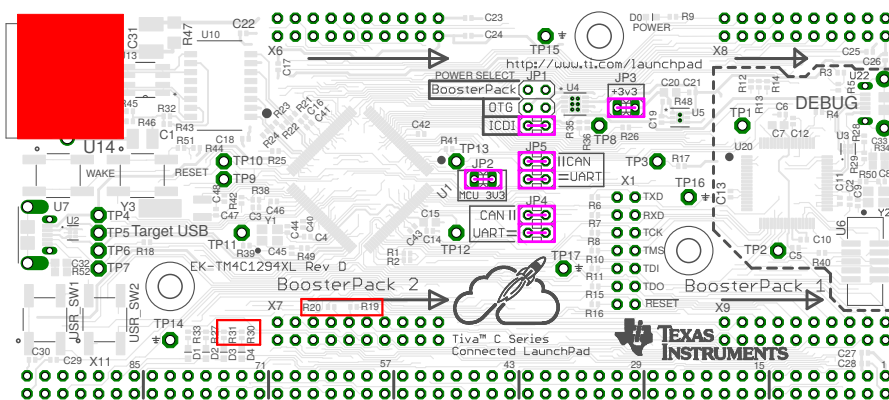


Abbildung 3.7: Modifikationen am Mikrocontroller: In rot sind alle Bauteile markiert, die ausgebaut werden. Die Netzwerkdose wird aus Platzgründen entfernt [4].

3.6 Bestückung der Platine

Die Bestückung der Platine erfolgt sowohl manuell als auch maschinell. Die manuelle Platinenbestückung verläuft folgendermaßen: Als Erstes gilt es, eine gewisse Menge Löt-paste unter Zuhilfenahme der mitgelieferten Schablone auf die Platine zu bringen. Unter einer Lupe bzw. einem Mikroskop werden die Sensoren platziert, somit ist es möglich, die Sensoren akkurat zu setzen. Anschließend kommt die Platine in den smt precision lead-free reflow oven von der Firma elektor, welcher mit einem voreingestellten Temperaturprogramm betrieben wird. Durch das Erhitzen entsteht eine dauerhafte Verbindung zwischen den Sensoren und der Platine. Auf der Rückseite sind lediglich die Widerstände an den Ausgängen, sowie die große Pinleiste bestückt. Beide Verfahren laufen bis auf das Setzen der Sensoren nach dem gleichen Schema ab, mit dem Unterschied, dass diese Sensoren anhand eines Bestückungsroboter platziert werden.

4 Software zum Steuern des Mikrocontrollers und Robotermessplatzes

In diesem Kapitel sind die Erweiterungen und Änderungen an der zur vom ISAR-Projekt zur Verfügung gestellten Software beschrieben. Es wird Bezug auf die Beschaltung und Ansteuerung des Sensor-Arrays genommen sowie die Modifikationen am Robotermessplatz.

4.1 Die Ansteuerung des Mikrocontrollers

Der Mikrocontroller dieser Arbeit dient zur Kommunikation zwischen PC und Sensor-Array. Für diese Schnittstelle wird das TIVA-Board eingesetzt. Dabei ist, ein Grundgerüst zur Kommunikation zwischen TIVA-Board und Sensor-Array bereits vorhanden. Jedoch muss zur besseren Übersicht eine Änderung der Datenstruktur erfolgen. Um dies umzusetzen, werden zwei Header-Dateien erstellt. Die eine zur Einbindung sämtlicher Bibliotheken, und die andere, um Funktionsprototypen einzubinden (vgl. 4.1). Der zentrale Zweck der Softwareerweiterung besteht in der Beschaltung der Versorgungsleitungen und das Auslesen der Datenleitungen. Abbildung 4.2 stellt eine grobe Übersicht der wichtigsten Funktionen dar, die nachfolgend erläutert werden.

Der Programmablauf des Sensor-Arrays Bei einer funktionsfähigen Kommunikation zwischen TIVA-Board und PC kann anschließend die Datenaufnahme sowie die Übertragung starten. Beim Aufruf der Funktion *Get_Values* werden die globalen Arrays zur

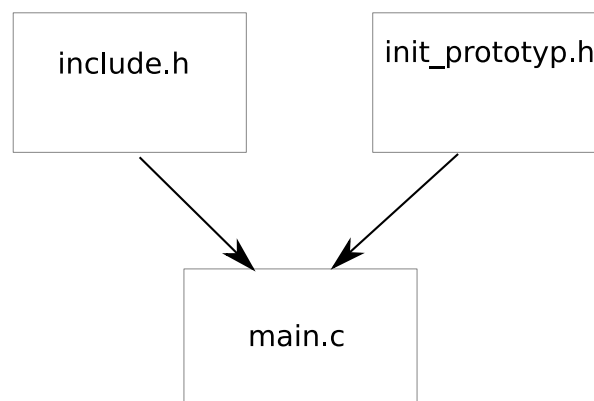


Abbildung 4.1: Aufteilung des Programms nach Bearbeitung und Erweiterung.

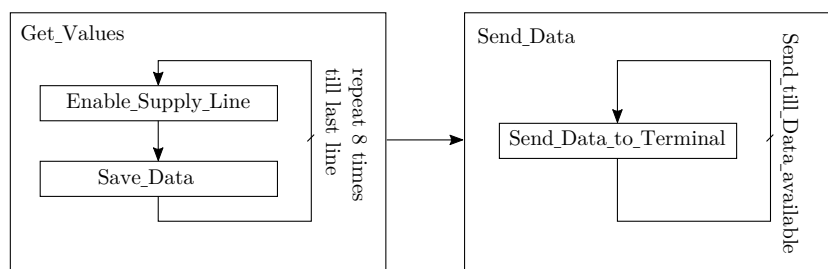


Abbildung 4.2: Übersicht über das Beschalten und Auslesen des Sensor-Arrays.

Abspeicherung der Daten auf null initialisiert. Das Schalten der Spannungen wie im Abschnitt 3.1 beschrieben, startet ab diesem Punkt und durchläuft einen achtfachen Zyklus. Als Erstes wird die Funktion *enable_set_high* aufgerufen und der aktuelle Durchlauf wird der Funktion übergeben. Danach läuft eine empirisch ermittelte Wartezeit von einigen Millisekunden ab. Ist diese durchlaufen, starten die Abtastvorgänge der ADC solange, bis alle Signale anliegen. Nach dem Quittieren des Interrupts werden mit der Funktion *enable_set_low* alle Pins auf Masse geschaltet. Nach einer kurzen Wartezeit werden die ADC-Werte ausgelesen und in den globalen Matrizen abgespeichert.

Am Anfang der Funktion *enable_set_high* werden alle Pins zur Ansteuerung mit der Funktion *enable_set_low* auf Masse geschaltet. Um sicherzustellen, dass das Sensor-Array spannungsfrei ist, wird eine Wartezeit gestartet. Nach Ablauf werden alle Versorgungspins mit der Funktion *gpio_set_input* auf Input (Eingang) geschaltet.

Durch den von *Get_Values* übergebenen Wert wird an dieser Stelle mittels einer Switch-Anweisung in die entsprechende Zeile gesprungen. Dort werden die Pins, welche für das Anschalten der Versorgungsleitung benötigt werden, auf Output (Ausgang) gesetzt und bekommen somit ihr Potenzial zugewiesen. Durch den „break“-Befehl ist die Funktion durchlaufen und wird verlassen.

Ist *Get_Values* durchlaufen, wird die Funktion *vals_to_terminal* ausgeführt. In dieser Funktion werden die gespeicherten Daten mit der Funktion *UART_Send* aus den globalen Matrizen einzeln an das Terminal geschickt. Nach der Übertragung der ersten acht Datensätze erfolgt das abschließende Senden eines Zeilenumbruches zur Trennung der Datensätze. Sind alle 64 Datensätze übermittelt, wird zur Trennung zwischen Cosinus und Sinus ein String gesendet. Dabei werden die Daten der jeweiligen Matrix in einer vorbestimmten Reihenfolge übermittelt, was mithilfe von zwei verschachtelten Schleifen erfolgt. Die innere läuft von 7 abwärts bis einschließlich zur 0, während die äußere entgegengesetzt läuft, was im technischen Aufbau der Platine begründet ist.

4.2 Die Software zum Steuern des Robotermessplatzes

Zur Rotationsmessung einer 360°-Drehung steht ein Robotermessplatz zur im Labor des ISAR-Projektes der HAW zur Verfügung, der im Zuge vorheriger Abschlussarbeiten konstruiert bzw. erweitert wurde ([11] und [2]). Der Messplatz verfügt über einige implementierte und im Folgenden aufgeführten Grundfunktionen:

- Referenzfahrten der drei Achsen-Motoren sowie des Drehtellers zur Rotation
- Eine Benutzeroberfläche zur Ansteuerung des Messplatzes
- Auswahl zwischen automatisierter Messaufnahme oder direkter Ansteuerung der Achsen
- Fertige Positionskoordinaten zur Ausrichtung der Achsen und Anfahren der Messposition
- Es besteht keine Möglichkeit, eine 360°-Messung durchzuführen

Um die 360°-Messung zu ermöglichen, bedarf es Modifikationen an der Programmstruktur, denn der Endschalter des Drehtellers verhindert eine Messung um 360°. Das Deaktivieren des Endschalters ist aufgrund der Referenzfahrt nicht möglich, da diese sich an dem Schalter orientiert. Das Überfahren des Endschalters ist nach Angaben der Vorgängerarbeiten nur in einer Richtung möglich. Durch folgende Modifikationen kann dieses Problem umgangen werden:

- im Unterprogramm *rmp_3_move_relative_position.m* in der Zeile 157 auskommentieren des Endschalters
- in der Datei *rmp_3_init_stage_system.m* Zeile 153 und 160 auf 0 gesetzt
- in der Datei *rmp_3_mtx_rotation.m* Zeile 114 invertieren. Änderung der Drehrichtung in die mathematisch negative Richtung ¹

In der Datei *rmp_3_move_relative_position.m* bewirkt die verknüpfte „Ver-ODERung“, in der Zeile 157 durch die Abfrage des Endschalters, das Unterbrechen des Messverfahrens. Diese Abfrage wurde auskommentiert und beeinträchtigt die Grundfunktion dabei nicht. In der Datei *rmp_3_init_stage_system.m* wurden die Grenzen des Drehtellers auf null gesetzt. Um eine volle Umdrehung zu erreichen, sind ggf. mehrere Drehungen durchzuführen. Durch das Invertieren des Vorzeichens in der Datei *rmp_3_mtx_rotation.m*, Zeile 114, ist es möglich, in dieser Drehrichtung den Endschalter zu überfahren. Die Drehrichtung ist damit mathematisch negativ und somit gleichermaßen korrekt für das Sensor-Array ausgerichtet.

¹Mathematisch positive Richtung ist gegen den Uhrzeigersinn; Mathematisch negative Richtung ist mit dem Uhrzeigersinn.

4.3 Ablauf des Messplans

In diesem Abschnitt wird beschrieben, wie die Messungen mithilfe des Robotermessplatzes durchgeführt werden. Für die folgende Betrachtung werden zwei Koordinatensysteme festgelegt. Das erste System beschreibt die relative Position des Magneten über dem Sensor-Array, wobei der Punkt P_S den Wert $(X_S ; Y_S)$ beinhaltet. Das zweite Koordinatensystem stellt die absolute Positionierung des Magneten gegenüber der Nullposition des Arrays dar, welche im Mittelpunkt P_0 liegt. Die dazugehörigen Einheiten werden in Millimeter angegeben und eine Darstellung des Prinzips ist in der Abbildung 4.3 zu sehen.

Das Anfahren sowie die Durchführung der Messungen erfolgt mit dem Programm *360_grad Messung.m*. Der automatische Ablauf des Programms sieht wie folgt aus: Es wird ein Vektor mit den Rotationsdaten initialisiert, welche über die maximale Rotation, den Startpunkt und die Schrittweite (Angaben in Grad) entscheiden, ab der die nächste Messung erfolgt. Danach werden die maximalen Grenzen des abzufahrenden Feldes initialisiert. Nach der Initialisierung wird eine Datei mit dem aktuellen Datum erstellt. Anschließend wird sowohl ein Plot des Messfeldes als auch der Messungen erstellt. Die blauen Punkte stellen die zu messenden Punkte dar, während der schwarze Punkt die Position des Mittelpunktes an P_0 kennzeichnet, zu sehen in Abbildung 4.4. Nach der Erstellung der Grafik, wird die erste Position angefahren die zu Messen ist. Das ist der Sensor A1 und der Punkt $P_A=(-14\text{ mm}; -14\text{ mm})$. Danach kommt es zu einer Abfrage der Zeile, in welcher sich der Roboter befindet. Diese Information wird benötigt, um die Unterdatei des Messpunktes zu erstellen. Im Namen der Datei wird zum einen die Messbezeichnung und zum anderen die Position des Sensors bzw. dessen Koordinaten angegeben. Ist das erfolgt, werden die Arrays der Sensordaten sowie die benötigten Variablen zur Referenzfahrt und Durchführung der Messung initialisiert. Damit der Magnet

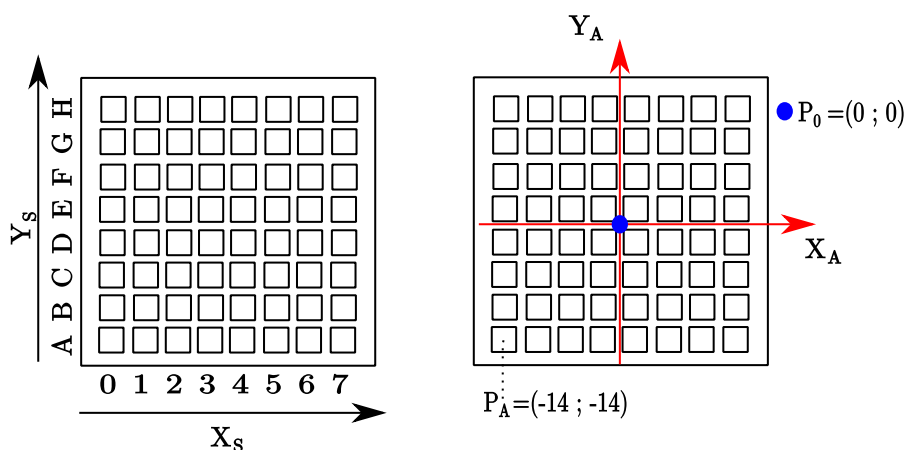


Abbildung 4.3: Gegenüberstellung der Koordinaten des Messschemas (links) zum Sensor-Array (rechts).

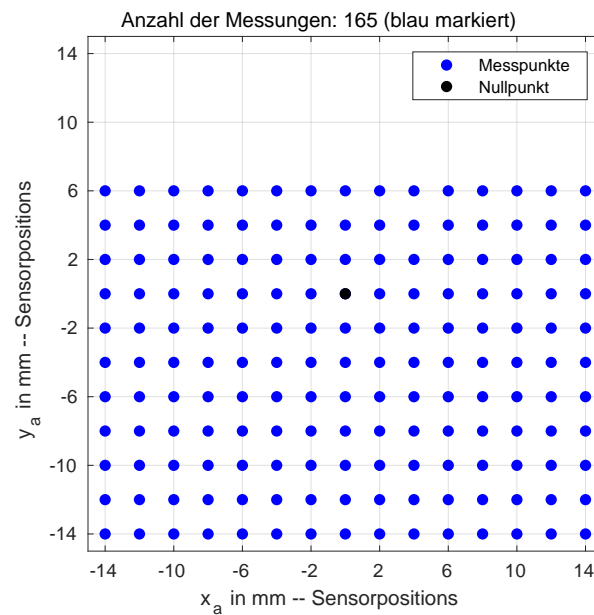


Abbildung 4.4: Darstellung der abzufahrenden Messpunkte über dem Array.

zur Beginn jeder Messung dieselbe Ausgangsposition hat, wird eine Initialisierungsfahrt durchgeführt und der Magnet anschließend positioniert. Es folgt die Messaufnahme, nach deren Abschluss der Roboter zum nächsten Messpunkt fährt und diesen Vorgang bis zum Erreichen der letzten Koordinate fortführt.

5 Evaluation und Messerprobung

Die Funktionsüberprüfung des Sensor-Arrays erfolgt in diesem Kapitel. Als Erstes wird auf die Hardware eingegangen und dem folgend auf die Funktion des Arrays. Es werden verschiedene Messungen mit unterschiedlichen Magneten durchgeführt, wobei es zum Vergleich zwischen dem vorhandenen AMR-Array und dem TMR-Array kommt.

5.1 Sensor-Array

Hier werden alle Messungen dargestellt, welche zur Inbetriebnahme und Funktionsprüfung des Sensor-Arrays nötig sind. Die Halbbrückenwiderstände jedes einzelnen Sensors werden gemessen und ausgewertet. Anschließend wird die Pixelzuweisung in kartesischen Koordinaten durchgeführt und das Zeitverhalten der Ausgangsspannungen analysiert.

5.1.1 Widerstandsmessung

In diesem Unterpunkt sind die Widerstände der TMR-Elemente im Fokus. Der wesentliche Bestandteil des TMR-Effekts beruht auf den hohen Widerstandsänderungen. Aufgrund dessen, dass die Sensoren, wie in Abbildung 3.1 dargestellt, in Halbbrücken gruppiert sind, erfolgen die Messungen vom Kontakt VC_X über den TMR-Widerstand R_{VC} zum jeweiligen Ausgang COS_LX . Äquivalent dazu die Messung vom Kontakt GC_X über den TMR-Widerstand R_{GC} zum jeweiligen Ausgang COS_LX . Die gleiche Prozedur wird anschließend auch für die andere Halbbrücke, über die TMR-Widerstände R_{VS} und R_{GS} durchgeführt, das X steht als Platzhalter für die jeweilige Zahl von 1 bis 8. Die gemessenen Widerstandswerte sind in den, im Anhang befindlichen Tabellen D.1 und D.2 einzusehen.

In Abbildung 5.1 ist die Gegenüberstellung der beiden Halbbrücken in kartesischer Darstellung wiedergegeben. Die Abbildung 5.1(a) zeigt die Widerstände der Versorgungs- und Masseleitungen der COS-Seite und Abbildung 5.1(b) die SIN-Seite. Der Wertebereich liegt dabei zwischen $150\text{ k}\Omega$ – $300\text{ k}\Omega$. Es ist ersichtlich, dass die Widerstandswerte im unteren Bereich höher sind als im oberen. Die Reihe G weist erkennbar die niedrigsten Werte auf. In der Abbildung 5.1(c) ist die Differenz zwischen den jeweiligen Widerständen in einer Halbbrücke dargestellt, was die Symmetrie der jeweiligen Halbbrücke offeriert. Der Wertebereich liegt hier zwischen 0 bis $25\text{ k}\Omega$. Auf der rechten Seite hat der Sensor B2 zwischen den Halbbrücken eine höhere Differenz. Auf der linken Seite weisen die Reihen H und F eine höhere Differenz auf, wonach die SIN- im Vergleich zur COS-Seite nicht ausgeglichen sind.

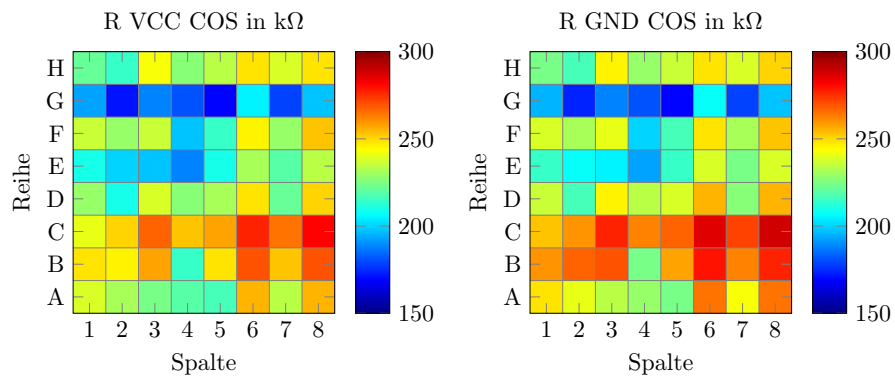
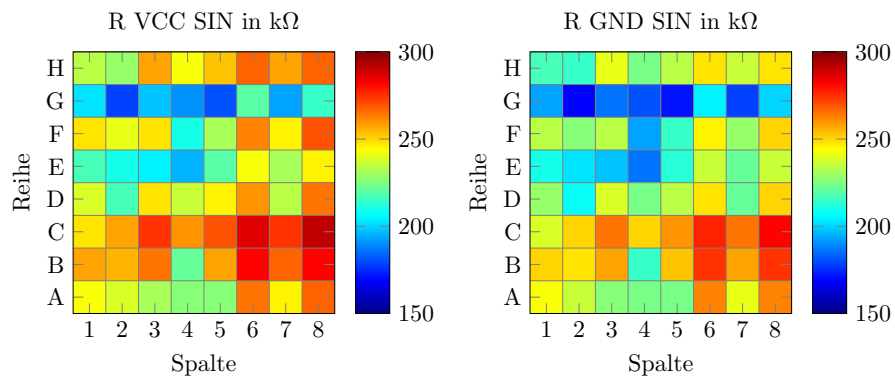
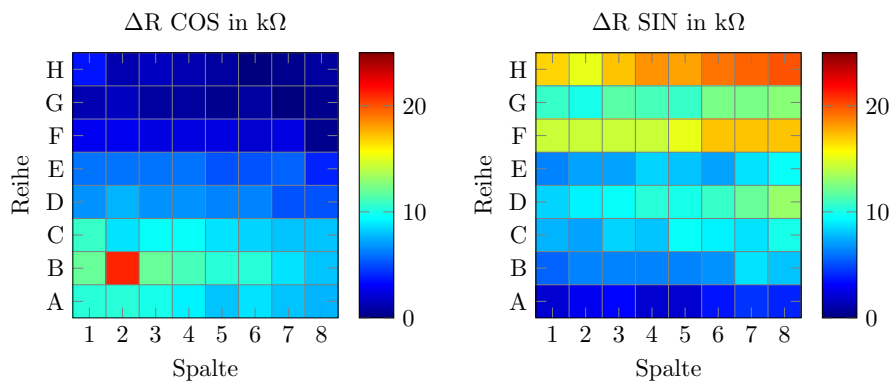
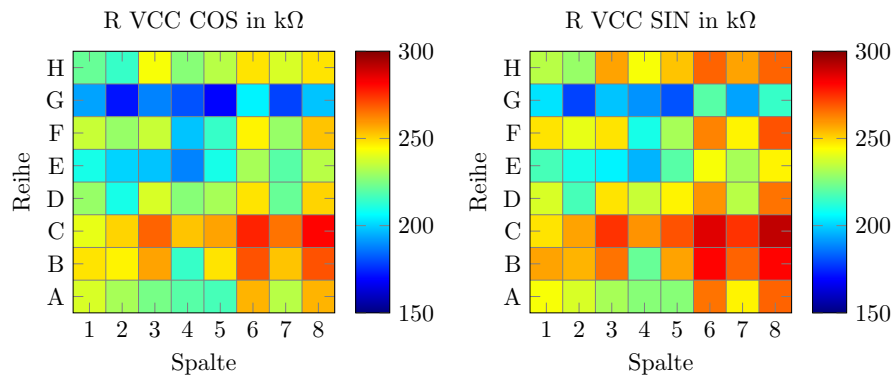
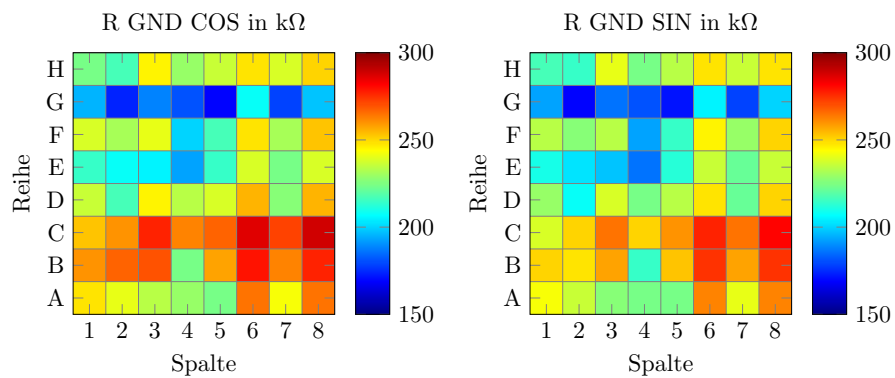
(a) Darstellung der Widerstände der COS-Seite R_{VC} und R_{GC} .(b) Darstellung der Widerstände der SIN-Seite R_{VS} und R_{GS} .(c) Gegenüberstellung der Differenzen links $R_{VC} - R_{GC}$, rechts $R_{VS} - R_{GS}$.

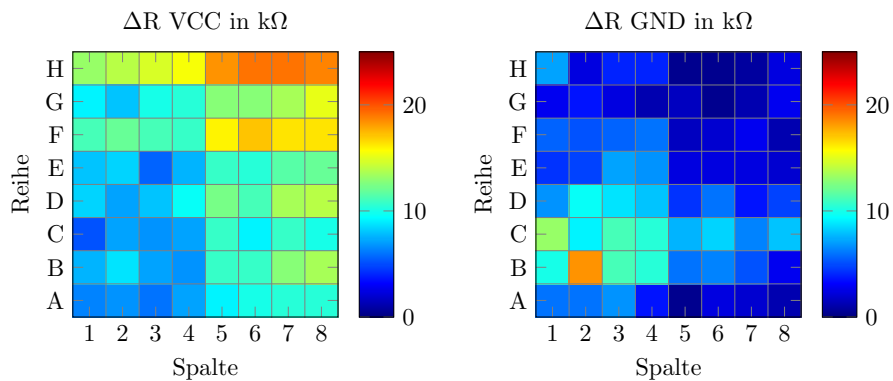
Abbildung 5.1: Links sind die Widerstandswerte der COS-Seite dargestellt; Rechts die der SIN-Seite; Unten sind die Differenzen der linken und rechten Spalte dargestellt.



(a) Gegenüberstellung der Widerstände R_{VC} und R_{VS} , links die COS-Seite, rechts die SIN-Seite.



(b) Gegenüberstellung der Widerstände R_{GC} und R_{GS} , links die COS-Seite, rechts die SIN-Seite.



(c) Gegenüberstellung der Differenzen links $R_{VC} - R_{VS}$, rechts $R_{GC} - R_{GS}$.

Abbildung 5.2: In dieser Abbildung sind die Widerstände der Halbbrücken so angeordnet wie in 2.3(b) dargestellt. Oben links R_{VC} ; oben rechts R_{VS} ; unten links R_{GC} ; unten rechts R_{GS} .

In Abbildung 5.2 sind die Widerstände der jeweiligen Versorgungsspannung bzw. Masseleitung gegenübergestellt. Es ist zu erkennen, dass die beiden Halbbrücken nicht symmetrisch arbeiten. Auffallend dabei ist, dass die Widerstandswerte der jeweils anderen GND-Seite besser zueinanderpassen, als die Eigenen. Die Abbildung 5.2(c) ist eine Gegenüberstellung der Differenzen zwischen den Versorgungswiderständen und Massewiderständen, wobei die Symmetrie zwischen der Abbildung 5.2(b) und 5.2(c) auffällt.

Aus den Daten den Tabellen D.1 und D.2 wurden die Histogramme in Abbildung 5.3 erstellt. Dabei ist bei näherer Betrachtung ersichtlich, dass das Histogramm 5.3(a) rechts schief ist, genau so wie 5.3(c). Das Histogramm 5.3(b) entspricht einer Normalverteilung, wobei 5.3(d) eine Tendenz nach rechts aufweist. Die Standardabweichung σ sowie der Mittelwert μ_R der jeweiligen Sensorelemente können der Tabelle 5.1 entnommen werden.

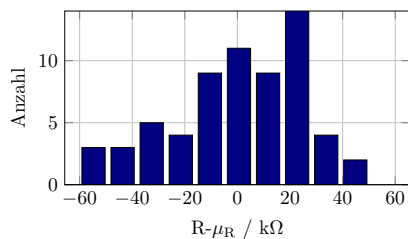
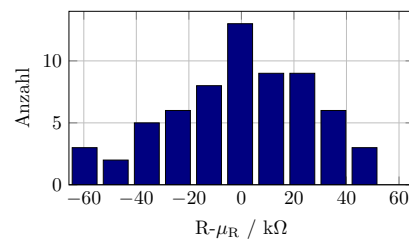
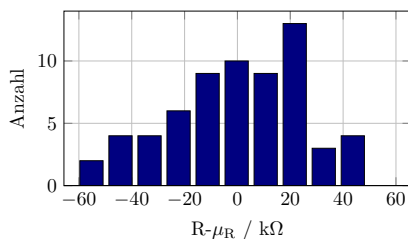
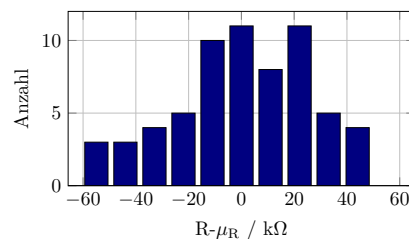
Widerstandsverteilung COS (V_{CC} nach OUT_C , $\sigma = 25.49 \text{ k}\Omega$)(a) Widerstandsverteilung des Widerstandes R_{VC} .Widerstandsverteilung COS (G_{CC} nach OUT_C , $\sigma = 27.68 \text{ k}\Omega$)(b) Widerstandsverteilung des Widerstandes R_{GC} .Widerstandsverteilung SIN (V_{CC} nach OUT_S), $\sigma = 25.96 \text{ k}\Omega$)(c) Widerstandsverteilung des Widerstandes R_{VS} .Widerstandsverteilung SIN (G_{CC} nach OUT_S), $\sigma = 26.13 \text{ k}\Omega$)(d) Widerstandsverteilung des Widerstandes R_{GS} .Abbildung 5.3: Histogramme der TMR-Widerstandselemente R_{VC} , R_{GC} , R_{VS} und R_{GS} .

Tabelle 5.1: Mittelwerte und Standardabweichungen der Widerstände aus den Tabellen D.1 und D.2 für die vier Sensorelemente.

Sensorelement	Mittelwert μ_R k Ω	Standardabweichung σ k Ω
R_{VC}	229,54	25,49
R_{GC}	235,31	27,68
R_{VS}	240,54	25,96
R_{GS}	230,35	26,13

5.1.2 Messungen der Ausgangsspannung an den Signalleitungen

In diesem Kapitel erfolgt die Überprüfung der Signalausgänge, wozu exemplarisch zwei Messungen durchgeführt werden. Die Messungen werden wie folgt durchgeführt: Die Ausgangssignalspannung wird mit einem Oszilloskop des Typs (Tektronix – MSO 3034) aufgezeichnet.

Gemessen wird an den Messpunkten, welche seitlich an der Platine platziert sind. In Abbildung 5.4 ist die Messung an der COS_L1 dargestellt. Es ist zu erkennen, dass der Spitzenwert der Spannung bei ca. 1,66 V liegt, was ca. der halben Betriebsspannung entspricht. Eindeutig zu erkennen sind die acht Schaltvorgänge der Versorgungsleitungen, welche für die Dauer von 4,1 ms aktiv sind. Die Pausenzeiten zwischen den Schaltvorgängen betragen auch 4,1 ms und ein voller Zyklus über die acht Schaltvorgänge dauert 62 ms. Die Abbildung 5.5 die Messung an der SIN_L8. Die Spannung beträgt auch hier 1,66 V, was der halben Betriebsspannung entspricht. Auch hier sind die acht Schaltvorgänge und Pausen zu erkennen, die eine Länge von 4.1 ms haben und deren Zyklus bei 61,5 ms liegt.

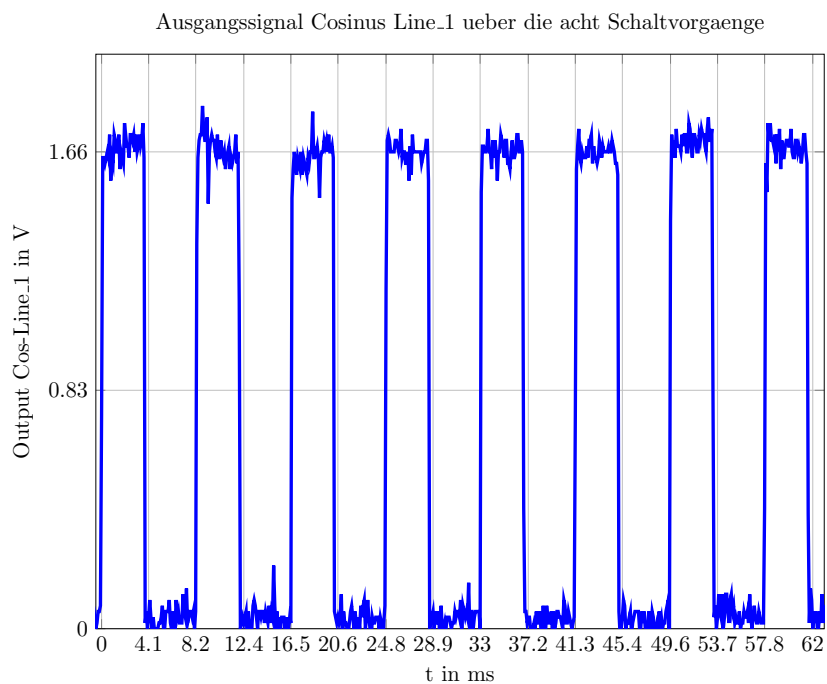


Abbildung 5.4: Ausgangssignal der COS-Leitung 1 über alle Schaltvorgänge.

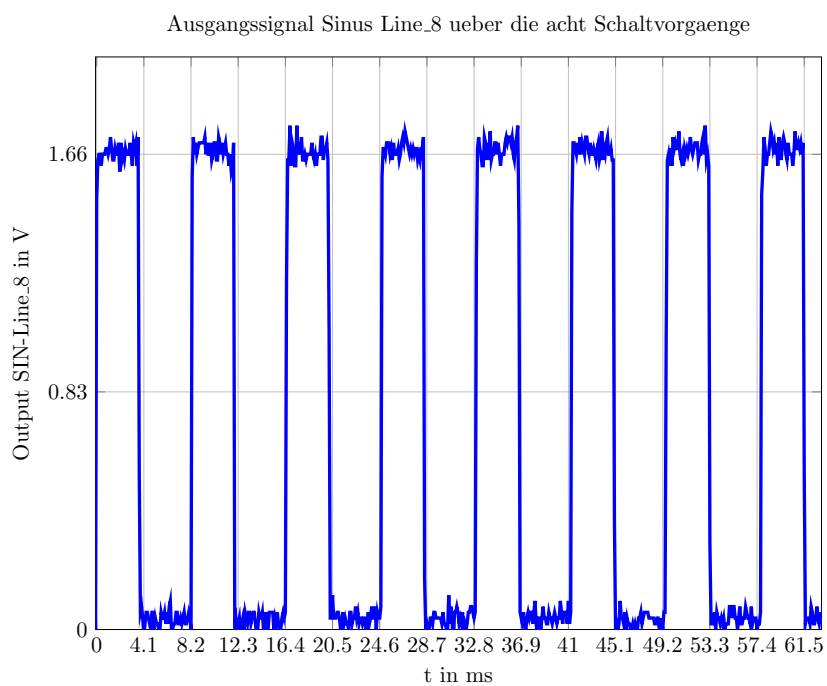


Abbildung 5.5: Ausgangssignal der SIN-Leitung 1 über alle Schaltvorgänge.

5.1.3 Graphische Zuordnung der Sensorelemente

Die einwandfreie Zuordnung der Sensoren in der grafischen Darstellung ist erforderlich, um aussagekräftige Messergebnisse zu erhalten. Die Sensoren müssen auch in der Array-Anordnung eigenständig und unabhängig (verkopplungsfrei) genaue Daten liefern. Um dies zu überprüfen, ist eine Messung in Verbindung mit dem Mikrocontroller-Programm und dem Host-PC notwendig. Zu diesem Zweck wird das Sensor-Array mit dem Mikrocontroller verbunden.

Die aufgenommenen Daten werden dazu in einem Programm erfasst und in Echtzeit am PC dargestellt, was in Abbildung 5.6 aufgezeigt wird. Es ist dabei zu beachten, dass die alphabetischen Zeilen die Versorgungsleitungen darstellen. Der Punkt (A,1) entspricht auf der Platine dem Punkt (1,1) und (H,8) steht für den Punkt (8,8). Das Pixel (A,1) entspricht jedoch aus technischer Betrachtungsweise dem achten Element der ersten Versorgungsleitung. Der Grund hierfür ist, dass die Spalten 1-8 in umgekehrter Reihenfolge die Datenleitungen 8-1 der Hardware darstellen. Spalte 1 entspricht somit der Datenleitung 8 und Spalte 8 der Datenleitung 1. In der Abbildung 5.6 sind alle Versorgungsleitungen sowie Signalleitungen eingeschaltet.

Mithilfe des erstellten Programms lassen sich die einzelnen Spannungsversorgungsleitungen ein- bzw. ausschalten, wodurch als Erstes die entsprechenden Zeilen bestimmt werden können. Zu dieser Identifizierung wird eine Versorgungsleitung eingeschaltet, wonach lediglich die Sensoren der ausgewählten Leitungen mit Spannung versorgt und ausgelesen werden können.

Zum Erstellen der Abbildung 5.7 wurde im Programm die fünfte Versorgungsleitung eingeschaltet und es zeigt sich, dass die Zeile E dieser Leitung entspricht (ausgehend davon, dass, wie vorher erläutert, die Zählung bei A beginnt). Im nächsten Schritt wird eine ausgewählte Signalleitung freigeschaltet, während die restlichen inaktiv bleiben. In der Funktion C.5 *init-ADC.c* werden nur die Zeilen 30 und 43 freigegeben, womit die Datenleitung 5 (SIN/COS) geschaltet sind. Das Pixel (E,4) in der Abbildung 5.8 zeigt somit den fünften Sensor der fünften Datenleitung nach der zuvor erläuterten Zuweisung. Das Zentrum des Arrays wird dementsprechend durch die vierte und fünfte Spannungsversorgungsleitung und der zugehörigen Datenleitungen betrieben. Dies erfolgt nach dem bereits erklärten Schema, durch die Funktionen *enable-set-high.c* und *init.ADC.c*, in denen die entsprechenden Bereiche geschaltet werden, dargestellt in 5.9. Es ist auch möglich, jeweils eine Halbbrücke der Sensoren des Sensor-Arrays zu schalten, siehe Abbildung 5.10. Die Steuerung der Hardware erfolgt in der Entwicklungsumgebung „Code Composer Studio“, wobei jegliche Änderungen vorher auf den Mikrocontroller übertragen werden.

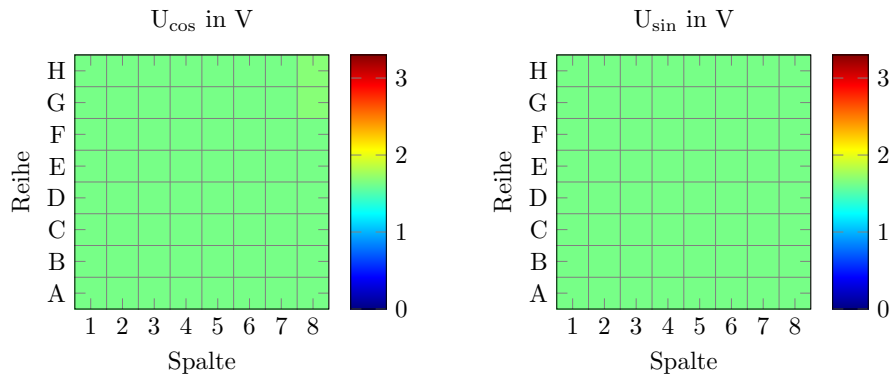


Abbildung 5.6: Pixeldarstellung der beiden Sensorhälften des Arrays; Links die COS-, rechts die SIN-Seite.

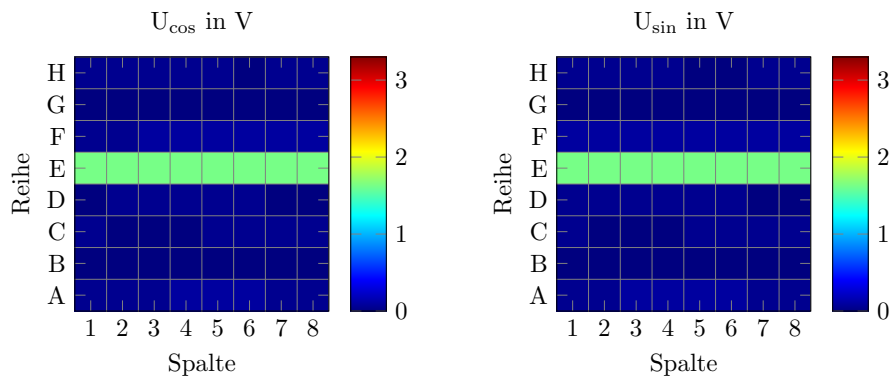


Abbildung 5.7: Inbetriebnahme der Sensoren in der Reihe E; die Ausgänge aller Sensoren sind eingeschaltet.

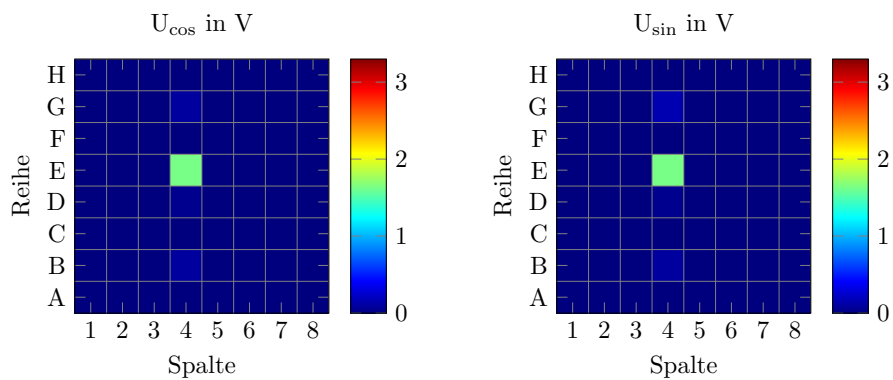


Abbildung 5.8: Einschalten des Sensor E4; die Ausgänge der anderen Sensoren sind ausgeschaltet.

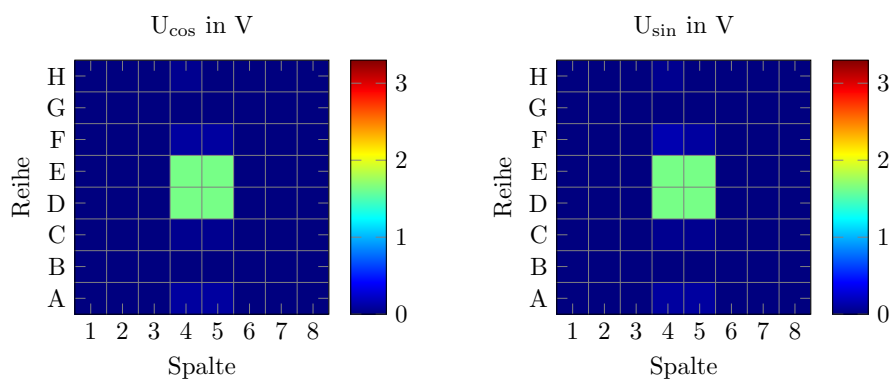


Abbildung 5.9: Inbetriebnahme des Sensor-Arrays Zentrum mit den Sensoren D4 und D5 sowie E4 und E5.

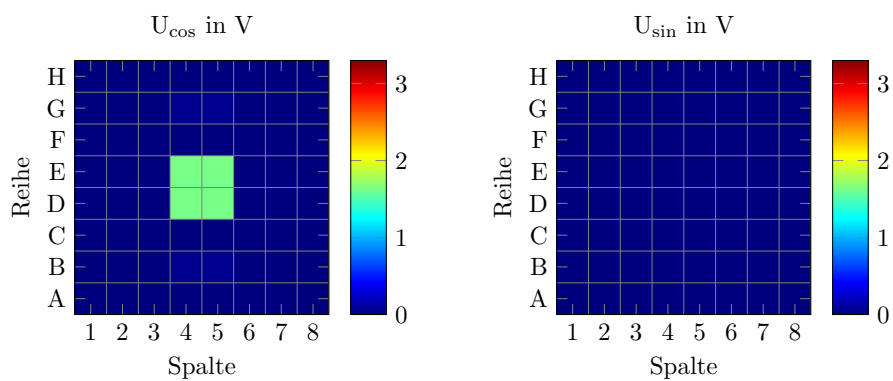


Abbildung 5.10: Einseitiges Einschalten der COS-Seite des Sensor-Arrays.

5.2 Rotationsmessung mittels Robotermessplatz

In diesem Abschnitt werden die Vergleichsmessungen zwischen dem KMZ60 AMR-Array und dem NVE AAT 001-10e-TMR-Array mit dem Robotermessplatz dargestellt und verglichen. Um die Messungen zu beginnen, müssen einige Änderungen am Messplatz vorgenommen werden. Dazu gehört das Auswechseln der Grundplatte des Messplatzes aus Eisen. Diesbezüglich wurde eine Adapterplatte aus Holz zugeschnitten und angepasst. Eine Schablone des TMR-Arrays mit den passenden Bohrungen wurde der Abbildung B.6 entnommen. Die vier äußeren Bohrungen und die Dimension des Arrays wurden auf eine Schablone übertragen. Da das Array auf den Mikrocontroller gesteckt wird, werden die Bohrlöcher zur Befestigung aus Abbildung 3.7 auf die gleiche Schablone übertragen, diese ist in Abbildung B.7 dargestellt. Der Robotermessplatz verfügt über eine voreingestellte Positionsausrichtung, die sich genau auf die Mitte des Sensor-Arrays ausrichtet. Diese Position wurde auf die Adapterplatte übertragen und das Array mittig darauf positioniert.

Aus der vorherigen Abschlussarbeit stehen zwei Magnete, mit entsprechenden Halterungen zur Verfügung. Zur Untersuchung des Verhaltens des Sensor-Arrays auf einen Dipol wurden Kugelmagneten mit verschiedenen Durchmessern bestellt. Für die Kugelmagnete wurde eine neue Halterung angefertigt, abgebildet in 5.11. Erstellt wurden zwei von diesen Halterungen mit einem 3D-Drucker. Die Kugeln werden zwischen zwei dieser Halterungen platziert. In der folgenden Tabelle 5.2 sind die Daten der verschiedenen Magnete sowie die wichtigsten Eigenschaften für die Messungen aufgelistet.

5.2.1 Messungen mit dem KMZ60-AMR-Sensor-Array

Hier werden die Messungen, die mit dem KMZ60-AMR-Array erstellt wurden, dargestellt und beschrieben. Das Array wird mit einer Betriebsspannung von 5 V betrieben. Darüber hinaus verfügt das Array über Filterschaltungen für das Ausgangssignal. Die minimale Feldstärke des Gebermagnetes zum Betreiben des KMZ60 beträgt $25 \frac{kA}{m}$. Die Größe des

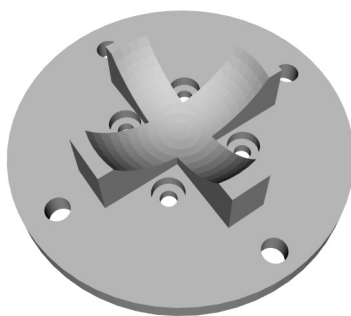


Abbildung 5.11: Erstellte Kugelhalterung für den Messplatz.

Tabelle 5.2: Daten der Magneten zur Messung am Robotermessplatz. Kugel-, Quader- und Rechteckmagneten.

Magnetform	Abmessungen	Abstand zum Array mm	Feldstärke	
	mm		min. kA/m	max. kA/m
große Kugel	d=26	19	2,68	31,8
kleine Kugel	d=19	19	2,28	27,8
Quader	10x10x10 (BxHxT)	19	3,5	21,1
Rechteck	40x20x40 (BxHxT)	19	1,3	22,9

Sensor-Arrays beträgt von der Mitte des ersten Sensors zum letzten 5,5 cm¹. Gemessen wurde von den Punkten (E,5), (A,8) und (F,3). Die dargestellten Messungen werden von einem festen Punkt aus betrachtet. Das ist der Punkt (E,5), das Zentrum des Sensor-Arrays. In der Tabelle 5.3 sind die Auffälligkeiten in den Messungen aufgelistet. Die Ausgangssignalspannung hat einen Wert von 1,6 V (Spitze-Spitze). Folgende Attribute, die betrachtet wurden, sind: Die Auswertungen aus der Tabelle 5.3 zeigen, dass die Vektorverläufe nicht einheitlich in eine Richtung zeigen. Die Signalverläufe der Kugeln, die als Dipol dienen, verhalten sich ähnlich. Dabei ist ersichtlich, dass die Kurvenverläufe, die verhältnismäßig weit entfernt vom Zentrum sind, erhebliche Verzerrungen aufweisen. Jedoch wiederholen sich auch diese Verzerrungen periodisch ab 180°.

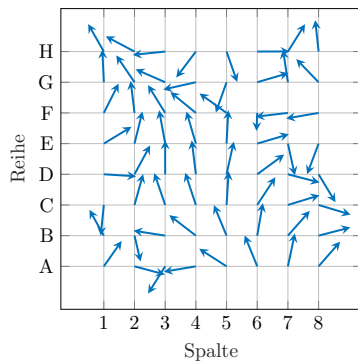
- Der Verlauf der SIN- und COS-Signale
- Die Kurvenform der Signale
- Der Verlauf der Vektoren in Abhängigkeit zum Magnetfeld

Die Messungen erfolgten mit den Magneten aus der Tabelle 5.2. Die Vektorverläufe in den nachfolgenden Abbildungen sind bei 45° Rotation des Gebermagneten aufgenommen worden. Die Periodizität der Sensoren ist deutlich erkennbar bei jeder Kurvenform ab 180°.

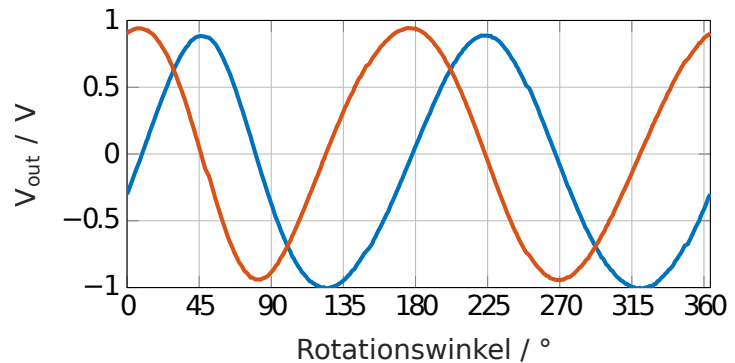
¹Für weitere Informationen bezüglich des KMZ60 wird auf das Datenblatt verwiesen [7].

Tabelle 5.3: Die Messungen mit den Verschieden Magneten mittels Robotermessplatz werden hier aufgelistet.

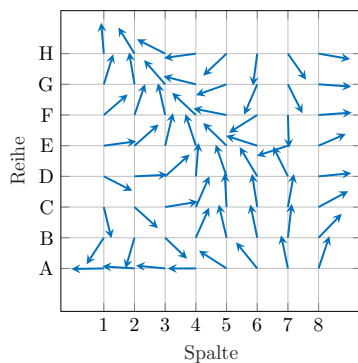
KMZ-AMR-Sensor-Array			
Messpunkt	Verlauf	Kurvenform	Vektorverlauf
Abbildung 5.12 Ausgangsspannung 1,6 V Großer Kugelmagnet			
(E,5)	Sinusförmig	normal	gehäuft (E,5); Richtung (H,1)
(F,3)	verformter SIN u. COS	invertierter Start	gehäuft (F,3); Richtung (H,1)
(A,8)	Sinusförmig	negativer Start	gehäuft (A,8); Richtung (H,1)
Abbildung E.2 Kleiner Kugelmagnet			
Messpunkt	Verlauf	Kurvenform	Vektorenverlauf
(E,5)	Sinusförmig	normal	gehäuft (E,5); Richtung (H,1)
(F,3)	verformter SIN u. COS	invertierter Start	gehäuft (F,4); Richtung (H,2)
(A,8)	Sinus ist invertiert	negativer Anfang von SIN	gehäuft (A,7); Richtung (H,4)
Abbildung E.3 Quadermagnet			
Messpunkt	Verlauf	Kurvenform	Vektorenverlauf
(E,5)	Sinusförmig	normal	gehäuft (E,5); Richtung (H,1)
(F,3)	SIN dreieckig; COS pulsiert	verformt	gehäuft (F,3); Richtung (H,2)
(A,8)	dreieckig	negativer Anfang bei $-0,5 V$	gehäuft (B,8); Richtung (E,6)
Abbildung E.4 Rechteckermagnet			
Messpunkt	Verlauf	Kurvenform	Vektorenverlauf
(E,5)	Sinusförmig	normal	gehäuft(E,5); Richtung (H,1)
(F,3)	gestreckter COS	verformter SIN	gehäuft (E,5); Richtung (H,2)
(A,8)	Sinusförmig	invertierter SIN	gehäuft(E,6); Richtung (H,3)



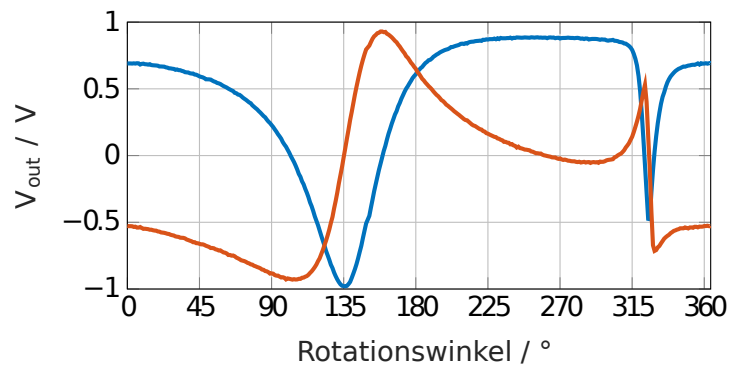
(a) Vektordarstellung der Ausgangssignale bei 45° Rotation des Magneten über der Mitte des Arrays.



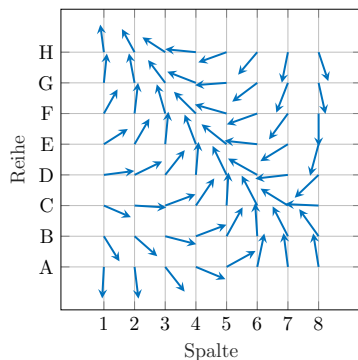
(b) SIN- (rot) und COS-Ausgangssignale (blau) des Sensors (E,5) in Abhängigkeit der Rotation des Magneten über der Mitte des Arrays.



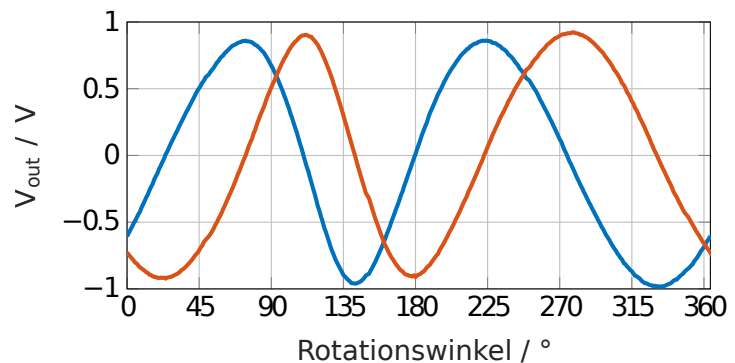
(c) Vektordarstellung der Ausgangssignale bei 45° Rotation des Magneten über dem Sensor (F,3).



(d) SIN- (rot) und COS-Ausgangssignale (blau) des Sensors (E,5) in Abhängigkeit der Rotation des Magneten über dem Sensor (F,3).



(e) Vektordarstellung der Ausgangssignale bei 45° Rotation des Magneten über dem Sensor (A,8).



(f) SIN- (rot) und COS-Ausgangssignale (blau) des Sensors (E,5) in Abhängigkeit der Rotation des Magneten über dem Sensor (A,8).

Abbildung 5.12: Messungen mit dem KMZ-60 Sensor-Array und einem Kugelmagneten ($d = 26$ mm) im Abstand von 19 mm bei drei verschiedenen Positionen über dem Sensor-Array.

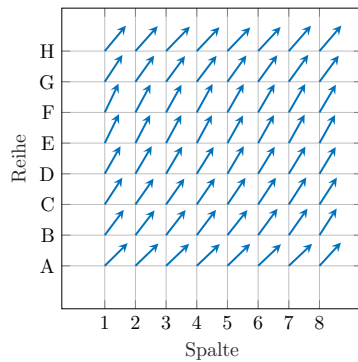
5.2.2 Messungen mit dem NVE-TMR-Sensor-Array

In diesem Abschnitt werden die Messungen des TMR-Sensor-Arrays dargestellt und diskutiert. Das Sensor-Array wird mit einer Betriebsspannung von 3,3 V betrieben. Das Array hat keine Verstärkung, Spannungsstabilisierung oder Filterschaltungen. Es besteht nur aus diskreten Bauteilen. Die benötigte Feldstärke des Arrays beträgt ca. $16 \frac{\text{kA}}{\text{m}}$. Die Periodendauer der SIN- und COS-Ausgangssignale umfasst eine volle Umdrehung, und somit 360° . Das TMR-Sensor-Array hat die Abmessungen von 2,8 cm, ausgehend vom Zentrum des ersten Sensors bis zum Letzten. Gemessen wurde hier über den Sensoren (E,5), (F,5) und (A,8). Die Betrachtung erfolgt auch hier vom Punkt (E,5), annähernd die Mitte des Sensor-Arrays. Eine Übersicht der Auswertung ist in der folgenden Tabelle 5.4 dargestellt.

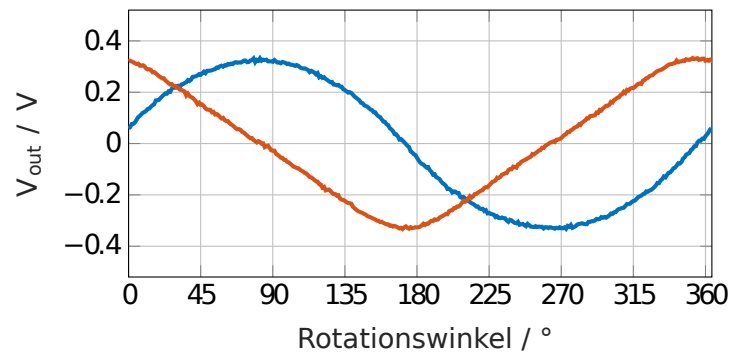
Die Auswertungen der Messungen ergeben, dass die Vektorverläufe der Sensoren bei den TMR-Sensor-Arrays annähernd alle in dieselbe Richtung zeigen mit einem Winkel von 45° . Die Signalverläufe der Kugelmagneten weisen einen gleichen Kurvenverlauf auf.

Tabelle 5.4: Die Messungen mit den Verschieden Magneten mittels Robotertermessplatz werden hier aufgelistet.

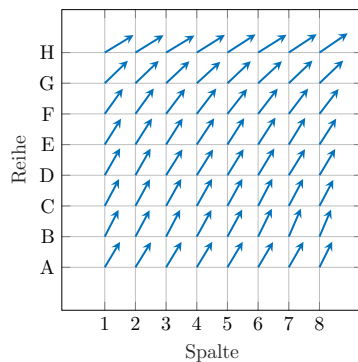
AMR-TMR-Sensor-Array			
Abbildung 5.12 Ausgangsspannung 0,6 V Großer Kugelmagnet			
Messpunkt	Verlauf	Kurvenform	Vektorverlauf
(E,5)	Sinusförmig	normal	fast alle Sensoren 45°
(F,3)	Sinusförmig	normal	Zeile H verkippt
(A,8)	Sinusförmig	gewellter COS	Verlauf verformter SIN Zeile H und G verkippt
Abbildung E.2 Kleiner Kugelmagnet			
Messpunkt	Verlauf	Kurvenform	Vektorenverlauf
(E,5)	Sinusförmig	Sin-dreieckig	Zeile A u. B verkippt
(F,3)	Verformter SIN u. COS	verformt	Zeile A-D verformt
(A,8)	Sinusförmig	verformt annähernd gleich	verkippte Spalte(1-3) Zeile(F-G)
Abbildung E.3 Quadermagnet			
Messpunkt	Verlauf	Kurvenform	Vektorenverlauf
(E,5)	Sinusförmig	COS gestreckt	Zeile A-B und H verkippt
(F,3)	Sinusförmig	leicht verzerrt	Zeile E 45°
(A,8)	Sinusförmig	beide Signale Verzerrt	Zeile D 45°
Abbildung E.4 Rechteckiger Kugelmagnet			
Messpunkt	Verlauf	Kurvenform	Vektorenverlauf
(E,5)	Sinusförmig	COS gestreckt	Zeile C-D und G 45°
(F,3)	Sinusförmig	leicht verzerrt	Zeile D und E 45°
(A,8)	Sinusförmig	verzerrt	Zeile C und D 45°



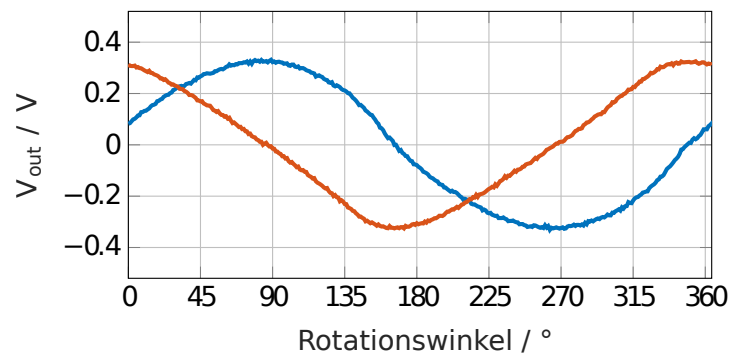
(a) Vektordarstellung der Ausgangssignale bei 45° Rotation des Magneten über der Mitte des Arrays.



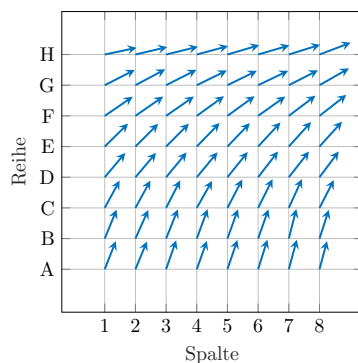
(b) SIN- (rot) und COS-Ausgangssignale (blau) des Sensors (E,5) in Abhängigkeit der Rotation des Magneten über der Mitte des Arrays.



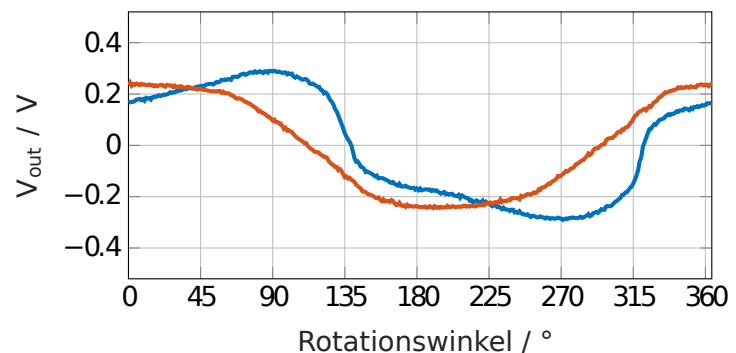
(c) Vektordarstellung der Ausgangssignale bei 45° Rotation des Magneten über dem Sensor (C,3).



(d) SIN- (rot) und COS-Ausgangssignale (blau) des Sensors (E,5) in Abhängigkeit der Rotation des Magneten über dem Sensor (F,3).



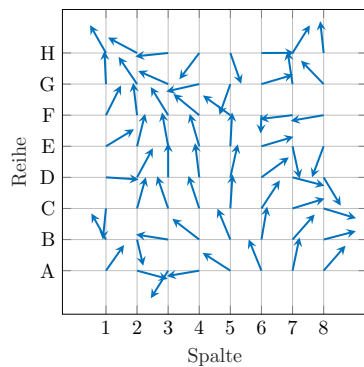
(e) Vektordarstellung der Ausgangssignale bei 45° Rotation des Magneten über dem Sensor (A,1).



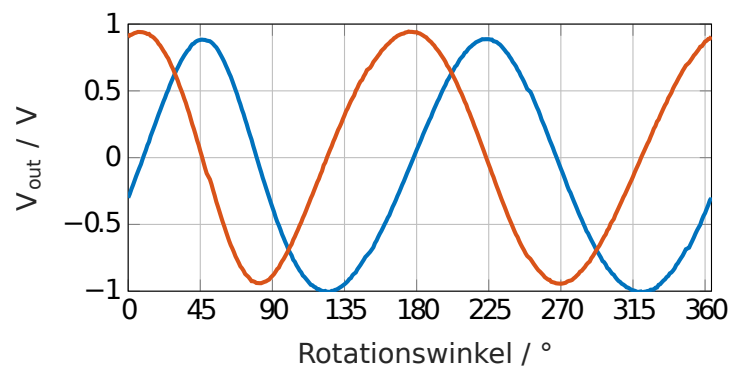
(f) SIN- (rot) und COS-Ausgangssignale (blau) des Sensors (E,5) in Abhängigkeit der Rotation des Magneten über dem Sensor (A,8).

Abbildung 5.13: Messungen mit dem NVE-AAT001-10E Sensor-Array und einem Kugelmagneten ($d = 26$ mm) im Abstand von 19 mm bei drei verschiedenen Positionen über dem Sensor-Array.

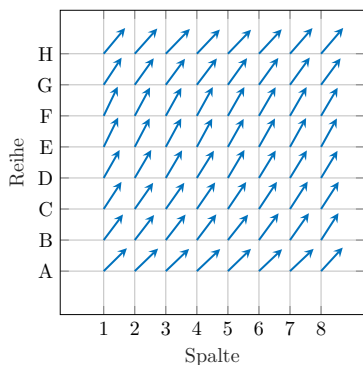
Gegenüberstellung der Sensor-Array Messungen In der Abbildung 5.14 erfolgen die Messungen mit dem großen Kugelmagneten über dem Zentrum des jeweiligen Sensor-Arrays. Die Vektordarstellung der Sensoren des TMR-Sensor-Arrays zeigen alle in dieselbe Richtung in einem Winkel von ca. 45° , die des AMR-Sensor-Arrays sind gestreuter. Werden die Kurvenverläufe gegenübergestellt, so ist die Amplitude des AMR-Sensor-Arrays größer, mit einem Spitze-Spitze Wert von 1,6 V. Die des TMR-Arrays hat einen Wert von 0,6 V. Dabei ist jedoch zu beachten, dass die Auflösung des TMR-Arrays größer ist, wodurch die Periodendauer von 360° des Sensor-Arrays ersichtlich wird. Die Periode des AMR-Arrays wiederholt sich bei 180° .



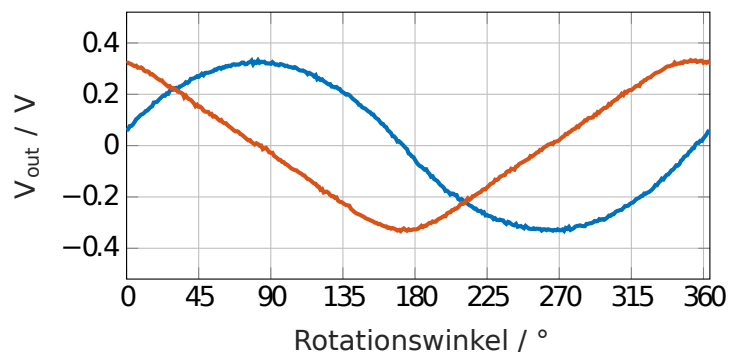
(a) Vektordarstellung der Ausgangssignale bei 45° Rotation des Magneten über der Mitte des Arrays.



(b) SIN- (rot) und COS-Ausgangssignale (blau) des Sensors (E,5) in Abhängigkeit der Rotation des Magneten über der Mitte des Arrays.



(c) Vektordarstellung der Ausgangssignale bei 45° Rotation des Magneten über der Mitte des Arrays.



(d) SIN- (rot) und COS-Ausgangssignale (blau) des Sensors (E,5) in Abhängigkeit der Rotation des Magneten über der Mitte des Arrays.

Abbildung 5.14: Gegenüberstellung der Messungen mit dem KMZ-60 Sensor-Array und dem NVE-AAT001-10E Sensor-Array und einem Kugelmagneten ($d = 26 \text{ mm}$) im Abstand von 19 mm mittig über den Sensor-Arrays.

5.2.3 Kreisdarstellung der Messergebnisse beider Sensor-Arrays

Durch die SIN- und COS-Signale eines Sensors lassen sich durch beide Anteile ein Einheitskreis darstellen, falls beide Anteile gleich groß sind. Ist nur ein Anteil kleiner oder größer kommt es zu Verzerrungen und Verformungen des Kreises. In den nachfolgenden dargestellten Abbildungen sind für alle Sensoren diese Kreise erstellt worden.

In der Abbildung 5.15 wurde über den Punkten (H,1), (F,3) und der Mitte des Sensor-Arrays gemessen. Die Punkte sind in dieser Abbildung gut ersichtlich, zu erkennen an den Kreisdarstellungen. Dabei fällt auf, dass die Kreise groß und in den gesättigten Bereichen einheitlich sind.

In der Abbildung 5.16, wurde über den Punkten (C,3), (A,1) und dem Zentrum des Sensor-Arrays gemessen. Bei der Messung im Mittelpunkt ergeben sich einheitliche Kreise über allen Sensoren. Die Messung um den Punkt (C,3) ergeben, dass am äußeren Rand des Sensor-Arrays sich die Form der Kreise ändert, das ist noch deutlicher über dem Messpunkt (A,1) zu erkennen. Die Sensoren sind zu weit entfernt und verzerren.

In der Abbildung E.1 sind die Kreisdarstellungen der Sensor-Arrays gegenübergestellt. Gemessen wurde mit dem großen Kugelmagneten, dem kleinen Kugelmagneten und dem quaderförmigen Magneten. Bei dem KMZ-Sensor-Array, ist erkennbar, dass mit Abnahme der Größe der Magneten, die Sensoren den Sättigungsbereich und die deutlichen Kreisdarstellungen verlassen. Das NVE-Sensor-Array weist denselben Effekt auf, jedoch ist die Abnahme nur in den äußeren Bereichen vorhanden.

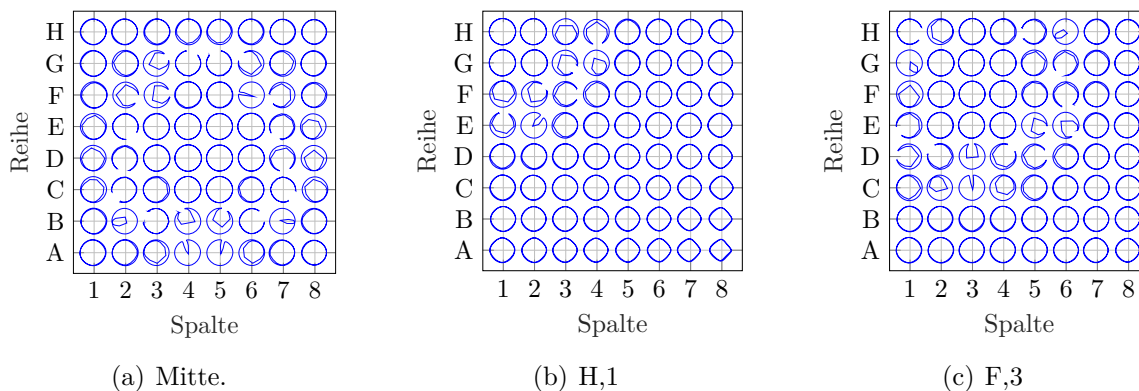


Abbildung 5.15: Messungen mit dem KMZ-60 Sensor-Array und einem Kugelmagneten ($d = 26$ mm) im Abstand von 19 mm bei drei verschiedenen Positionen über dem Sensor-Array.

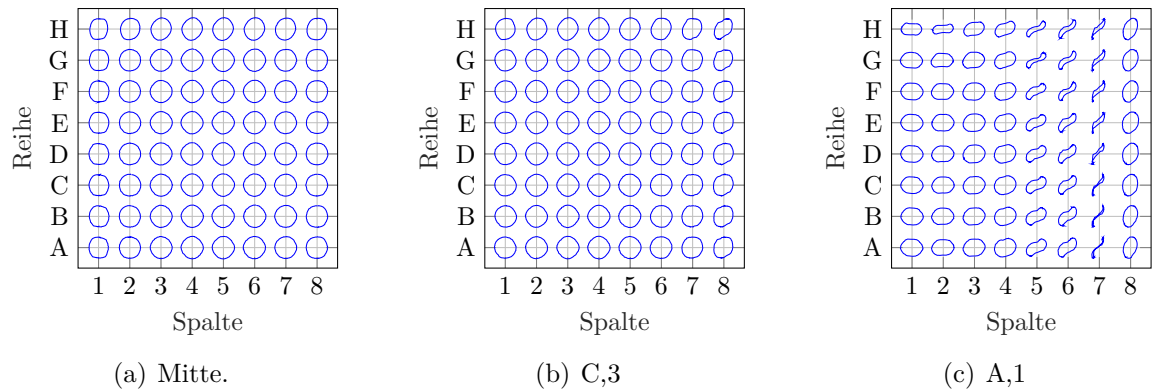


Abbildung 5.16: Messungen mit dem NVE-Sensor-Array und einem Kugelmagneten ($d = 26 \text{ mm}$) im Abstand von 19 mm bei drei verschiedenen Positionen über dem Sensor-Array.

5.2.4 Störfeldmessungen

Das Störfeld wird mit zwei unterschiedlichen Halbachringen erzeugt, das eine hat ein homogenes Magnetfeld von $4 \frac{\text{kA}}{\text{m}}$, das andere $6 \frac{\text{kA}}{\text{m}}$. Der stärkere Ring wurde um das TMR-Sensor-Array gelegt, das schwächere um das AMR-Sensor-Array. Dies ist aus Gründen der Geometrie der jeweiligen Arrays erfolgt. Die Abbildung 5.17 ist mit dem kleinen Kugelmagneten gemessen worden. Gegenübergestellt sind die Messpunkte (A,1) und der Mittelpunkt des KMZ-Sensor-Arrays. Deutlich zu erkennen ist, dass durch das Störfeld die Kreise verschwinden. In der Abbildung 5.18 ist mit dem kleinen Kugelmagneten gemessen worden. Die gemessenen Punkte sind zum einen das Zentrum des TMR-Arrays und zum anderen der Punkt (A,1). Es ist ersichtlich, dass trotz Störfeld Messergebnisse vorhanden sind. Bei der Messung um den Mittelpunkt sind die Spalten 1-3 und die Spalte 8 vom Störfeld beeinflusst. Bei der Messung um den Punkt (A,1) sind die Spalten 5-8 beeinträchtigt sowie die oberen Zeilen.

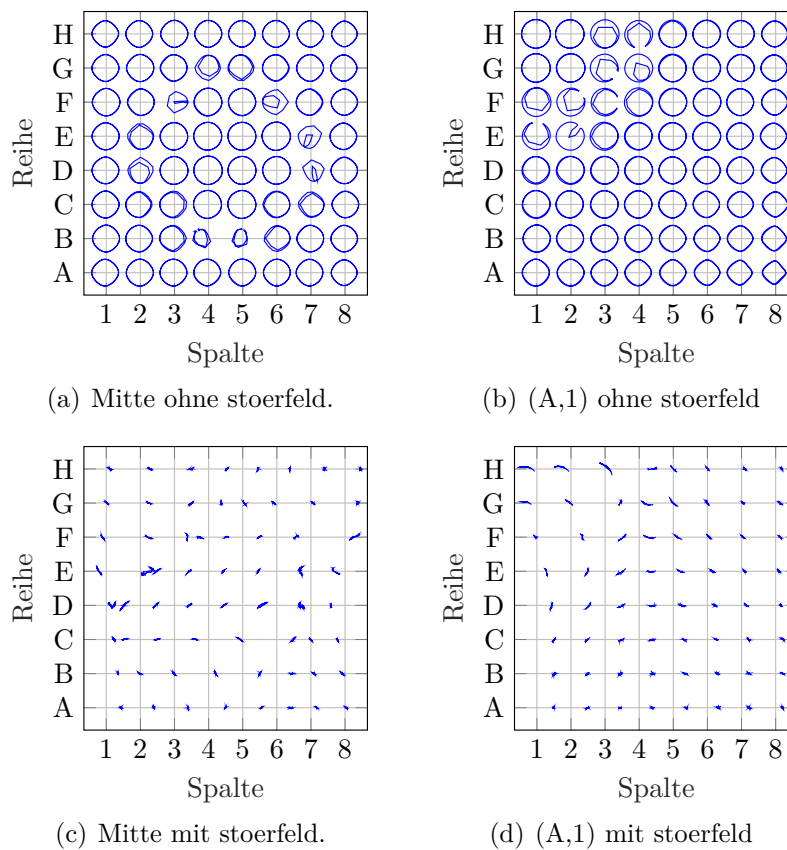


Abbildung 5.17: Messungen mit dem KMZ-60 Sensor-Array und einen kleinen Kugelmagneten mittig über dem Array und an der Position (A,1) ohne Störfeld und mit Störfeld.

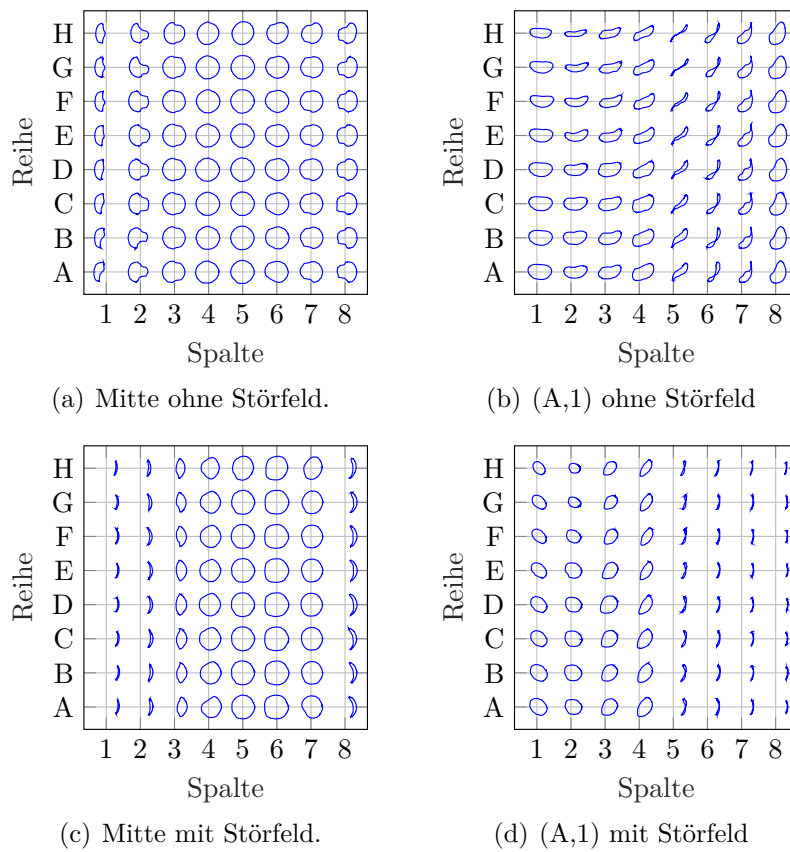


Abbildung 5.18: Messungen mit dem NVE-Sensor-Array und einer kleinen Kugel mittig über dem Array und an der Position (A,1) ohne und mit Störfeld.

Gegenüberstellung der Kurvenverläufe der beiden Sensor-Arrays In der Abbildung 5.19 sind die Kurvenverläufe beider Sensoren gegenübergestellt. Auf der linken Seite ohne Störfeld auf der rechten mit Störfeld. Gemessen wurde über den Zentren der beiden Sensor-Arrays mit dem quaderförmigen Magneten. Bei der Betrachtung der oberen Verläufe des AMR-Sensor-Arrays zeigt sich, dass es durch das Störfeld es zu einer Verschiebung des Ausgangssignals kommt. Eine Periodizität ab 180° lässt sich auch nicht erkennen. Die Messungen unten am TMR-Sensor-Array verformt sich nicht. Die Amplitude des SIN-Ausgangssignal wird dabei minimal verstärkt und das Rauschen beider Signale nimmt ab.

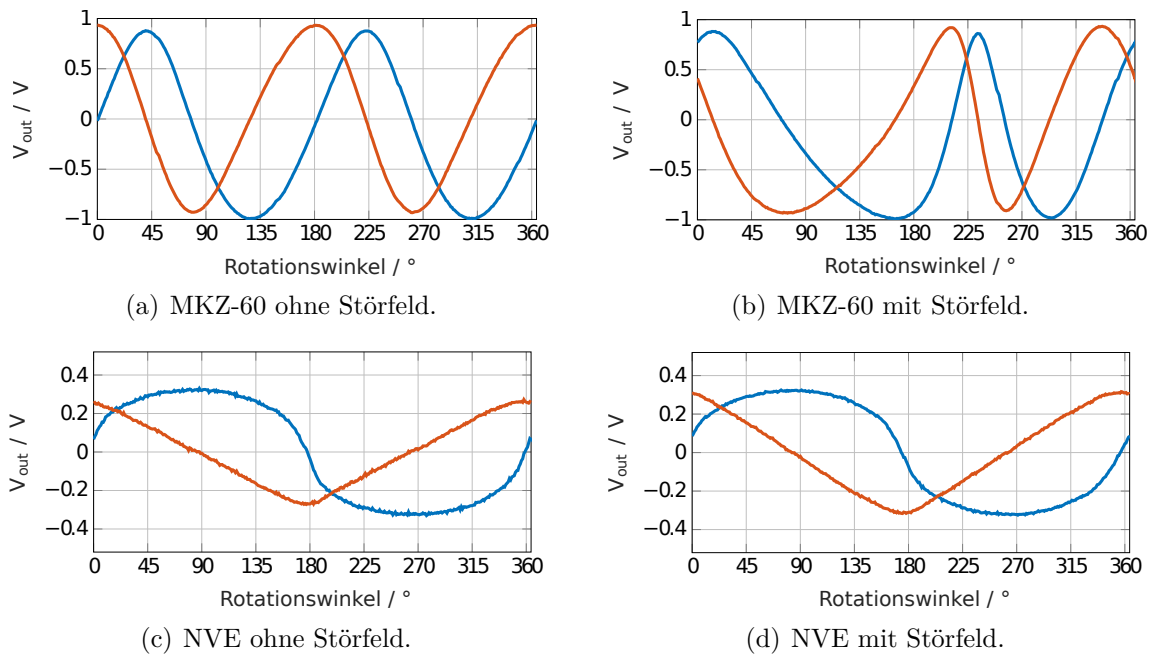


Abbildung 5.19: SIN- (rot) und COS-Ausgangssignale (blau) des Sensors (E,5). Es sind jeweils die Signale ohne (links) und mit (rechts) Störfeld für das KMZ-60 und NVE-Array dargestellt. Der Gebermagnet ist ein Würfelmagnet mit einer Kantenlänge von 10 mm und einem Abstand von 19 mm zum jeweiligen Sensor-Array.

5.3 Résumé der Messungen

Bei der Betrachtung der Messergebnisse, der Widerstandsmessungen, im ersten Teil des Kapitels fällt auf, dass es eine Häufung von relativ hohen Widerstandswerten in den Zeilen A-C besteht. Die Häufung der Widerstandswerte wird nochmals in den Histogrammen 5.3 ersichtlich. Die Ursache der Häufung könnte an dem Bestückungsverfahren liegen, da die Sensoren direkt aus der Verpackung nacheinander auf die Platine gesetzt wurden.

Eine Besonderheit fällt zwischen den Abbildungen 5.1(c) und 5.2(c) auf. Die erste Abbildung stellt die Differenz zwischen den jeweiligen Halbbrücken dar, die Zweite die Differenz zwischen den Widerständen der Versorgungsspannung und des Massenpotenzials. Dabei sind die Symmetrien deutlich zwischen ΔR_{COS} und ΔR_{GND} zu erkennen. Dies ist vermutlich auf eine interne Verschaltung der Sensorelemente zurückzuführen.

In den Abbildungen 5.4 und 5.5 sind exemplarisch die Ausgangssignalspannungen der COS-Leitung 1 und SIN-Leitung 8 dargestellt. Deutlich zu erkennen ist, dass der Maximalwert der Ausgangsspannung von 1,66 V der Hälfte der Versorgungsspannung entspricht. Klar Unterscheidbar sind die Pausenintervalle zwischen den acht Schaltvorgängen. Damit ist bewiesen, dass es zu keiner Beeinflussung der anderen Versorgungsleitungen kommen kann. Beim Betrachten der Abbildungen 5.9 bis 5.10 ist ersichtlich, dass die Beschaltung und Pixelzuweisung sich so wie in der Software programmiert verhält.

Die wesentlichen Unterschiede zwischen den zwei Sensor-Array Typen, sind deutlich in den Abbildungen 5.14, E.1 und 5.19 zu erkennen. In Abbildung 5.14 ist eindeutig ersichtlich, dass die Vektordarstellungen des AMR-Arrays nicht so ausgerichtet sind wie die des TMR-Arrays. Das kann zum einen an der Sättigung und zum anderen an der benötigten Feldstärke des Gebermagneten liegen. Der Kurvenverlauf des AMR-Arrays weist eine Doppelperiodizität bei 180° auf. Ersichtlich ist auch, dass das AMR-Array über Filterschaltungen sowie eine höhere Betriebsspannung von 5 V verfügt.

Abbildung E.1 stellt die Kreisdarstellung der beiden Sensor-Array-Typen gegenüber. Die doppelte Periodizität ist auch hier zu erkennen, die doppelten Kreise bzw. die Muster entstehen durch den zweiten Verlauf ab 180° . Anhand dessen, dass das AMR-Sensor-Array Filter an den Ausgangssignalen hat, ähneln die Kreisbahnen mehr einem Kreisverlauf. Der größere Durchmesser resultiert aus der höheren Betriebs- und Ausgangssignalspannung.

Der direkte Vergleich zwischen den Arrays untere Störfeldeinfluss ist dargestellt in Abbildung 5.19. Die Störfelder haben unterschiedliche Feldstärken. Das des AMR-Sensor-Array beträgt 4 kA/m und des TMR-Sensor-Array 6 kA/m. Der Kurvenverlauf des AMR-Sensor-Arrays ist verzerrt und der periodische Verlauf ist nicht mehr symmetrisch. Dagegen hat das Störfeld kaum Einfluss auf das TMR-Sensor-Array. Im Gegensatz dazu ist das Sinussignal leicht verstärkt und das Rauschen beider Signale hat abgenommen, möglicherweise dient das Störfeld in diesem Fall auch als Stützfeld.

6 Schlussfolgerungen

In diesem Kapitel werden die Ergebnisse dieser Arbeit zusammengefasst und die erreichten Ziele dargestellt. Darauf folgend wird beschrieben, in welchen Aspekten diese Arbeit fortgeführt werden kann. Zum Schluss folgen Anmerkungen und Anregungen zur Verbesserung beim Fortführen dieser Arbeit.

6.1 Zusammenfassung

Der wesentliche Teil dieser Arbeit war die Erstellung eines funktionsfähigen 8x8 TMR-Sensor-Arrays, die Modifikationen zur Ansteuerung des Sensor-Arrays sowie die Messerprobung an einem Robotermessplatz. Das Sensor-Array wird zur zweidimensionalen Magnetfelderfassung eingesetzt.

Zu Anfang wurden die Grundlagen der MR-Prinzipien sowie deren Funktionsweisen erläutert. Dabei sind die unterschiedlichen MR-Effekte, explizit der AMR- und der TMR-Effekt, erläutert. Darüber hinaus erfolgte eine ausgiebige Darstellung des genutzten Sensors, der zum Erstellen des Arrays genutzt wurde.

Nachdem das Grundschemata des Sensor-Arrays dargestellt und erarbeitet wurde, erfolgte der schematische Entwurf der Platine in einem kurzen Zeitraum. Das Sensor-Array wurde nach den Vorgaben erstellt und dementsprechend bestückt. Zum Betreiben der Hardware mussten einige Modifikationen am Mikrocontroller vorgenommen werden.

Für die Hardware wurde ein Steuerungsprogramm implementiert, das das Auslesen der Zeilen und Spalten ermöglicht. Der Robotermessplatz wurde nach einigen Modifikationen in Betrieb genommen. Für die Messungen des Sensor-Arrays, wurde ein Programm erstellt, das es ermöglicht eine, 360° Aufnahme über mehrere Messpositionen zu erstellen und abzuspeichern.

Die TMR-Sensorelemente wurden ausführlich betrachtet und ausgewertet. Zur Inbetriebnahme des Arrays war als Erstes die Zuweisung der Sensorelemente grafisch darzustellen und einwandfrei zuzuordnen. Die Ausgangsspannungen wurden gemessen und haben wie erwartet den halben Wert der Betriebsspannung. Anschließend wurden ausführliche Messungen mit dem AMR- und TMR-Sensor-Array durchgeführt. Dies erfolgte mit vier verschiedenen Magneten. Darüber hinaus wurden Messungen mit Störeinflüssen, anhand eines Halbachrings, der ein homogenes Magnetfeld erzeugt, gemessen.

6.2 Herausforderung

Der Ausgangspunkt dieser Arbeit sah wie folgt aus: Eine erste Version eines TMR-Sensor-Arrays wurde im Projekt erstellt. Dabei kam es zu Fehlern mit der Beschaltung der Sensoren in einer Array-Struktur. Der grundlegende Fehler war, dass aufgrund der internen Beschaltung der Sensorelemente Kurzschlüsse mit der Masse auftraten. Das hatte zur Folge, dass das Sensor-Array so nicht betrieben werden konnte. Es wurde dann entschieden, die Beschaltung der Sensoren, spaltenweise mit je zwei separaten Spannungsversorgungen zu betreiben. Das ergab in Summe 48 Leitungen für das Betreiben des Sensor-Arrays, dazu kamen weitere 16 für die Datenleitungen.

Das Erstellen der Platine erwies sich als schwierig. Eine der Herausforderung war die manuelle Bestückung der Platine. Aufgrund des Aufbaus der Sensoren, die über einen Massekontakt auf fast der gesamten Fläche der Unterseite verfügen, kam es zu Kurzschlüssen beim Bestücken. Eine andere Schwierigkeit ergab sich durch das Anordnen und Platzieren der Sensoren. Einige der Sensoren hatten ein unterschiedliches Höhenprofil. Wiederum andere Sensoren waren nach dem SMD-Löten verkippt. Erst im vierten Anlauf ergab sich ein funktionsfähiges und fehlerfreies Sensor-Array.

Die Umsetzung zur Beschaltung und Steuerung der Platine war eine Herausforderung angesichts der Menge an benötigten GPIOs. Die Umsetzung war nur möglich, in dem das Boosterpack X11 des Mikrocontrollers genutzt wurde. Dazu wurden mittels Datenblatt, versucht geeignete GPIOs auszuwählen. Dies war aber aufgrund der hohen Anzahl nicht ganz möglich. Während des Testbetriebs fiel auf, dass es zu Rückkopplungen und Kurzschlüssen auf der Platine kam. Bedingt war dies durch die 0Ω Widerstands-Brücken auf dem Mikrocontroller, die zuvor beseitigt werden mussten. Es konnten nicht alle Einflüsse des Mikrocontrollers entfernt werden, da sonst die Funktionsfähigkeit des Debuggmodus nicht zu gewährleisten wäre. Das Entfernen der Netzwerkdose war zwingend erforderlich, da die Platine sonst nicht montierbar gewesen wäre.

Das zur Verfügung gestellte Programm wurde zur Übersichtlichkeit zunächst umstrukturiert. Es musste aufgrund der vielen GPIO umgeschrieben werden. Einige Grundfunktionen konnten dabei erhalten bleiben. Zu Komplikationen kam es mit den ADCs und dem Senden der Daten. Die Signale weisen einen minimalen Offset auf, dies ist auf die Widerstandselemente der Sensoren sowie vermutlich des nicht vorhandenen gemeinsamen Groundpotenzials zurückzuführen. Es wurde deutlich beim Zuweisen der Analogeingänge der ADC, bei abwechselnden Folgen von SIN- und COS-Signalen in der Implementierung. Behoben wurde das, in dem jeweils die SIN-Signale auf einen ADC gelegt wurden und die COS-Signale auf den anderen ADC. Das Senden der Daten war in dem Fall erschwert, da die Signale zeilenweise in umgekehrter Reihenfolge erfolgen mussten, um am PC richtig angezeigt zu werden. Diese Herausforderungen haben ein Großteil der Zeit in Anspruch genommen.

Mit dem zur Verfügung gestellten Messplatz sollten die notwendigen Messungen der

voreingestellten Funktionen aufgenommen und dargestellt werden. Jedoch war das nicht möglich, da das Sensor-Array die Aufnahmen mittels einer 360° Drehung eines Gebermagneten durchführen soll. Der Messplatz war durch den Betrieb eines Endschalters nicht in der Lage, diese Messung durchzuführen. Bekannt war das am Anfang der Arbeit nicht. Die Lösung erfolgte durch ein Auskommentieren einer Abfrage des Endschalters. Da aber niemanden bekannt war, wie das Programm tatsächlich funktioniert, war es nötig, sich mit dem Messplatz auseinanderzusetzen. Daraus resultierte, dass sich die Drehrichtung des Drehtellers ändern musste. Die Folge war, dass alle voreingestellten Messabläufe und deren Darstellungen nicht genutzt werden konnten. Ein Messprogramm zur Aufnahme der Daten über mehrere Positionen wurde daraufhin erstellt. Bei den Testmessungen ist aufgefallen, dass zwei unterschiedliche Initialisierungsfahrten existieren, die beide eine andere Nullposition aufweisen. Bei den Messungen und dem Wechseln der Magnete wurde ersichtlich, dass es nicht immer möglich ist, diese gleich auszurichten. Das kann zu einem verschobenen Messanfang führen, je nach Art der Verkipfung und Fehlstellung der Anfangsposition der Magnete. Bei den ersten Messungen über das Array ist aufgefallen, dass es zu Welligkeiten im Kurvenverlauf der Sensoren kommt. Dies hat vermutlich damit zu tun, dass entweder die Sättigung der betroffenen Sensoren nicht erreicht ist und somit ein Hysterese Effekt eintritt oder durch anderweitige Störeinflüsse vorhanden sind.

Bei den Messungen zur Inbetriebnahme des Sensor-Arrays wurden die Sensorelemente und deren Widerstandswerte genauer betrachtet. Dabei wurde ersichtlich, dass vermutlich eine interne Verkopplung der Sensorelemente über die Halbbrücken besteht. Darüber hinaus war zu sehen, dass es zu einer Häufung von hohen Widerstandswerten in der unteren rechten Ecke des Arrays kam. Höchstwahrscheinlich hängt es damit zusammen, dass beim Bestücken der Platine die Sensoren nicht durchgemischt wurden. So sind Sensoren aus derselben Produktionsreihe nebeneinandergesetzt worden.

Bei den Versuchsreihen zwischen dem TMR- und AMR-Sensor-Array konnten nicht genaue Vergleichsmessungen durchgeführt werden. Es fehlte an geeigneten Magneten, da das AMR-Sensor-Array ein stärkeres Magnetfeld benötigt als das TMR-Sensor-Array. Um vergleichbare Messungen zu erstellen, musste deutlich näher an das Sensor-Array herangefahren werden. Darüber hinaus war das Anfahren der Messpositionen des AMR-Arrays nicht exakt möglich, da es zu Kommunikationsunterbrechungen mit der Ansteuerung des Messplatzes kam. Dieser hat im Betrieb mit dem Array erhöhte Fehlermeldungen. Bei den Messungen mit dem Störfeld war die Größe des AMR-Arrays ein Hindernis. Die äußeren Messpunkte konnten nicht angesteuert werden, da sonst der Gebermagnet vom Halbachring durch seine Anziehungskraft festgehalten wurde. Aus diesem Grund musste beim AMR-Sensor-Array mit einem schwächeren Magneten gemessen werden.

Abschließende Zusammenfassung

Abschließend lässt sich zusammenfassen, dass das erstellte TMR-Sensor-Array den Erwartungen des ISAR-Projektes entspricht. Die Messwerte und die Funktionsprüfung ha-

ben bewiesen, dass die Funktionalität gegeben ist. Im Vergleich zum AMR-Sensor-Array hat das TMR-Sensor-Array weder Filterschaltungen noch Spannungsstabilisierung, jedoch ist die Funktionalität bei Störfeldeinfluss immer noch gegeben.

6.3 Ausblick

In Bezug auf das erstellte Sensor-Array, könnte erwägt werden, Verstärkerschaltungen sowie Filter für die Ausgangssignalspannungen einzubauen. Es sollten weitere Messungen erfolgen, beispielsweise die Messung der Hysterese, Verkippung des Gebermagneten oder des Sensor-Arrays. Die Halbachringe für das homogene Störfeld sollten im Durchmesser und in der Höhe vergrößert werden. Damit könnte das Problem der Anziehung des Gebermagneten und des damit einhergehenden Blockierens des Schrittmotors behoben werden. Durch Erhöhung des Ringes sollte die Einwirkung des Störfelds mittig auf das Sensor-Array und den Magneten wirken. Für weitere Messungen ist zu empfehlen, eine neue Universalhalterung für die Magneten zu erstellen, die einfach auszutauschen ist, ggf. über eine Steckverbindung. In diesem Zuge könnte damit auch die Ausrichtung des Magneten präzisiert werden, sodass es zu keiner Fehlstellung kommt. Ein weiteres Array, basierend auf dem TMR-Effekt mit den Sensoren der Firma TDK könnten neue Informationen liefern. Außerdem könnte ein ADC verbaut werden der alle Signale gleichzeitig auflösen kann.

Der Messplatz sollte überarbeitet werden, dabei sind die Verbindungen der Leitungen zu überprüfen und gegebenenfalls auszutauschen. Die Programmierung sollte überdacht und an die 360° angepasst werden. Da Langzeitmessungen von ca. drei Tagen nun möglich sind, sollte ein Konzept zur Verhinderung von Stromausfällen erdacht werden.

Das Programm zur Steuerung des Sensor-Arrays kann noch weiter optimiert werden. Auch der Gedanke zum Schalten der Halbbrücken sollte überdacht werden. Möglicherweise kann die Schaltung nur mit zwei unterschiedlichen Spannungsversorgungen und Masseleitungen betrieben werden.

Literatur

- [1] AAT00x *Ultralow Power TMR Angle Sensors*. NVE Corporation. Version: 02.0. Apr. 2017.
- [2] Viktor Airich. „Charakterisierung magnetoresistiver Sensor-Arrays mittels eines automatisierten Messsystem“. Bachelorarbeit. 2018.
- [3] Energia. *Guide to the TM4C129 Connected LaunchPad*. URL: http://energia.nu/pin-maps/guide_tm4c129launchpad/.
- [4] TEXAS INSTRUMENTS. *Tiva C Series TM4C1294 Connected LaunchPad Evaluation Kit*. <http://www.ti.com/lit/ug/spmu365c/spmu365c.pdf>; Zugriffsdatum: 19.06.2018. October 2016.
- [5] TEXAS INSTRUMENTS. *Tiva TM4C1294NCPDT Microcontroller*. <http://www.ti.com/lit/ds/spms433b/spms433b.pdf>; Zugriffsdatum: 19.06.2018. Juni 2014.
- [6] Michel Julliere. „Tunneling between ferromagnetic films“. In: *Physics letters A* 54.3 (1975), S. 225–226.
- [7] KMZ60. NXP B.V 2014. Rev. 2-7 February 2014. Feb. 2014.
- [8] Uwe Loreit. *Magnetoresistive Winkelsensoren für extreme Einsatzbedingungen*. Haus der Technik. <http://www.mr-sensor.de/Vortraege/99LK28Essen.pdf>; Zugriffsdatum: 19.06.2018. Februar 1999.
- [9] Jürgen Moser. „TMR-und TAMR-Effekt beim Tunneln durch einkristalline GaAs-Barrieren“. Diss. 2007.
- [10] Konrad Reif. „Sensoren im Kraftfahrzeug“. In: *Sensoren im Kraftfahrzeug*. Springer, 2010, S. 10–33.
- [11] Christian Schörmer. „Konstruktion und Automatisierung eines Radmessplatzes für ABS mit Encodern verschiedener Automobil-Hersteller“. Diplomarbeit. 2010.
- [12] ROLF SLATTER. „Tunnelmagnetoresistive Sensoren für die Antriebstechnik“. In: *ELEKTRONIKPRAXIS* 14 (2017), S. 28–30.
- [13] TDK. *Principle of angle sensor using TMR element*. URL: https://product.tdk.com/info/en/products/sensor/angle/tmr_angle/technote/tpo/index.html.
- [14] Thomas Tille. *Automobil-Sensorik - Ausgewählte Sensorprinzipien und deren automobile Anwendung*. Berlin Heidelberg New York: Springer-Verlag, 2016. ISBN: 978-3-662-48944-4.
- [15] Wikipedia. *Elektronenspin*. URL: <https://de.wikipedia.org/wiki/Elektronenspin>.
- [16] Wikipedia. *Fermi-Kante*. URL: <https://de.wikipedia.org/wiki/Fermi-Dirac-Statistik>.

Anhang

A PAP

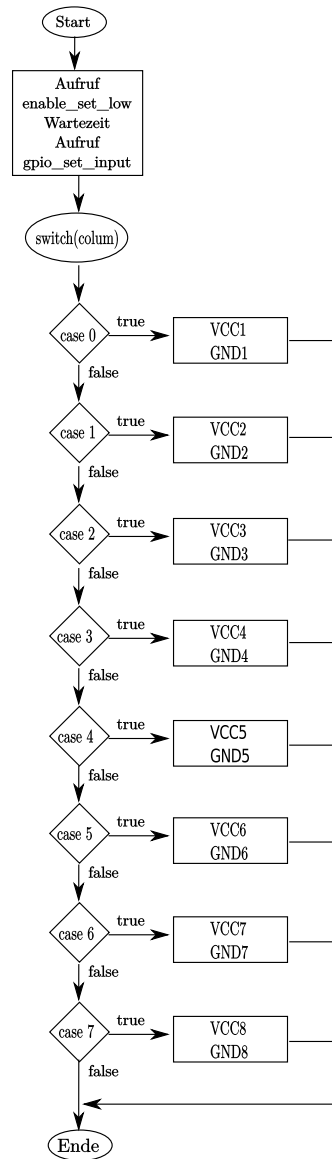


Abbildung A.1: Programmablaufplan: enable_set_high

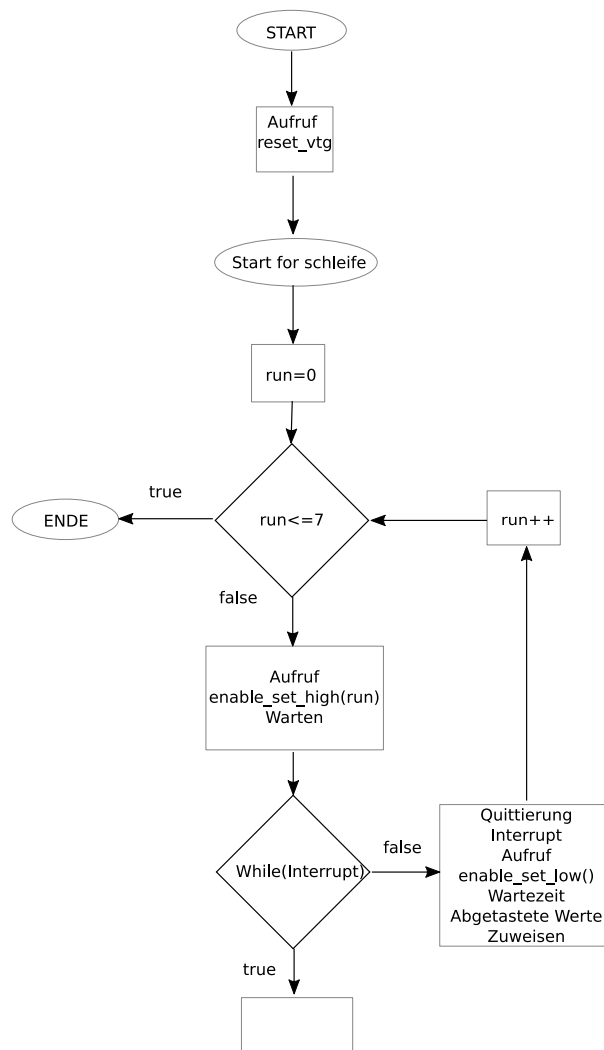


Abbildung A.2: Programmablaufplan: Get_Values

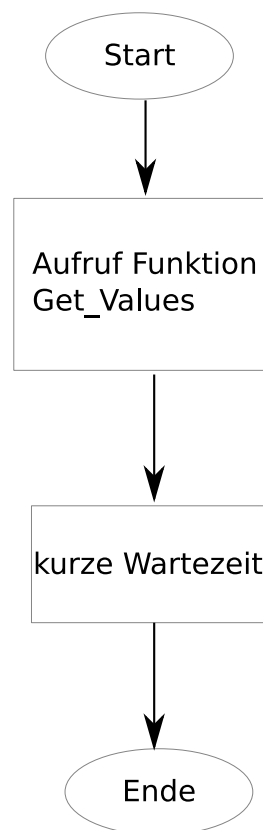


Abbildung A.3: Programmablaufplan: `Init_Systick_Interrupt_Handler`

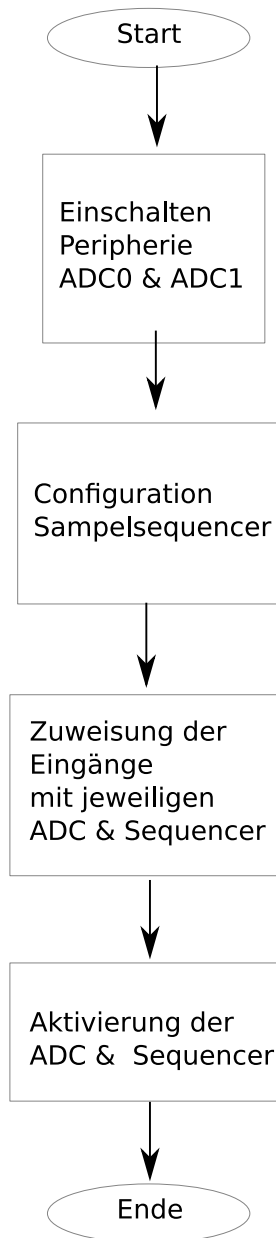


Abbildung A.4: Programmablaufplan: Init_ADC

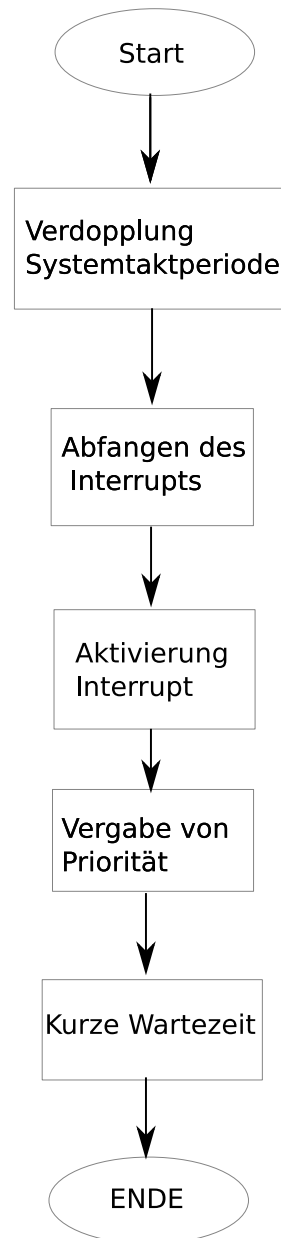


Abbildung A.5: Programmablaufplan: Init_Systick_Interrupt

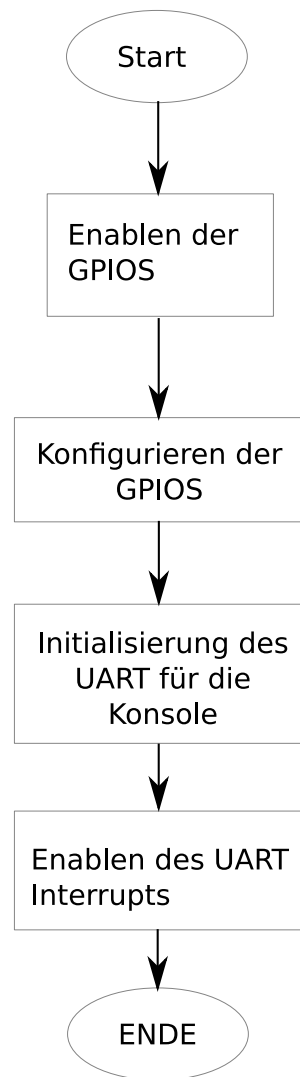


Abbildung A.6: Programmablaufplan: INIT_UART

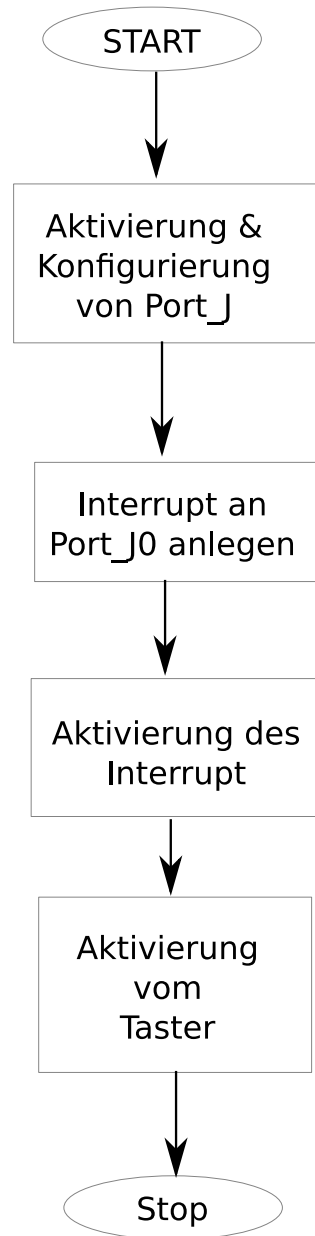


Abbildung A.7: Programmablaufplan: Interrupt_Port_J

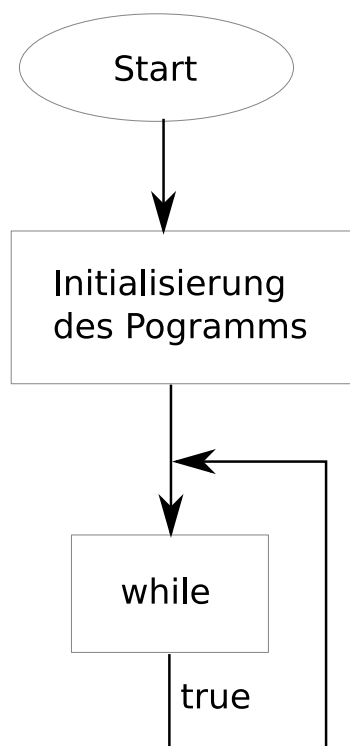


Abbildung A.8: Programmablaufplan: Main

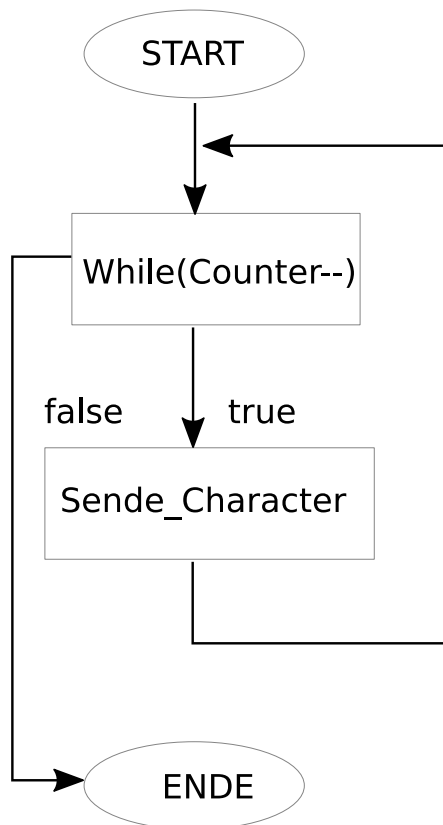


Abbildung A.9: Programmablaufplan: UART_SEND

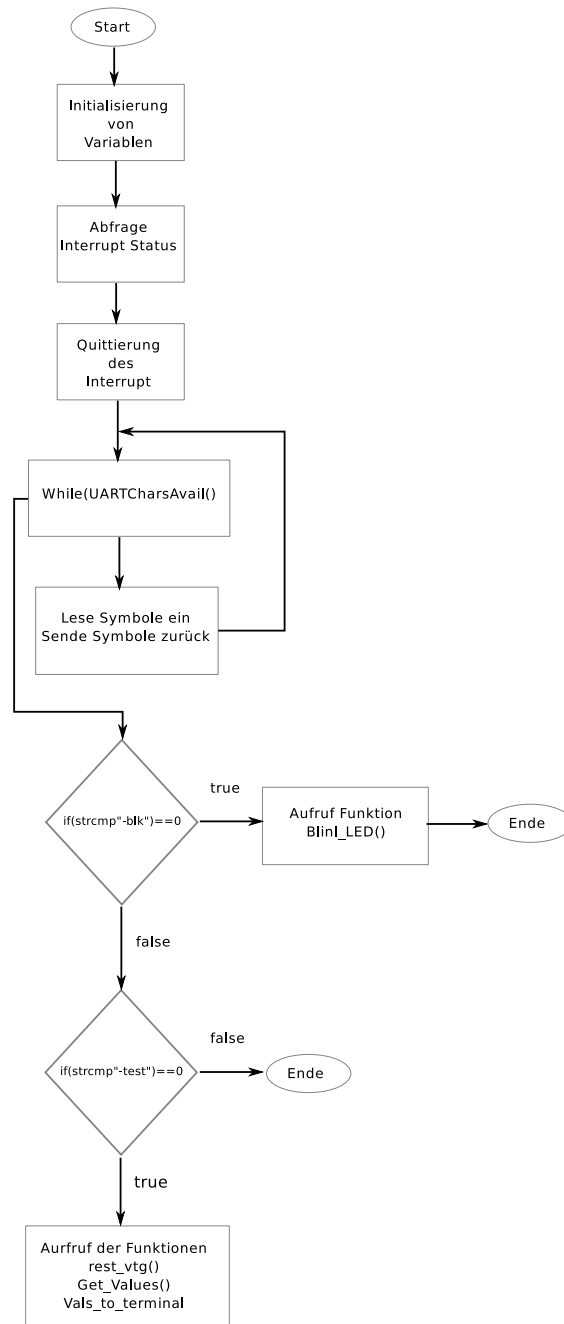


Abbildung A.10: Programmablaufplan: UARTIntHandler

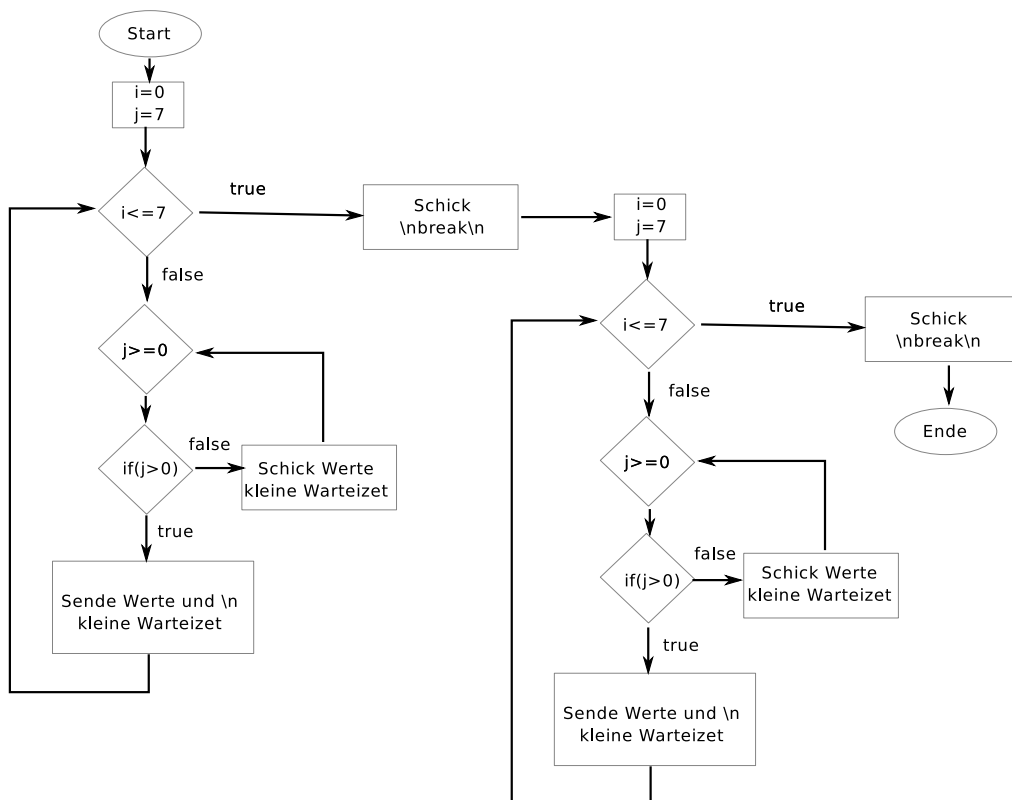


Abbildung A.11: Programmablaufplan: vals_to_terminal

B Technische Abbildungen

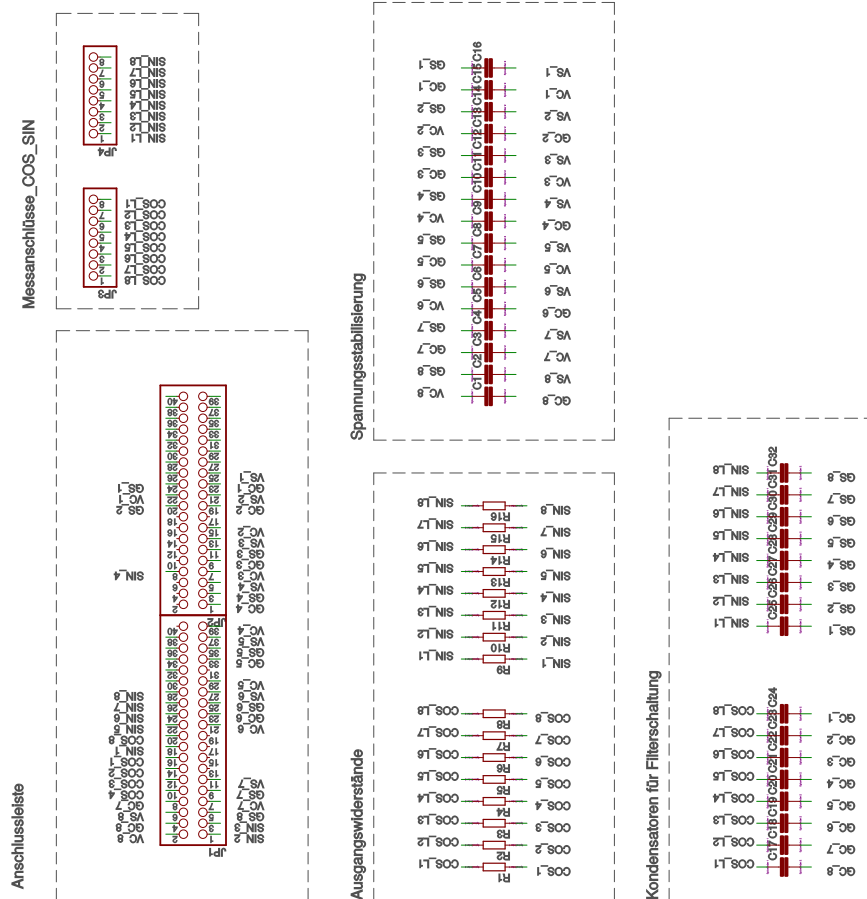


Abbildung B.1: Schematische Darstellung der Anschlüsse.

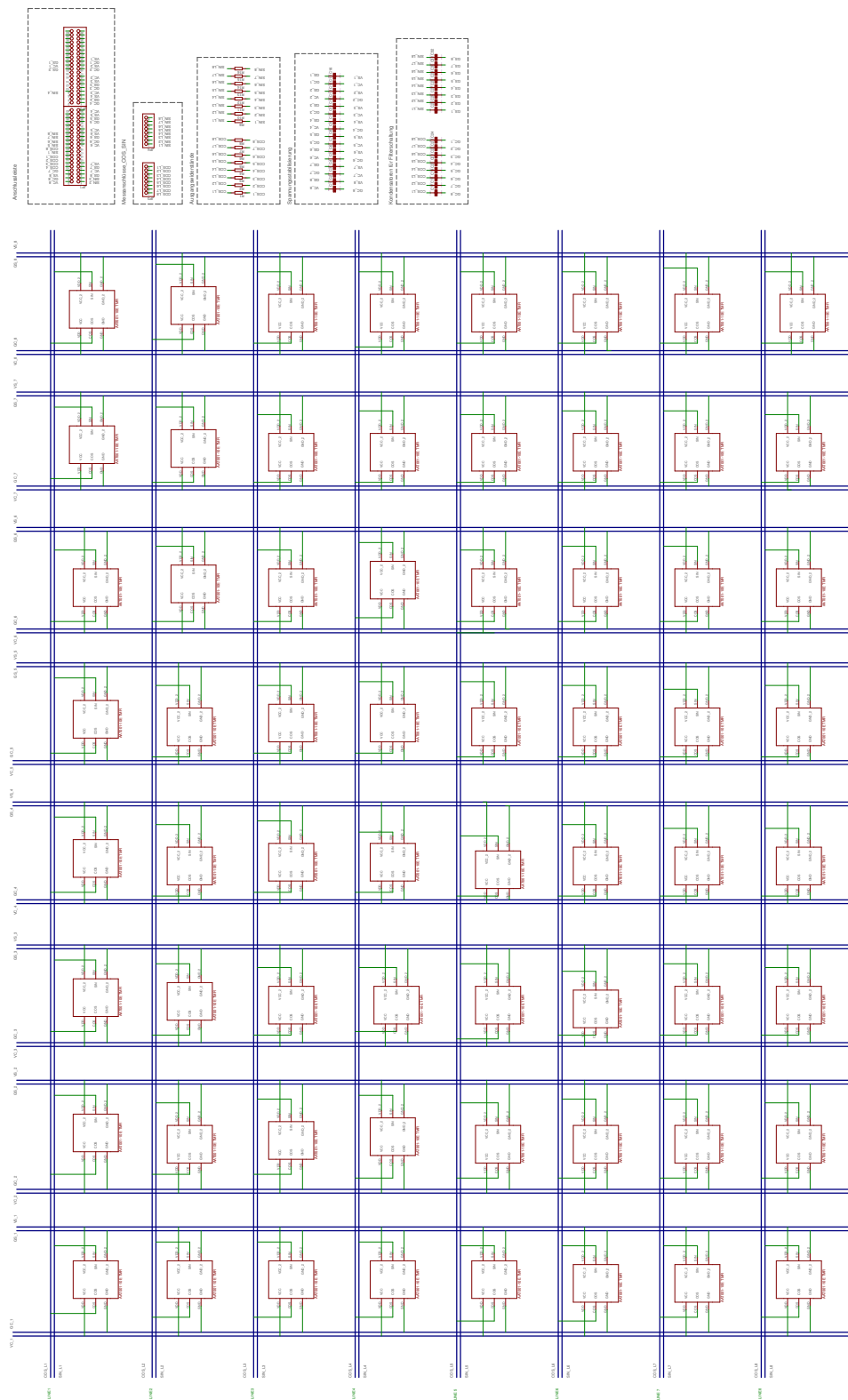


Abbildung B.2: Abbildung über die gesamte schematische Darstellung in EAGLE.

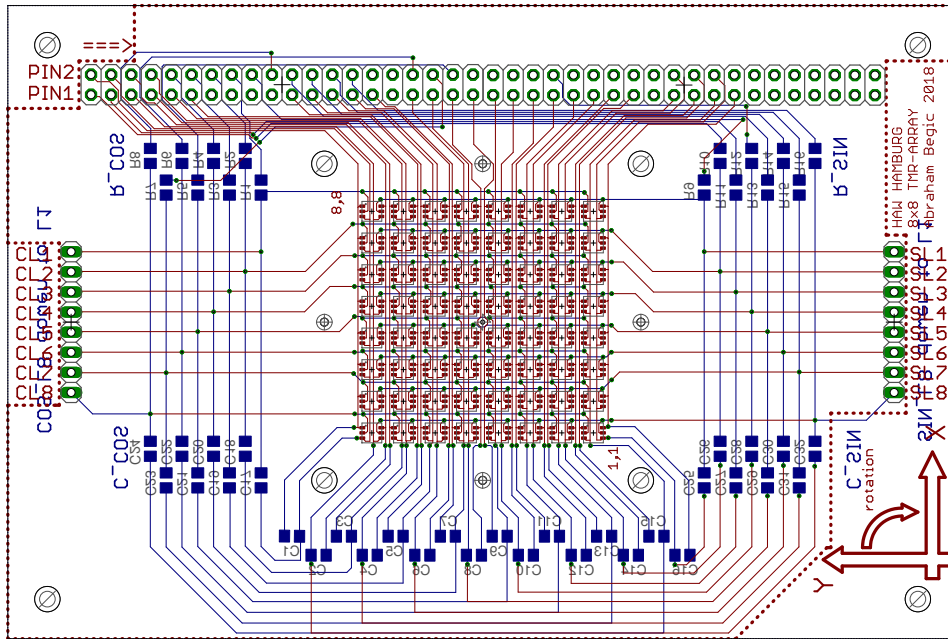


Abbildung B.3: Vollständiges Platinen-Layout.

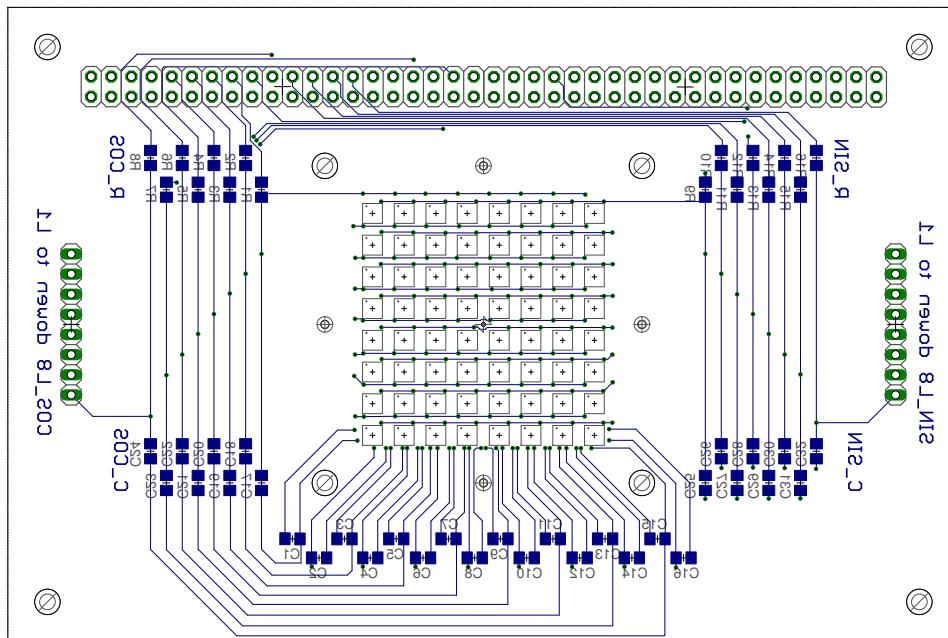


Abbildung B.4: Layout der Unterseite der Platine.

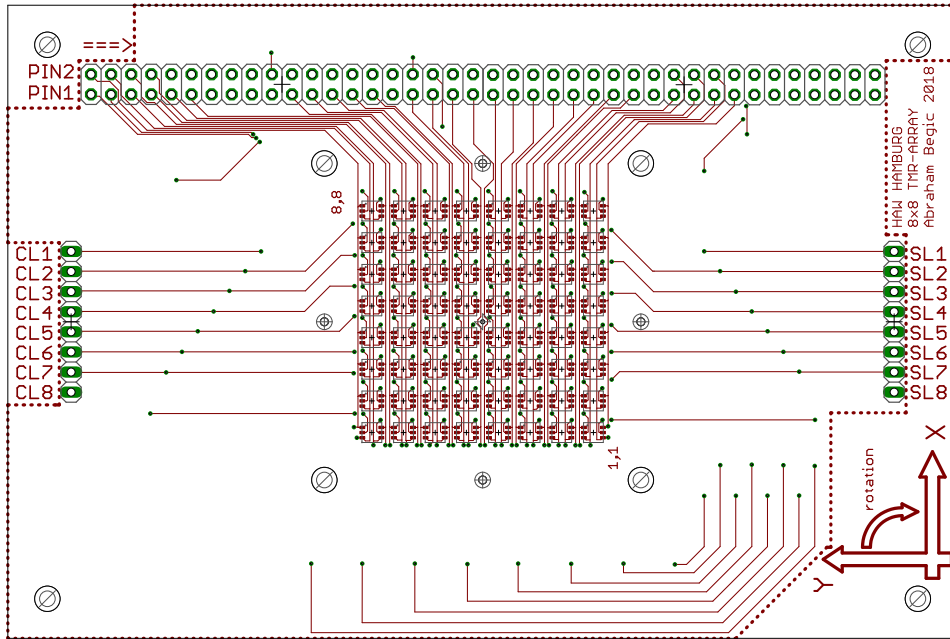


Abbildung B.5: Layout der Oberseite der Platine.

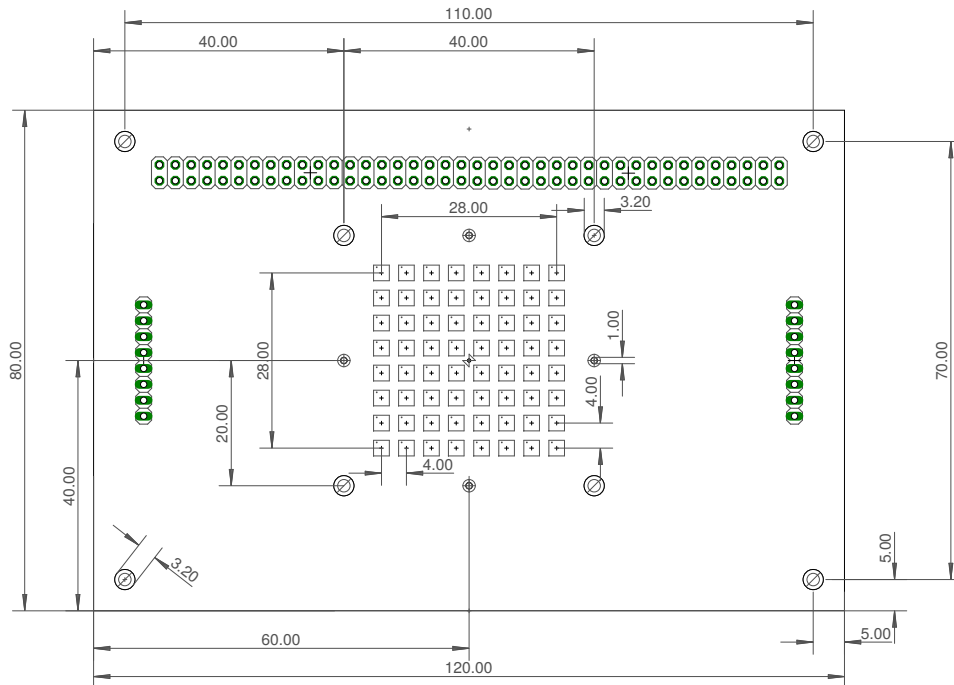


Abbildung B.6: Dimensionen und technische Daten der Platine.

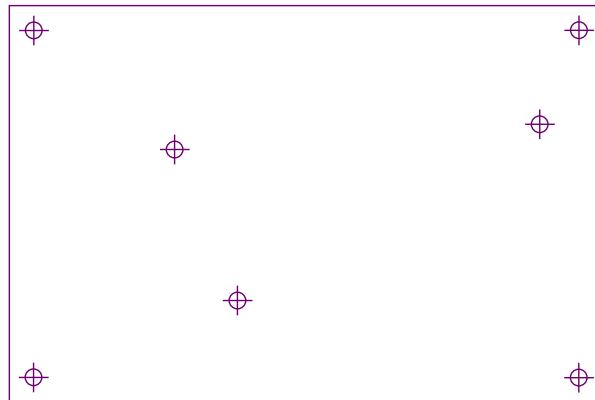


Abbildung B.7: Schablone für die Holzplatte.

C Quellcode

C.1 C-Quellcode

Quellcode C.1: include.h

```
2  /*
   * include.h
   *
   * Created on: 03.04.2018
   * Author: abegic
   */
8  #ifndef INCLUDE_H_
   #define INCLUDE_H_
10
12 #include <stdint.h>
14 #include <stdbool.h>
16 #include "stdlib.h"
18 #include "inc/hw_ints.h"
20 #include "inc/hw_memmap.h"
22 #include "inc/hw_uart.h"
24 #include "inc/hw_timer.h"
26 #include "inc/hw_gpio.h"
28 #include "inc/hw_pwm.h"
30 #include "inc/hw_types.h"
32 #include "driverlib/adc.h"
34 #include "driverlib/timer.h"
36 #include "driverlib/gpio.h"
38 #include "driverlib/timer.h"
40 #include "driverlib/interrupt.h"
42 #include "driverlib/pin_map.h"
44 #include "driverlib/rom.h"
46 #include "driverlib/rom_map.h"
48 #include "driverlib/sysctl.h"
   #include "driverlib/uart.h"
   #include "driverlib/udma.h"
   #include "driverlib/pwm.h"
   #include "driverlib/ssi.h"
   #include "driverlib/systick.h"
   #include "driverlib/adc.h"
   // #include "utils/uartstdio.h"
   // #include "utils/uartstdio.c"
   #include <string.h>
   #include "driverlib/fpu.h"
   #include "inc/hw_memmap.h"
   #include "driverlib/debug.h"
   #include "driverlib/adc.h"
   #include "inc/hw_gpio.h"
   #include "inc/hw_ints.h"
   #include "inc/hw_memmap.h"
   #include "inc/hw_sysctl.h"
   #include "math.h"
   #include "string.h"
   #include "stdio.h"
```

```
50 | #define PI 3.14159265
52 | #define VDD 3.3
   | #define NBITS 1
54 | #define AMOUNT_SENSORS 8
   | #define RAD_TO_ANGLE 57.29577950560105 // => 180.0 / PI
56 |
   | #define SIN_1 ADC_CTL_CH9
58 | #define SIN_2 ADC_CTL_CH10
   | #define SIN_3 ADC_CTL_CH11
60 | #define SIN_4 ADC_CTL_CH13
   | #define SIN_5 ADC_CTL_CH16
62 | #define SIN_6 ADC_CTL_CH17
   | #define SIN_7 ADC_CTL_CH18
64 | #define SIN_8 ADC_CTL_CH19
   |
   | #define COS_1 ADC_CTL_CH0
   | #define COS_2 ADC_CTL_CH1
68 | #define COS_3 ADC_CTL_CH2
   | #define COS_4 ADC_CTL_CH3
70 | #define COS_5 ADC_CTL_CH4
   | #define COS_6 ADC_CTL_CH6
72 | #define COS_7 ADC_CTL_CH7
   | #define COS_8 ADC_CTL_CH8
74 |
   | #define HIGH 0xFF
76 | #define LOW 0x00
   |
78 | // Arrays fuer die ADC-Werte
   | unsigned int ADC_Values_SS0[8];
80 | unsigned int ADC_Values_SS1[4];
   | unsigned int ADC_Values_SS2[4];
82 |
   | // Variable zum Auslesen des Systemtaktes
84 |
   | // Interne Variablen zur Kalibrierung des einzelnen Sensors
86 | //int Calibration_State = 0;
   | //int Set_State = 0;
88 |
   | // Zwischenspeicher fuer printf-Funktionen
90 | char buffer [100];
   |
92 | // entsprechende Sin- und Cos-Spannungen
   | double SINUS_Voltages[AMOUNT_SENSORS][AMOUNT_SENSORS];
94 | double COSINUS_Voltages[AMOUNT_SENSORS][AMOUNT_SENSORS];
   |
96 | #endif /* INCLUDE_H_ */
```

Quellcode C.2: init-prototyp.h

```
2  /*
   * init_prototyp.h
   *
   * Created on: 04.04.2018
   * Author: abegic
   */
8  #ifndef INIT_PROTOTYP_H_
   #define INIT_PROTOTYP_H_
10
12 void reset_vtg(void);
14 void UARTSend(const uint8_t *pui8Buffer, uint32_t ui32Count);
16 void Init_LED_GPIOs(void);
18 void enable_init_gpios(void);
20 void gpio_set_input(void);
22 void enable_set_low(void);
24 void Init_UART(uint32_t takt);
26 void Init_ADCs(void);
28 void Switch_LED_on(void);
30 void Switch_LED_off(void);
32 void enable_set_high(int column);
34 void Get_Values(void);
36 void vals_to_terminal(void);
38 void Blink_LED(void);
40 void UARTIntHandler(void);
42 void PortJIntHandler();
44 void SysTick_Interrupt_Handler(void);
46 void Init_GPIO_and_Interrupt_Port_J(void);
48 void Init_SysTick_Interrupt(uint32_t takt);
50
52 #endif /* INIT_PROTOTYP_H_ */
```

Quellcode C.3: main.c

```
2  /*
3  *
4  *
5  *
6  */
7  #include "include.h"
8  #include "init_prototyp.h"
9
10 int main(void) {
11
12     uint32_t sysClock = 0;
13
14     // set processor to 80 MHz (intern PLL with 320 MHz)
15     sysClock = SysCtlClockFreqSet( SYSCTL_OSC_INT |
16                                     SYSCTL_USE_PLL |
17                                     SYSCTL_CFG_VCO_320,
18                                     80000000-1);
19
20     IntMasterDisable(); // turn off master
21     Init_LED_GPIOs();
22     enable_init_gpios();
23     gpio_set_input();
24     Init_ADCs();
25     Init_SysTick_Interrupt(sysClock);
26     Init_GPIO_and_Interrupt_Port_J();
27     Init_UART(sysClock);
28     UARTSend((uint8_t *)"\n-Hello World", strlen("\n-Hello World"));
29
30     //enable_set_low();
31     IntMasterEnable(); // turn on master
32
33
34     while(1)
35     {
36     };
37 }
38 }
```

Quellcode C.4: Enable.c

```

2  /*
3  * Enable.c
4  * Created on: 24.03.2018
5  * Author: abegic
6  */
7
8  #include "include.h"
9
10 void Init_LED_GPIOs()
11 {
12     SysCtlPeripheralEnable(SYSCTL_PERIPH_GPION);
13     GPIOPinTypeGPIOOutput(GPIO_PORTN_BASE, GPIO_PIN_1);
14     GPIOPinTypeGPIOOutput(GPIO_PORTN_BASE, GPIO_PIN_0);
15
16     SysCtlPeripheralEnable(SYSCTL_PERIPH_GPIOF);
17     GPIOPinTypeGPIOOutput(GPIO_PORTF_BASE, GPIO_PIN_4);
18     GPIOPinTypeGPIOOutput(GPIO_PORTF_BASE, GPIO_PIN_0);
19 }
20
21 /*
22 * Initialize the gpios for the enable lines. All these lines
23 * need to be set to high after initialization
24 */
25 void enable_init_gpios(void)
26 {
27
28
29     SysCtlPeripheralEnable(SYSCTL_PERIPH_GPIOA);
30     GPIOPinTypeGPIOInput(GPIO_PORTA_BASE, GPIO_PIN_2); // VC_8
31     GPIOPinTypeGPIOInput(GPIO_PORTA_BASE, GPIO_PIN_3); // GC_8
32     GPIOPinTypeGPIOInput(GPIO_PORTA_BASE, GPIO_PIN_4); // VS_8
33     GPIOPinTypeGPIOInput(GPIO_PORTA_BASE, GPIO_PIN_5); // GC_7
34     GPIOPinTypeGPIOInput(GPIO_PORTA_BASE, GPIO_PIN_6); // VC_6
35     GPIOPinTypeGPIOInput(GPIO_PORTA_BASE, GPIO_PIN_7); // GC_6
36
37     GPIOPadConfigSet(GPIO_PORTA_BASE, GPIO_PIN_2, GPIO_STRENGTH_2MA, // VC_8
38                     GPIO_PIN_TYPE_STD_WPU);
39     GPIOPadConfigSet(GPIO_PORTA_BASE, GPIO_PIN_3, GPIO_STRENGTH_2MA, // GC_8
40                     GPIO_PIN_TYPE_STD_WPU);
41     GPIOPadConfigSet(GPIO_PORTA_BASE, GPIO_PIN_4, GPIO_STRENGTH_2MA, // VS_8
42                     GPIO_PIN_TYPE_STD_WPU);
43     GPIOPadConfigSet(GPIO_PORTA_BASE, GPIO_PIN_5, GPIO_STRENGTH_2MA, // GC_7
44                     GPIO_PIN_TYPE_STD_WPU);
45     GPIOPadConfigSet(GPIO_PORTA_BASE, GPIO_PIN_6, GPIO_STRENGTH_2MA, // VC_6
46                     GPIO_PIN_TYPE_STD_WPU);
47     GPIOPadConfigSet(GPIO_PORTA_BASE, GPIO_PIN_7, GPIO_STRENGTH_2MA, // GC_6
48                     GPIO_PIN_TYPE_STD_WPU);
49
50     SysCtlPeripheralEnable(SYSCTL_PERIPH_GPIOB);
51     GPIOPinTypeGPIOInput(GPIO_PORTB_BASE, GPIO_PIN_2); // GC_1
52     GPIOPinTypeGPIOInput(GPIO_PORTB_BASE, GPIO_PIN_3); // VS_1
53
54     GPIOPadConfigSet(GPIO_PORTB_BASE, GPIO_PIN_2, GPIO_STRENGTH_2MA, // GC_1
55                     GPIO_PIN_TYPE_STD_WPU);
56     GPIOPadConfigSet(GPIO_PORTB_BASE, GPIO_PIN_3, GPIO_STRENGTH_2MA, // VS_1
57                     GPIO_PIN_TYPE_STD_WPU);
58
59
60
61
62

```

```

64     SysCtlPeripheralEnable(SYSCTL_PERIPH_GPIOF);
        GPIOPinTypeGPIOInput(GPIO_PORTF_BASE, GPIO_PIN_0);           // VC_1
66     GPIOPinTypeGPIOInput(GPIO_PORTF_BASE, GPIO_PIN_1);           // GS_1
        GPIOPinTypeGPIOInput(GPIO_PORTF_BASE, GPIO_PIN_4);           // GS_2
68
        GPIOPadConfigSet(GPIO_PORTF_BASE, GPIO_PIN_0, GPIO_STRENGTH_2MA,
70                        GPIO_PIN_TYPE_STD_WPU);                     // VC_1
        GPIOPadConfigSet(GPIO_PORTF_BASE, GPIO_PIN_1, GPIO_STRENGTH_2MA,
72                        GPIO_PIN_TYPE_STD_WPU);                     // GS_1
        GPIOPadConfigSet(GPIO_PORTF_BASE, GPIO_PIN_4, GPIO_STRENGTH_2MA,
74                        GPIO_PIN_TYPE_STD_WPU);                     // GS_1
76
        SysCtlPeripheralEnable(SYSCTL_PERIPH_GPIOG);
78     GPIOPinTypeGPIOInput(GPIO_PORTG_BASE, GPIO_PIN_0);           // VS_6
        GPIOPinTypeGPIOInput(GPIO_PORTG_BASE, GPIO_PIN_1);           // GS_6
80
82     GPIOPadConfigSet(GPIO_PORTG_BASE, GPIO_PIN_0, GPIO_STRENGTH_2MA,
                        GPIO_PIN_TYPE_STD_WPU);                     // VS_6
84     GPIOPadConfigSet(GPIO_PORTG_BASE, GPIO_PIN_1, GPIO_STRENGTH_2MA,
                        GPIO_PIN_TYPE_STD_WPU);                     // GS_6
86
88     SysCtlPeripheralEnable(SYSCTL_PERIPH_GPIOH);
        GPIOPinTypeGPIOInput(GPIO_PORTH_BASE, GPIO_PIN_0);           // GS_8
90     GPIOPinTypeGPIOInput(GPIO_PORTH_BASE, GPIO_PIN_1);           // VC_7
        GPIOPinTypeGPIOInput(GPIO_PORTH_BASE, GPIO_PIN_2);           // GS_7
92     GPIOPinTypeGPIOInput(GPIO_PORTH_BASE, GPIO_PIN_3);           // VS_7
94
        GPIOPadConfigSet(GPIO_PORTH_BASE, GPIO_PIN_0, GPIO_STRENGTH_2MA,
                        GPIO_PIN_TYPE_STD_WPU);                     // GS_8
96     GPIOPadConfigSet(GPIO_PORTH_BASE, GPIO_PIN_1, GPIO_STRENGTH_2MA,
                        GPIO_PIN_TYPE_STD_WPU);                     // VC_7
98     GPIOPadConfigSet(GPIO_PORTH_BASE, GPIO_PIN_2, GPIO_STRENGTH_2MA,
                        GPIO_PIN_TYPE_STD_WPU);                     // GS_7
100    GPIOPadConfigSet(GPIO_PORTH_BASE, GPIO_PIN_3, GPIO_STRENGTH_2MA,
                        GPIO_PIN_TYPE_STD_WPU);                     // VS_7
102
        SysCtlPeripheralEnable(SYSCTL_PERIPH_GPIOK);
104    GPIOPinTypeGPIOInput(GPIO_PORTK_BASE, GPIO_PIN_6);           // GC_2
        GPIOPinTypeGPIOInput(GPIO_PORTK_BASE, GPIO_PIN_7);           // VC_2
106
        GPIOPadConfigSet(GPIO_PORTK_BASE, GPIO_PIN_6, GPIO_STRENGTH_2MA,
                        GPIO_PIN_TYPE_STD_WPU);                     // GC_2
108    GPIOPadConfigSet(GPIO_PORTK_BASE, GPIO_PIN_7, GPIO_STRENGTH_2MA,
                        GPIO_PIN_TYPE_STD_WPU);                     // VC_2
110
112
114    SysCtlPeripheralEnable(SYSCTL_PERIPH_GPIOL);
        GPIOPinTypeGPIOInput(GPIO_PORTL_BASE, GPIO_PIN_0);           // VC_4
116    GPIOPinTypeGPIOInput(GPIO_PORTL_BASE, GPIO_PIN_1);           // GC_4
        GPIOPinTypeGPIOInput(GPIO_PORTL_BASE, GPIO_PIN_2);           // GS_4
118    GPIOPinTypeGPIOInput(GPIO_PORTL_BASE, GPIO_PIN_3);           // VS_4
        GPIOPinTypeGPIOInput(GPIO_PORTL_BASE, GPIO_PIN_4);           // VS_2
120
        GPIOPadConfigSet(GPIO_PORTL_BASE, GPIO_PIN_0, GPIO_STRENGTH_2MA,
                        GPIO_PIN_TYPE_STD_WPU);                     // VC_4
122    GPIOPadConfigSet(GPIO_PORTL_BASE, GPIO_PIN_1, GPIO_STRENGTH_2MA,
                        GPIO_PIN_TYPE_STD_WPU);                     // GC_4
124    GPIOPadConfigSet(GPIO_PORTL_BASE, GPIO_PIN_2, GPIO_STRENGTH_2MA,
                        GPIO_PIN_TYPE_STD_WPU);                     // GS_4
126    GPIOPadConfigSet(GPIO_PORTL_BASE, GPIO_PIN_3, GPIO_STRENGTH_2MA,
                        GPIO_PIN_TYPE_STD_WPU);                     // VS_4
128    GPIOPadConfigSet(GPIO_PORTL_BASE, GPIO_PIN_4, GPIO_STRENGTH_2MA,
                        GPIO_PIN_TYPE_STD_WPU);                     // VS_4

```

```

130     GPIOPadConfigSet(GPIO_PORTL_BASE, GPIO_PIN_4, GPIO_STRENGTH_2MA,
131                     GPIO_PIN_TYPE_STD_WPU); // VS_2
132
133     SysCtlPeripheralEnable(SYSCTL_PERIPH_GPIOM);
134     GPIOPinTypeGPIOInput(GPIO_PORTM_BASE, GPIO_PIN_0); // VS_5
135     GPIOPinTypeGPIOInput(GPIO_PORTM_BASE, GPIO_PIN_1); // GS_5
136     GPIOPinTypeGPIOInput(GPIO_PORTM_BASE, GPIO_PIN_2); // GC_5
137     GPIOPinTypeGPIOInput(GPIO_PORTM_BASE, GPIO_PIN_3); // VC_5
138
139     GPIOPadConfigSet(GPIO_PORTM_BASE, GPIO_PIN_0, GPIO_STRENGTH_2MA,
140                     GPIO_PIN_TYPE_STD_WPU); // VS_5
141     GPIOPadConfigSet(GPIO_PORTM_BASE, GPIO_PIN_1, GPIO_STRENGTH_2MA,
142                     GPIO_PIN_TYPE_STD_WPU); // GS_5
143     GPIOPadConfigSet(GPIO_PORTM_BASE, GPIO_PIN_2, GPIO_STRENGTH_2MA,
144                     GPIO_PIN_TYPE_STD_WPU); // GC_5
145     GPIOPadConfigSet(GPIO_PORTM_BASE, GPIO_PIN_3, GPIO_STRENGTH_2MA,
146                     GPIO_PIN_TYPE_STD_WPU); // VC_5
147
148     SysCtlPeripheralEnable(SYSCTL_PERIPH_GPIOQ);
149     GPIOPinTypeGPIOInput(GPIO_PORTQ_BASE, GPIO_PIN_0); // VC_3
150     GPIOPinTypeGPIOInput(GPIO_PORTQ_BASE, GPIO_PIN_1); // GC_3
151     GPIOPinTypeGPIOInput(GPIO_PORTQ_BASE, GPIO_PIN_2); // GS_3
152     GPIOPinTypeGPIOInput(GPIO_PORTQ_BASE, GPIO_PIN_3); // VS_3
153
154     GPIOPadConfigSet(GPIO_PORTQ_BASE, GPIO_PIN_0, GPIO_STRENGTH_2MA,
155                     GPIO_PIN_TYPE_STD_WPU); // VC_3
156     GPIOPadConfigSet(GPIO_PORTQ_BASE, GPIO_PIN_1, GPIO_STRENGTH_2MA,
157                     GPIO_PIN_TYPE_STD_WPU); // GC_3
158     GPIOPadConfigSet(GPIO_PORTQ_BASE, GPIO_PIN_2, GPIO_STRENGTH_2MA,
159                     GPIO_PIN_TYPE_STD_WPU); // GS_3
160     GPIOPadConfigSet(GPIO_PORTQ_BASE, GPIO_PIN_3, GPIO_STRENGTH_2MA,
161                     GPIO_PIN_TYPE_STD_WPU); // VS_3
162
163 }
164
165 /*
166  * Initialize the gpios for the enable lines.
167  */
168 void gpio_set_input(void)
169 {
170     GPIOPinTypeGPIOInput(GPIO_PORTA_BASE, GPIO_PIN_2); // VC_8
171     GPIOPinTypeGPIOInput(GPIO_PORTA_BASE, GPIO_PIN_3); // GC_8
172     GPIOPinTypeGPIOInput(GPIO_PORTA_BASE, GPIO_PIN_4); // VS_8
173     GPIOPinTypeGPIOInput(GPIO_PORTA_BASE, GPIO_PIN_5); // GC_7
174     GPIOPinTypeGPIOInput(GPIO_PORTA_BASE, GPIO_PIN_6); // VC_6
175     GPIOPinTypeGPIOInput(GPIO_PORTA_BASE, GPIO_PIN_7); // GC_6
176
177
178     GPIOPinTypeGPIOInput(GPIO_PORTB_BASE, GPIO_PIN_2); // GC_1
179     GPIOPinTypeGPIOInput(GPIO_PORTB_BASE, GPIO_PIN_3); // VS_1
180
181     GPIOPinTypeGPIOInput(GPIO_PORTF_BASE, GPIO_PIN_0); // VC_1
182     GPIOPinTypeGPIOInput(GPIO_PORTF_BASE, GPIO_PIN_1); // GS_1
183     GPIOPinTypeGPIOInput(GPIO_PORTF_BASE, GPIO_PIN_4); // GS_2
184
185     GPIOPinTypeGPIOInput(GPIO_PORTG_BASE, GPIO_PIN_0); // VS_6
186     GPIOPinTypeGPIOInput(GPIO_PORTG_BASE, GPIO_PIN_1); // GS_6
187
188     GPIOPinTypeGPIOInput(GPIO_PORTH_BASE, GPIO_PIN_0); // GS_8
189     GPIOPinTypeGPIOInput(GPIO_PORTH_BASE, GPIO_PIN_1); // VC_7
190     GPIOPinTypeGPIOInput(GPIO_PORTH_BASE, GPIO_PIN_2); // GS_7
191     GPIOPinTypeGPIOInput(GPIO_PORTH_BASE, GPIO_PIN_3); // VS_7
192
193     GPIOPinTypeGPIOInput(GPIO_PORTK_BASE, GPIO_PIN_6); // GC_2

```



```
194     GPIOPinTypeGPIOInput(GPIO_PORTK_BASE, GPIO_PIN_7);           // VC_2
196
198     GPIOPinTypeGPIOInput(GPIO_PORTL_BASE, GPIO_PIN_0);           // VC_4
198     GPIOPinTypeGPIOInput(GPIO_PORTL_BASE, GPIO_PIN_1);           // GC_4
198     GPIOPinTypeGPIOInput(GPIO_PORTL_BASE, GPIO_PIN_2);           // GS_4
200     GPIOPinTypeGPIOInput(GPIO_PORTL_BASE, GPIO_PIN_3);           // VS_4
200     GPIOPinTypeGPIOInput(GPIO_PORTL_BASE, GPIO_PIN_4);           // VS_2
202
204     GPIOPinTypeGPIOInput(GPIO_PORTM_BASE, GPIO_PIN_0);           // VS_5
204     GPIOPinTypeGPIOInput(GPIO_PORTM_BASE, GPIO_PIN_1);           // GS_5
206     GPIOPinTypeGPIOInput(GPIO_PORTM_BASE, GPIO_PIN_2);           // GC_5
206     GPIOPinTypeGPIOInput(GPIO_PORTM_BASE, GPIO_PIN_3);           // VC_5
208
210     GPIOPinTypeGPIOInput(GPIO_PORTQ_BASE, GPIO_PIN_0);           // VC_3
210     GPIOPinTypeGPIOInput(GPIO_PORTQ_BASE, GPIO_PIN_1);           // GC_3
212     GPIOPinTypeGPIOInput(GPIO_PORTQ_BASE, GPIO_PIN_2);           // GS_3
212     GPIOPinTypeGPIOInput(GPIO_PORTQ_BASE, GPIO_PIN_3);           // VS_3
214
216 }
218
220 void enable_set_low(void)
220 {
222     GPIOPinTypeGPIOOutput(GPIO_PORTF_BASE, GPIO_PIN_0);           // VC_1
222     GPIOPinTypeGPIOOutput(GPIO_PORTB_BASE, GPIO_PIN_3);           // VS_1
224     GPIOPinWrite(GPIO_PORTF_BASE, GPIO_PIN_0,LOW);
224     GPIOPinWrite(GPIO_PORTB_BASE, GPIO_PIN_3,LOW);
226
226     GPIOPinTypeGPIOOutput(GPIO_PORTB_BASE, GPIO_PIN_2);           // GC_1
226     GPIOPinTypeGPIOOutput(GPIO_PORTF_BASE, GPIO_PIN_1);           // GS_1
228     GPIOPinWrite(GPIO_PORTB_BASE, GPIO_PIN_2,LOW);
228     GPIOPinWrite(GPIO_PORTF_BASE, GPIO_PIN_1,LOW);
230
232     GPIOPinTypeGPIOOutput(GPIO_PORTK_BASE, GPIO_PIN_7);           // VC_2
232     GPIOPinTypeGPIOOutput(GPIO_PORTL_BASE, GPIO_PIN_4);           // VS_2
234     GPIOPinWrite(GPIO_PORTK_BASE, GPIO_PIN_7,LOW);
234     GPIOPinWrite(GPIO_PORTL_BASE, GPIO_PIN_4,LOW);
236
238     GPIOPinTypeGPIOOutput(GPIO_PORTK_BASE, GPIO_PIN_6);           // GC_2
238     GPIOPinTypeGPIOOutput(GPIO_PORTF_BASE, GPIO_PIN_4);           // GS_2
240     GPIOPinWrite(GPIO_PORTK_BASE, GPIO_PIN_6,LOW);
240     GPIOPinWrite(GPIO_PORTF_BASE, GPIO_PIN_4,LOW);
242
244     GPIOPinTypeGPIOOutput(GPIO_PORTQ_BASE, GPIO_PIN_0);           // VC_3
244     GPIOPinTypeGPIOOutput(GPIO_PORTQ_BASE, GPIO_PIN_3);           // VS_3
246     GPIOPinWrite(GPIO_PORTQ_BASE, GPIO_PIN_0,LOW);
246     GPIOPinWrite(GPIO_PORTQ_BASE, GPIO_PIN_3,LOW);
248
250     GPIOPinTypeGPIOOutput(GPIO_PORTQ_BASE, GPIO_PIN_1);           // GC_3
250     GPIOPinTypeGPIOOutput(GPIO_PORTQ_BASE, GPIO_PIN_2);           // GS_3
252     GPIOPinWrite(GPIO_PORTQ_BASE, GPIO_PIN_1,LOW);
252     GPIOPinWrite(GPIO_PORTQ_BASE, GPIO_PIN_2,LOW);
254
256     GPIOPinTypeGPIOOutput(GPIO_PORTL_BASE, GPIO_PIN_0);           // VC_4
256     GPIOPinTypeGPIOOutput(GPIO_PORTL_BASE, GPIO_PIN_3);           // VS_4
258     GPIOPinWrite(GPIO_PORTL_BASE, GPIO_PIN_0,LOW);
258     GPIOPinWrite(GPIO_PORTL_BASE, GPIO_PIN_3,LOW);
```

```
260     GPIOPinTypeGPIOOutput(GPIO_PORTL_BASE, GPIO_PIN_1);           // GC_4
261     GPIOPinTypeGPIOOutput(GPIO_PORTL_BASE, GPIO_PIN_2);           // GS_4
262     GPIOPinWrite(GPIO_PORTL_BASE, GPIO_PIN_1,LOW);
263     GPIOPinWrite(GPIO_PORTL_BASE, GPIO_PIN_2,LOW);
264
265
266
267
268
269     GPIOPinTypeGPIOOutput(GPIO_PORTM_BASE, GPIO_PIN_3);           // VC_5
270     GPIOPinTypeGPIOOutput(GPIO_PORTM_BASE, GPIO_PIN_0);           // VS_5
271     GPIOPinWrite(GPIO_PORTM_BASE, GPIO_PIN_3,LOW);
272     GPIOPinWrite(GPIO_PORTM_BASE, GPIO_PIN_0,LOW);
273
274
275     GPIOPinTypeGPIOOutput(GPIO_PORTM_BASE, GPIO_PIN_1);           // GS_5
276     GPIOPinTypeGPIOOutput(GPIO_PORTM_BASE, GPIO_PIN_2);           // GC_5
277     GPIOPinWrite(GPIO_PORTM_BASE, GPIO_PIN_1,LOW);
278     GPIOPinWrite(GPIO_PORTM_BASE, GPIO_PIN_2,LOW);
279
280
281     GPIOPinTypeGPIOOutput(GPIO_PORTA_BASE, GPIO_PIN_6);           // VC_6
282     GPIOPinTypeGPIOOutput(GPIO_PORTG_BASE, GPIO_PIN_0);           // VS_6
283     GPIOPinWrite(GPIO_PORTA_BASE, GPIO_PIN_6,LOW);
284     GPIOPinWrite(GPIO_PORTG_BASE, GPIO_PIN_0,LOW);
285
286
287     GPIOPinTypeGPIOOutput(GPIO_PORTA_BASE, GPIO_PIN_7);           // GC_6
288     GPIOPinTypeGPIOOutput(GPIO_PORTG_BASE, GPIO_PIN_1);           // GS_6
289     GPIOPinWrite(GPIO_PORTA_BASE, GPIO_PIN_7,LOW);
290     GPIOPinWrite(GPIO_PORTG_BASE, GPIO_PIN_1,LOW);
291
292
293     GPIOPinTypeGPIOOutput(GPIO_PORTH_BASE, GPIO_PIN_1);           // VC_7
294     GPIOPinTypeGPIOOutput(GPIO_PORTH_BASE, GPIO_PIN_3);           // VS_7
295     GPIOPinWrite(GPIO_PORTH_BASE, GPIO_PIN_1,LOW);
296     GPIOPinWrite(GPIO_PORTH_BASE, GPIO_PIN_3,LOW);
297
298
299
300
301     GPIOPinTypeGPIOOutput(GPIO_PORTA_BASE, GPIO_PIN_5);           // GC_7
302     GPIOPinTypeGPIOOutput(GPIO_PORTH_BASE, GPIO_PIN_2);           // GS_7
303     GPIOPinWrite(GPIO_PORTA_BASE, GPIO_PIN_5,LOW);
304     GPIOPinWrite(GPIO_PORTH_BASE, GPIO_PIN_2,LOW);
305
306
307
308     GPIOPinTypeGPIOOutput(GPIO_PORTA_BASE, GPIO_PIN_3);           // GC_8
309     GPIOPinTypeGPIOOutput(GPIO_PORTH_BASE, GPIO_PIN_0);           // GS_8
310     GPIOPinWrite(GPIO_PORTA_BASE, GPIO_PIN_3,LOW);
311     GPIOPinWrite(GPIO_PORTH_BASE, GPIO_PIN_0,LOW);
312 }
```

Quellcode C.5: init-ADC.c

```
2  /*
3  * Init_ADCs.c
4  *
5  * Created on: 04.04.2018
6  * Author: abegic
7  */
8  #include "include.h"
9
10 void Init_ADCs(void)
11 {
12     // ADC0-Peripherie Einschalten (SIN-Signale)
13     SysCtlPeripheralEnable(SYSCTL_PERIPH_ADC0);
14     // ADC1-Peripherie Einschalten (COS-Signale)
15     SysCtlPeripheralEnable(SYSCTL_PERIPH_ADC1);
16
17     // Sample Sequencer 0 fuer ADC0, hoechste Prio
18     ADCSequenceConfigure(ADC0_BASE, 0, ADC_TRIGGER_PROCESSOR, 0);
19     // Sample Sequencer 1 fuer ADC1, zweithoechste Prio
20     ADCSequenceConfigure(ADC1_BASE, 1, ADC_TRIGGER_PROCESSOR, 1);
21     // Sample Sequencer 2 fuer ADC1, dritthoechste Prio
22     ADCSequenceConfigure(ADC1_BASE, 2, ADC_TRIGGER_PROCESSOR, 2);
23
24     // Verknuepfung der Eingaenge mit dem ADC (+ Sample Sequenzer)
25     // Verknuepfung mit dem Sample Sequenzer 0
26     ADCSequenceStepConfigure(ADC0_BASE, 0, 0, SIN_1);
27     ADCSequenceStepConfigure(ADC0_BASE, 0, 1, SIN_2);
28     ADCSequenceStepConfigure(ADC0_BASE, 0, 2, SIN_3);
29     ADCSequenceStepConfigure(ADC0_BASE, 0, 3, SIN_4);
30     ADCSequenceStepConfigure(ADC0_BASE, 0, 4, SIN_5);
31     ADCSequenceStepConfigure(ADC0_BASE, 0, 5, SIN_6);
32     ADCSequenceStepConfigure(ADC0_BASE, 0, 6, SIN_7);
33     ADCSequenceStepConfigure(ADC0_BASE, 0, 7, SIN_8);
34
35     // Verknuepfung mit dem Sample Sequenzer 1
36     ADCSequenceStepConfigure(ADC1_BASE, 1, 0, COS_1);
37     ADCSequenceStepConfigure(ADC1_BASE, 1, 1, COS_2);
38     ADCSequenceStepConfigure(ADC1_BASE, 1, 2, COS_3);
39     ADCSequenceStepConfigure(ADC1_BASE, 1, 3, COS_4);
40
41     // Verknuepfung mit dem Sample Sequenzer 2
42     ADCSequenceStepConfigure(ADC1_BASE, 2, 0, COS_5);
43     ADCSequenceStepConfigure(ADC1_BASE, 2, 1, COS_6);
44     ADCSequenceStepConfigure(ADC1_BASE, 2, 2, COS_7);
45
46     ADCSequenceStepConfigure(ADC1_BASE, 2, 3, COS_8 | ADC_CTL_IE | ADC_CTL_END);
47     // Definition der letzten Abtastung inkl. Interrupt Erzeugung
48
49     // Hardwareoversampling einschalten (64-fach)
50     //ADCHardwareOversampleConfigure(ADC0_BASE,64);
51     //ADCHardwareOversampleConfigure(ADC1_BASE,64);
52
53     // ADCs mit den Sample Sequenzern aktivieren
54     ADCSequenceEnable(ADC0_BASE, 0); // ADC0 for sample sequenzer 0
55     ADCSequenceEnable(ADC1_BASE, 1); // ADC1 for sample sequenzer 1
56     ADCSequenceEnable(ADC1_BASE, 2); // ADC1 for sample sequenzer 2
57 }
58
```

Quellcode C.6: enable-set-high.c

```

2  /*
3  * enable_set_high.c
4  *
5  * Created on: 04.04.2018
6  * Author: abegic
7  */
8  #include "include.h"
9  #include "init_prototyp.h"
10
11 // Anschalten der jeweiligen Line
12 void enable_set_high(int column)
13 {
14     enable_set_low(); // Alle Pins werden erstmal auf Low gesetzt
15     SysCtlDelay(80000); // Wartezeit
16     gpio_set_input(); // Alle Gpios werden auf Input Gesetzt
17
18     switch(column)
19     {
20         // Einschalten der LINE 1
21         case 0:
22             // Die notwendigen GPIOs werden auf Outputgesetzt
23             GPIOPinTypeGPIOOutput(GPIO_PORTB_BASE, GPIO_PIN_2); // GC_1
24             GPIOPinTypeGPIOOutput(GPIO_PORTF_BASE, GPIO_PIN_1); // GS_1
25             GPIOPinTypeGPIOOutput(GPIO_PORTF_BASE, GPIO_PIN_0); // VC_1
26             GPIOPinTypeGPIOOutput(GPIO_PORTB_BASE, GPIO_PIN_3); // VS_1
27
28             // Die entsprechenden GPIOs Werden Auf High und LOW gesetzt
29             GPIOPinWrite(GPIO_PORTB_BASE, GPIO_PIN_2,LOW); // GC_1
30             GPIOPinWrite(GPIO_PORTF_BASE, GPIO_PIN_1,LOW); // GS_1
31             GPIOPinWrite(GPIO_PORTF_BASE, GPIO_PIN_0, GPIO_PIN_0); // VC_1
32             GPIOPinWrite(GPIO_PORTB_BASE, GPIO_PIN_3, GPIO_PIN_3); // VS_1
33
34             break;
35
36         // Einschalten der LINE 2
37
38         case 1:
39             // Die notwendigen GPIOs werden auf Outputgesetzt
40             GPIOPinTypeGPIOOutput(GPIO_PORTK_BASE, GPIO_PIN_6); // GC_2
41             GPIOPinTypeGPIOOutput(GPIO_PORTF_BASE, GPIO_PIN_4); // GS_2
42             GPIOPinTypeGPIOOutput(GPIO_PORTK_BASE, GPIO_PIN_7); // VC_2
43             GPIOPinTypeGPIOOutput(GPIO_PORTL_BASE, GPIO_PIN_4); // VS_2
44
45             // Die entsprechenden GPIOs Werden Auf High und LOW gesetzt
46             GPIOPinWrite(GPIO_PORTK_BASE, GPIO_PIN_6,LOW); // GC_2
47             GPIOPinWrite(GPIO_PORTF_BASE, GPIO_PIN_4,LOW); // GS_2
48             GPIOPinWrite(GPIO_PORTK_BASE, GPIO_PIN_7, GPIO_PIN_7); // VC_2
49             GPIOPinWrite(GPIO_PORTL_BASE, GPIO_PIN_4, GPIO_PIN_4); // VS_2
50
51             break;
52
53         // Einschalten der LINE 3
54         case 2:
55             // Die notwendigen GPIOs werden auf Outputgesetzt
56             GPIOPinTypeGPIOOutput(GPIO_PORTQ_BASE, GPIO_PIN_1); // GC_3
57             GPIOPinTypeGPIOOutput(GPIO_PORTQ_BASE, GPIO_PIN_2); // GS_3
58             GPIOPinTypeGPIOOutput(GPIO_PORTQ_BASE, GPIO_PIN_0); // VC_3
59             GPIOPinTypeGPIOOutput(GPIO_PORTQ_BASE, GPIO_PIN_3); // VS_3
60
61             // Die entsprechenden GPIOs Werden Auf High und LOW gesetzt
62             GPIOPinWrite(GPIO_PORTQ_BASE, GPIO_PIN_1,LOW); // GC_3
63             GPIOPinWrite(GPIO_PORTQ_BASE, GPIO_PIN_2,LOW); // GS_3

```

```
64     GPIOPinWrite(GPIO_PORTQ_BASE, GPIO_PIN_0, GPIO_PIN_0);           // VC_3
65     GPIOPinWrite(GPIO_PORTQ_BASE, GPIO_PIN_3, GPIO_PIN_3);           // VS_3
66
67     break;
68
69     // Einschalten der LINE 4
70     case 3:
71         // Die notwendigen GPIOs werden auf Outputgesetzt
72         GPIOPinTypeGPIOOutput(GPIO_PORTL_BASE, GPIO_PIN_1);           // GC_4
73         GPIOPinTypeGPIOOutput(GPIO_PORTL_BASE, GPIO_PIN_2);           // GS_4
74         GPIOPinTypeGPIOOutput(GPIO_PORTL_BASE, GPIO_PIN_0);           // VC_4
75         GPIOPinTypeGPIOOutput(GPIO_PORTL_BASE, GPIO_PIN_3);           // VS_4
76
77         // Die entsprechenden GPIOs Werden Auf High und LOW gesetzt
78         GPIOPinWrite(GPIO_PORTL_BASE, GPIO_PIN_1,LOW);                 // GC_4
79         GPIOPinWrite(GPIO_PORTL_BASE, GPIO_PIN_2,LOW);                 // GS_4
80         GPIOPinWrite(GPIO_PORTL_BASE, GPIO_PIN_0, GPIO_PIN_0);         // VC_4
81         GPIOPinWrite(GPIO_PORTL_BASE, GPIO_PIN_3, GPIO_PIN_3);         // VS_4
82     break;
83     // Einschalten der LINE 5
84     case 4:
85         // Die notwendigen GPIOs werden auf Outputgesetzt
86         GPIOPinTypeGPIOOutput(GPIO_PORTM_BASE, GPIO_PIN_1);           // GS_5
87         GPIOPinTypeGPIOOutput(GPIO_PORTM_BASE, GPIO_PIN_2);           // GC_5
88         GPIOPinTypeGPIOOutput(GPIO_PORTM_BASE, GPIO_PIN_3);           // VC_5
89         GPIOPinTypeGPIOOutput(GPIO_PORTM_BASE, GPIO_PIN_0);           // VS_5
90
91         // Die entsprechenden GPIOs Werden Auf High und LOW gesetzt
92         GPIOPinWrite(GPIO_PORTM_BASE, GPIO_PIN_1,LOW);                 // GS_5
93         GPIOPinWrite(GPIO_PORTM_BASE, GPIO_PIN_2,LOW);                 // GC_5
94         GPIOPinWrite(GPIO_PORTM_BASE, GPIO_PIN_3, GPIO_PIN_3);         // VC_5
95         GPIOPinWrite(GPIO_PORTM_BASE, GPIO_PIN_0, GPIO_PIN_0);         // VS_5
96
97     break;
98
99     // Einschalten der LINE 6
100    case 5:
101        // Die notwendigen GPIOs werden auf Outputgesetzt
102        GPIOPinTypeGPIOOutput(GPIO_PORTA_BASE, GPIO_PIN_7);           // GC_6
103        GPIOPinTypeGPIOOutput(GPIO_PORTG_BASE, GPIO_PIN_1);           // GS_6
104        GPIOPinTypeGPIOOutput(GPIO_PORTA_BASE, GPIO_PIN_6);           // VC_6
105        GPIOPinTypeGPIOOutput(GPIO_PORTG_BASE, GPIO_PIN_0);           // VS_6
106
107        // Die entsprechenden GPIOs Werden Auf High und LOW gesetzt
108        GPIOPinWrite(GPIO_PORTA_BASE, GPIO_PIN_7,LOW);                 // GC_6
109        GPIOPinWrite(GPIO_PORTG_BASE, GPIO_PIN_1,LOW);                 // GS_6
110        GPIOPinWrite(GPIO_PORTA_BASE, GPIO_PIN_6, GPIO_PIN_6);         // VC_6
111        GPIOPinWrite(GPIO_PORTG_BASE, GPIO_PIN_0, GPIO_PIN_0);         // VS_6
112
113    break;
114
115    // Einschalten der LINE 7
116    case 6:
117        // Die notwendigen GPIOs werden auf Outputgesetzt
118        GPIOPinTypeGPIOOutput(GPIO_PORTA_BASE, GPIO_PIN_5);           // GC_7
119        GPIOPinTypeGPIOOutput(GPIO_PORTH_BASE, GPIO_PIN_2);           // GS_7
120        GPIOPinTypeGPIOOutput(GPIO_PORTH_BASE, GPIO_PIN_1);           // VC_7
121        GPIOPinTypeGPIOOutput(GPIO_PORTH_BASE, GPIO_PIN_3);           // VS_7
122
123        // Die entsprechenden GPIOs Werden Auf High und LOW gesetzt
124        GPIOPinWrite(GPIO_PORTA_BASE, GPIO_PIN_5,LOW);                 // GC_7
125        GPIOPinWrite(GPIO_PORTH_BASE, GPIO_PIN_2,LOW);                 // GS_7
126        GPIOPinWrite(GPIO_PORTH_BASE, GPIO_PIN_1, GPIO_PIN_1);         // VC_7
127        GPIOPinWrite(GPIO_PORTH_BASE, GPIO_PIN_3, GPIO_PIN_3);         // VS_7
128
```

```
130         break;
131     // Einschalten der LINE 8
132     case 7:
133         // Die notwendigen GPIOs werden auf Output gesetzt
134         GPIOPinTypeGPIOOutput(GPIO_PORTA_BASE, GPIO_PIN_3);           // GC_8
135         GPIOPinTypeGPIOOutput(GPIO_PORTH_BASE, GPIO_PIN_0);           // GS_8
136         GPIOPinTypeGPIOOutput(GPIO_PORTA_BASE, GPIO_PIN_2);           // VC_8
137         GPIOPinTypeGPIOOutput(GPIO_PORTA_BASE, GPIO_PIN_4);           // VS_8
138
139         // Die entsprechenden GPIOs werden auf High und Low gesetzt
140         GPIOPinWrite(GPIO_PORTA_BASE, GPIO_PIN_3, LOW);                // GC_8
141         GPIOPinWrite(GPIO_PORTH_BASE, GPIO_PIN_0, LOW);                // GS_8
142         GPIOPinWrite(GPIO_PORTA_BASE, GPIO_PIN_2, GPIO_PIN_2);        // VC_8
143         GPIOPinWrite(GPIO_PORTA_BASE, GPIO_PIN_4, GPIO_PIN_4);        // VS_8
144
145         break;
146     }
147 }
148 }
```

Quellcode C.7: Get-VALUES.c

```
2  /*
3  *
4  * Get_VALUES.c
5  *
6  * Created on: 04.04.2018
7  * Author: abegic
8  */
9
10 /*
11 * Triggering of ADC process
12 */
13
14 #include "include.h"
15 #include "init_prototyp.h"
16
17 void Get_VALUES(void)
18 {
19
20     int run = 0;
21     int i=0;
22     int j=0;
23     for (i=0;i<=7;i++)
24     {
25         for(j=0;j<=7;j++)
26         {
27             SINUS_Voltages[i][j]=0;
28         }
29         SINUS_Voltages[i][j]=0;
30     }
31
32     for(run=0;run<=7;run++)
33     {
34
35
36         enable_set_high(run);
37
38         SysCtlDelay(80000); // Wartezeit
39         // Triggern des ADC-Processors => Starten des Abtastvorgangs
40         ADCProcessorTrigger(ADC0_BASE, 0);
41         ADCProcessorTrigger(ADC1_BASE, 1);
42         ADCProcessorTrigger(ADC1_BASE, 2);
43
44         while(!ADCIntStatus(ADC1_BASE, 2, false))
45         {
46             // Warten bis alle Sample_Sequencer fertig sind und ADC-Werte vorliegen
47         }
48         ADCIntClear(ADC1_BASE, 2); // Quittierung des Interrupts
49
50         enable_set_low();
51         SysCtlDelay(8000); // Wartezeit
52         // Auslesen der ADC-Werte und Speicherug in den globalen Variablen
53         ADCSequenceDataGet(ADC0_BASE, 0, ADC_VALUES_SS0);
54         ADCSequenceDataGet(ADC1_BASE, 1, ADC_VALUES_SS1);
55         ADCSequenceDataGet(ADC1_BASE, 2, ADC_VALUES_SS2);
56
57         SINUS_Voltages[run][0]    =(double) ADC_VALUES_SS0[0];
58         SINUS_Voltages[run][1]    =(double) ADC_VALUES_SS0[1];
59         SINUS_Voltages[run][2]    =(double) ADC_VALUES_SS0[2];
60         SINUS_Voltages[run][3]    =(double) ADC_VALUES_SS0[3];
61         SINUS_Voltages[run][4]    =(double) ADC_VALUES_SS0[4];
62         SINUS_Voltages[run][5]    =(double) ADC_VALUES_SS0[5];
```

```
64     SINUS_Voltages[run][6]    =(double) ADC_Values_SS0[6];  
65     SINUS_Voltages[run][7]    =(double) ADC_Values_SS0[7];  
66  
67     COSINUS_Voltages[run][0]  =(double) ADC_Values_SS1[0];  
68     COSINUS_Voltages[run][1]  =(double) ADC_Values_SS1[1];  
69     COSINUS_Voltages[run][2]  =(double) ADC_Values_SS1[2];  
70     COSINUS_Voltages[run][3]  =(double) ADC_Values_SS1[3];  
71     COSINUS_Voltages[run][4]  =(double) ADC_Values_SS2[0];  
72     COSINUS_Voltages[run][5]  =(double) ADC_Values_SS2[1];  
73     COSINUS_Voltages[run][6]  =(double) ADC_Values_SS2[2];  
74     COSINUS_Voltages[run][7]  =(double) ADC_Values_SS2[3];  
75  
76 }  
77  
78 }
```


Quellcode C.8: Interrupt-Handler.c

```

2  /*
   * Interrupt_Handler.c
   *
4  * Created on: 04.04.2018
   * Author: abegic
6  */

8  #include "include.h"
   #include "init_prototyp.h"
10

12  /******
   * UART-interrupt-handler
   *****/
14

16  void UARTIntHandler(void)
   {
18     uint32_t ui32Status;
     int32_t rcv_char;
     char rcv_char2[8] = {};
20     int a = 0;

22     //
     // Get the interrupt status.
24     //
     ui32Status = UARTIntStatus(UART0_BASE, true);
26

     //
28     // Clear the asserted interrupts.
     //
30     UARTIntClear(UART0_BASE, ui32Status);
     //
32     // Loop while there are characters in the receive FIFO.
     //
34     while (UARTCharsAvail(UART0_BASE))
     {
36         // Read the next character from the UART and write it back to the UART.
         #if 0
38             ROM_UARTCharPutNonBlocking(UART0_BASE,
             ROM_UARTCharGetNonBlocking(UART0_BASE));
40         #else
             rcv_char = UARTCharGetNonBlocking(UART0_BASE);
42         #endif
         if (a <= 8)
44         {
             rcv_char2[a] = (unsigned char) rcv_char;
46         }
         a += 1;
48     }
     if (strcmp (rcv_char2, "-blk") == 0)
50     {
         Blink_LED();
52     }
     if (strcmp (rcv_char2, "-test") == 0)
54     {
         IntDisable(INT_UART0);
56         reset_vtg();
         Get_Values();
58         vals_to_terminal();
         IntEnable(INT_UART0);
60     }
   }
62

   /******

```

```

64  * GPIO-interrupt handler
65  *****/
66
67  void PortJIntHandler()
68  {
69      SysTickDisable();
70      reset_vtg();
71      Get_Values();
72      vals_to_terminal();
73      GPIOIntClear(GPIO_PORTJ_BASE, GPIO_PIN_0);
74  }
75
76  /******
77  * SysTick-Interrupt_Handler
78  *****/
79
80  void SysTick_Interrupt_Handler(void)
81  {
82      Get_Values();
83      SysCtlDelay(100);
84  }
85
86  /******
87  * Initialization of GPIO-Peripherie
88  *****/
89
90  void Init_GPIO_and_Interrupt_Port_J(void)
91  {
92      // Port J aktivieren
93      SysCtlPeripheralEnable(SYSCTL_PERIPH_GPIOJ);
94
95      // J0 konfigurieren
96      GPIOPinTypeGPIOInput(GPIO_PORTJ_BASE, GPIO_PIN_0);
97      /* Weak Pull-Up: Einstellen als Pull-Up, weak = schwaches Pull-Up,
98       bedeutet der Pull-Up Widerstand ist gross.
99       Der SW1 zieht den Ausgang and GND!
100     */
101     GPIOPadConfigSet(GPIO_PORTJ_BASE, GPIO_PIN_0, GPIO_STRENGTH_2MA,
102                     GPIO_PIN_TYPE_STD_WPU);
103
104     // Interrupt an J0 legen (SW1)
105     // Interrupt fuer Port J0 registrieren
106     GPIOIntRegister(GPIO_PORTJ_BASE, PortJIntHandler);
107     // Interrupt bei fallender Flanke auf J0
108     GPIOIntTypeSet(GPIO_PORTJ_BASE, GPIO_PIN_0, GPIO_RISING_EDGE);
109     IntPrioritySet(47, 0x00); // hoechste Prio
110
111     // Interruptfaeigkeit aktivieren
112     GPIOIntEnable(GPIO_PORTJ_BASE, GPIO_PIN_0); // Interrupt fuer J0 aktivieren
113
114     // SW2 als zusaezlicher Taster an J1
115     GPIOPinTypeGPIOInput(GPIO_PORTJ_BASE, GPIO_PIN_1);
116     GPIOPadConfigSet(GPIO_PORTJ_BASE, GPIO_PIN_1, GPIO_STRENGTH_2MA,
117                     GPIO_PIN_TYPE_STD_WPU);
118  }
119
120  /******
121  * Initialization of systick-interrupt
122  *****/
123
124  void Init_SysTick_Interrupt(uint32_t takt)
125  {
126      // Interrupt Aufruf auf 0.5Hz setzen (2-fache der Systemtaktperiode)
127      SysTickPeriodSet(takt/2);
128      // Interrupt registrieren und in dem definierten Handler abarbeiten

```

```
130     SysTickIntRegister(Systick_Interrupt_Handler);
131     SysTickIntEnable(); // Interrupt aktivieren
132     IntPrioritySet(15, 0x20); // zweithoehste Prioritae vergeben
133     SysCtlDelay(5); // kurzes Delay
134     //SysTickEnable(); // SysTick einschalten
135 }
136
137 /*****
138  * Initialization of the UART and turn on after initialization
139  *****/
140 void Init_UART(uint32_t takt)
141 {
142     // Enable the GPIO Peripheral used by the UART.
143     SysCtlPeripheralEnable(SYSCTL_PERIPH_UART0);
144     SysCtlPeripheralEnable(SYSCTL_PERIPH_GPIOA);
145
146     // Configure GPIO Pins for UART mode.
147     GPIOPinConfigure(GPIO_PA0_U0RX);
148     GPIOPinConfigure(GPIO_PA1_U0TX);
149     GPIOPinTypeUART(GPIO_PORTA_BASE, GPIO_PIN_0 | GPIO_PIN_1);
150
151     // Initialize the UART for console I/O.
152     UARTConfigSetExpClk(UART0_BASE, takt, 115200,
153                         (UART_CONFIG_WLEN_8 | UART_CONFIG_STOP_ONE |
154                          UART_CONFIG_PAR_NONE));
155
156     // Enable the UART interrupt.
157     IntEnable(INT_UART0);
158     UARTIntEnable(UART0_BASE, UART_INT_RX | UART_INT_RT);
159     UARTIntRegister(UART0_BASE, UARTIntHandler);
160 }
```

Quellcode C.9: reset-vtg.c

```
2  /*
3  * test.c
4  * Created on: 24.03.2018
5  * Author: abegic
6  */
7
8  /*
9  * Reset sine and cosine values for all sensors.
10 * This function sets all sine and cosine voltages to zero.
11 */
12
13 #include "include.h"
14
15 void reset_vtg(void)
16 {
17     int i=0;
18     int k = 0;
19     for(i=0;i<=0;i++)
20     {
21         for(k=0;k<=0;k++)
22         {
23             SINUS_Voltages[i][k] = 0;
24             COSINUS_Voltages[i][k] = 0;
25         }
26     }
27 }
28
29
30 void Switch_LED_on(void)
31 {
32     GPIOPinWrite(GPIO_PORTN_BASE, GPIO_PIN_1, 0x02);
33 }
34
35
36 /*
37 * Switch on the LED
38 */
39 void Switch_LED_off(void)
40 {
41     GPIOPinWrite(GPIO_PORTN_BASE, GPIO_PIN_1, 0x00);
42 }
43
44 /*
45 * Short blink of the first LED
46 */
47 void Blink_LED(void)
48 {
49     int i =0;
50     Switch_LED_on();
51     for(i = 0; i <= 50000; i++);
52     Switch_LED_off();
53     for(i = 0; i <= 50000; i++);
54 }
```

Quellcode C.10: UARTSend.c

```
2  /*
   * UARTSend.c
   *
4  * Created on: 24.03.2018
   * Author: abegic
6  */
8  #include "include.h"
10 void UARTSend(const uint8_t *pui8Buffer, uint32_t ui32Count)
11 {
12     //
13     // Loop while there are more characters to send.
14     //
15     while(ui32Count--)
16     {
17         //
18         // Write the next character to the UART.
19         //
20         //UARTCharPutNonBlocking(UART0_BASE, *pui8Buffer++);
21         UARTCharPut(UART0_BASE, *pui8Buffer++);
22     }
23 }
```

Quellcode C.11: vals-to-terminal.c

```
2  /*
3  * vals_to_terminal.c
4  *
5  * Created on: 04.04.2018
6  * Author: abegic
7  */
8  #include "include.h"
9  #include "init_prototyp.h"
10 /*
11 * send the data to the uart terminal
12 */
13 void vals_to_terminal(void)
14 {
15
16     int i = 0;
17     int j = 7;
18     for(i = 0 ; i<=7; i++)
19     {
20         for(j = 7 ; j>=0; j--)
21         {
22             if(j>0)
23             {
24                 sprintf(buffer, "%4.0f_□□□", COSINUS_Voltages[i][j]);
25                 UARTSend((uint8_t*)buffer, strlen(buffer));
26                 SysCtlDelay(10);
27             }
28             else
29             {
30                 sprintf(buffer, "%4.0f_□\n", COSINUS_Voltages[i][j]);
31                 UARTSend((uint8_t*)buffer, strlen(buffer));
32                 SysCtlDelay(10);
33             }
34         }
35     }
36     sprintf(buffer, "\nbreak\n");
37     UARTSend((uint8_t*)buffer, strlen(buffer));
38
39     for(i = 0 ; i<=7; i++)
40     {
41         for(j = 7 ; j>=0; j--)
42         {
43             if(j>0)
44             {
45                 sprintf(buffer, "%4.0f_□□□", SINUS_Voltages[i][j]);
46                 UARTSend((uint8_t*)buffer, strlen(buffer));
47                 SysCtlDelay(10);
48             }
49             else
50             {
51                 sprintf(buffer, "%4.0f_□\n", SINUS_Voltages[i][j]);
52                 UARTSend((uint8_t*)buffer, strlen(buffer));
53                 SysCtlDelay(10);
54             }
55         }
56     }
57
58     sprintf(buffer, "\nbreak\n");
59     UARTSend((uint8_t*)buffer, strlen(buffer));
60
61 }
62 }
```

C.2 Matlab-Quellcode

Quellcode C.12: 360_grad Messung.m

```

2  %-----
  % Rotation bei Messdatenaufnahme
  %
4  % Filename:      360 Grad Messung.m
  % Autor:        Abraham Begic
6  % Datum:        30. Mai 2018
  % Beschreibung:  Rotation bis zum beliebigen Winkel, mehrmalige
8  %                wiederholung ist moelich(z.B. Hysterese)
  %
10 %
  %-----
12
  % definition, wenn die Variable nicht existiert
14 % if ~exist('rot_inf')
  %     rot_inf = inputdlg(...
16 %         {'Gewuenschter Abstand zwischen den Sensoren angeben: ',...
  %         'Distanz zwischen den Sensoren in x-Richtung: ',...
18 %         'Distanz zwischen den Sensoren in x-Richtung: '},...
  %         [1 50; 1 50;]);
20 % end;

22
23 rot      =      [0,...
24                1,...
25                360];
26
27 Ps00 = -14;
28 Ps70 = 14;
29 Ps05 = 6;
30
31 Pdist_maxX = abs(Ps00)+abs(Ps70);
32 Pdist_maxY = abs(Ps00)+abs(Ps05);
33
34
35 %%
36 datum = date; %Aktuelle datum
  %Bindestrich mit Unterstrich ersetzen
38 ix = strfind(datum, '-');
  datum(ix) = '_';
40 fname1=sprintf( '$360\circ$_Messung_vom_%s ', datum);
  fname = fname1;
42 if isfolder(fname) == 0
  mkdir(fname)
44 end

46 % dxIN      = str2double(rot_inf{1}); % distance from sensor to sensor
  % dyIN      = str2double(rot_inf{2}); % distance from sensor to sensor
48
49 dxIN      = 2; % distance from sensor to sensor
50 dyIN      = 2; % distance from sensor to sensor
  dx        = dxIN * 100;
52 dy        = dyIN * 100;
  wiederhol= 0;
54 pos_dir = 1; % 1: x-> in positive direction step to next sensor
  %-1: y-> in negative direction step to next sensor
56
58 clear('step_x', 'step_y')
  step_x = round(Pdist_maxX/dxIN);

```

```

60 step_y = round(Pdist_maxY/dyIN);
62
63 [xpoints, ypoints] = meshgrid([Ps00:Pdist_maxX/(step_x):Ps70], ...
64                               [Ps00:Pdist_maxY/(step_y):Ps05]);
65 % ypoints = meshgrid([Ps00:Pdist_maxY/(step_y):Ps05]);
66 % ypoints(ypoints>Ps05) = nan;
68 scatter(xpoints(:), ypoints(:), 'b', 'fill'), hold on
69 scatter(0,0, 'k', 'fill'), hold off
70 xlim([-15 15])
71 ylim([-15 15])
72 set(gca, 'Xtick', [-14:4:14], ...
73         'Ytick', [-14:4:14])
74 grid on
75 box on
76 axis square
77 xlabel('x_a in mm -- Sensorpositions')
78 ylabel('y_a in mm -- Sensorpositions')
80 title(['Anzahl der Messungen: ', mat2str((step_x+1)*(step_y+1)), ...
81        ' (blau markiert)'], 'FontWeight', 'normal')
82 legend('Messpunkte', 'Nullpunkt')
84 %% Positioning to the Sensor-Point 1,1
85
86 DX = -Ps00*100;
87 % Bewegung in die X-Richtung zur X=1, Y=1 bezueglich Koordinatensystem
88 rmp_3_move_rel_unidirect_pos( DX, ...
89                               stage_setup.x_axis.module_address, ...
90                               stage_setup.x_axis.motor_address, ...
91                               deviceObj, ...
92                               stage_setup, ...
93                               stage_positioning);
94
95 DY = Ps00*100;
96 % Bewegung in die Y-Richtung zur X=1, Y=1 bezueglich Koordinatensystem
97 rmp_3_move_rel_unidirect_pos( DY, ...
98                               stage_setup.y_axis.module_address, ...
99                               stage_setup.y_axis.motor_address, ...
100                               deviceObj, ...
101                               stage_setup, ...
102                               stage_positioning);
103
104 %%
105 q=0;
106 for m = 0 : step_y
107
108     % ask for the line
109     if mod(m,2) == 1
110         pos_dir = -1;
111     else
112         pos_dir = 1;
113     end
114
115     for n = 0 : step_x
116         x = xpoints(m+1,n+1);
117         y = ypoints(m+1,n+1);
118
119         fname2 = sprintf('%03.0fmeas_posX_%02.0f_posY_%02.0f_xa_...
120                          %02.0f_ya_%02.0f', q, n, m, x, y);
121
122         q = q+1;
123
124         if isfolder(fname2) == 0
125             mkdir([fname, '/', fname2])

```



```

126     end
127
128     dateiname = [fname, '/', fname2, '/'];
129
130
131     %% set all initial variables for each measurement
132     COS_SIG = zeros(8,8); % Erzeugung einer 8x8 matrix
133     SIN_SIG = zeros(8,8); % Erzeugung einer 8x8 matrix
134
135
136     n = 0;
137
138     input_alpha      = rot(1);
139     alpha_degree     = rot(2) * 1.98 / 2;
140     end_alpha        = round((rot(3)/1.01012)*100)/100;
141     schritt          = 0; % hilfsvariable fuer for-schleife
142     input_step       = 0;
143     faktor           = 0.1; % Hilfsvariable fuer rotationsfall
144     alpha            = 0;
145
146     %% initializing to zero position z rotation
147     % Referenzfahrt yaw-axis (phi_z)
148     set(deviceObj, 'address', stage_setup.yaw_axis.module_address);
149     set(deviceObj, 'motor',   stage_setup.yaw_axis.motor_address);
150     invoke(deviceObj, 'rfs',   'start'); % rotate right
151     disp('referencing rotation-stage DMT40-D20-HSM...');
152     while(1)
153         if( invoke(deviceObj, 'rfs', 'status') == 0 )
154             break;
155         end
156         pause(1);
157     end
158     invoke(deviceObj, 'mst'); % stop motor
159     stage_positioning.yaw_axis.initialisation_complete = 1;
160     disp('finished referencing');
161     pause(1);
162     % move yaw-axis to zero position
163     disp('rotating yaw-axis on zero degree orientation...');
164     rmp_3_move_abs_unidirect_pos( stage_positioning.yaw_axis.zero_position, ...
165                                 stage_setup.yaw_axis.module_address, ...
166                                 stage_setup.yaw_axis.motor_address, ...
167                                 deviceObj, ...
168                                 stage_setup, ...
169                                 stage_positioning);
170
171     %Aktuelle Positionskordinaten uebernahme
172     stage_positioning.yaw_axis.actual_position = 0;
173
174     %% Auf Nullposition fahren
175
176     input_step = 277*...
177                 1.98 / 2./faktor;
178
179     rmp_3_move_add_tilt_dist( input_step, ...
180                             stage_setup.yaw_axis.motor_address, ...
181                             deviceObj, ...
182                             active_wheel_hub, ...
183                             active_collision_limit, ...
184                             global_flags, ...
185                             stage_setup, ...
186                             stage_positioning);
187
188     %% start measurement
189     if input_alpha == 0

```


Quellcode C.13: rmp_3_mtx_rotation.m

```

2  %-----
  % Rotation bei Messdatenaufnahme
  %
4  % Filename:      rmp_3_mtx_rotation.m
  % Autor:         Viktor Airich
6  % Datum:        03.11.2017
  % Beschreibung:  Rotation bis zum beliebigen Winkel, mehrmalige
8  %                wiederholung ist moeglich(z.B. Hysterese)
  % Editiert:     Abraham Begic
10 %                Um die volle Funktionalitaet zu nutezn muessen
  %                modifikationen am Quellcode vorgenommen werden
12 %-----

14 % definition, wenn die Variable nicht existiert
  if ~exist('rot_inf')
16     rot_inf = inputdlg(...
        {'Gewuenschter Endwinkel in Grad Degree eingeben:',...
18         'Rotatinswinkel eingeben:',...
        'Anzahl von wiederholungen:'},...
20         'Rotationsmethode',...
        [1 50; 1 50; 1 50;]);
22 end;
  COS_SIG = zeros(8,8); % Erzeugung einer 8x8 matrix
24  SIN_SIG = zeros(8,8); % Erzeugung einer 8x8 matrix
  n = 0; %name des mat-Files
26 % Endwinkel definition
  end_alpha = round((str2double(rot_inf{1})/1.01012)*100)/100;
28  input_alpha = str2double(rot_inf{1});
  schritt = 0; % hilfsvariable fuer for-schleife
30 % Definition eines winkels fuer eine Umdrehung
  alpha_degree = str2double(rot_inf{2}) * 1.98 / 2;
32  input_step = 0;
  wiederhol = 0; % hilfsvariable fuer Wiederholvorgang
34 % benutzereingabe fuer Wiederholvorgang
  input_wiederhol = str2double(rot_inf{3});
36  faktor = 0.1; % Hilfsvariable fuer rotationsfall
  alpha = 0; %
38
  %% Aufnahme der Messungen
40
  if input_alpha == 0
42     rmp_3_messaufnahme;
  else
44  while ( wiederhol ~= input_wiederhol)

46     if ~mod(wiederhol,2)
        %% Referenzfahrt yaw-axis (phi_z)
48     set(deviceObj, 'address', stage_setup.yaw_axis.module_address);
        set(deviceObj, 'motor', stage_setup.yaw_axis.motor_address);
50     invoke(deviceObj, 'rfs', 'start'); % rotate right
        disp('referencing rotation-stage DMT40-D20-HSM...');
52     while(1)
            if( invoke(deviceObj, 'rfs', 'status') == 0 )
54         break;
            end
56         pause(1);
        end;
58     invoke(deviceObj, 'mst'); % stop motor
        stage_positioning.yaw_axis.initialisation_complete = 1;
60     disp('finished referencing');
        pause(1);
62     % move yaw-axis to zero position
        disp('rotating yaw-axis on zero degree orientation...');

```

```

64     rmp_3_move_abs_unidirect_pos( ...
65         stage_positioning.yaw_axis.zero_position, ...
66         stage_setup.yaw_axis.module_address, ...
67         stage_setup.yaw_axis.motor_address, ...
68         deviceObj, ...
69         stage_setup, ...
70         stage_positioning);
71     %Aktuelle Positionskoordinatenuebernahme
72     stage_positioning.yaw_axis.actual_position = 0;
73 end
74
75 % move=-270./faktor;
76 rmp_3_move_abs_unidirect_pos( ...
77     stage_positioning.yaw_axis.zero_position, ...
78     stage_setup.yaw_axis.module_address, ...
79     stage_setup.yaw_axis.motor_address, ...
80     deviceObj, ...
81     stage_setup, ...
82     stage_positioning);
83 % disp('rotating yaw-axis to Abraham...');
84
85
86
87
88 %% die Rotation von Null bis zum Wunschwinkel
89 for schritt = 0 : alpha_degree : end_alpha
90     % move additional tilt distance
91     [active_collision_limit.add_tilt_dist] = ...
92     rmp_3_move_add_tilt_dist(...
93         input_step, ...
94         stage_setup.yaw_axis.motor_address, ...
95         deviceObj, ...
96         active_wheel_hub, ...
97         active_collision_limit, ...
98         global_flags, ...
99         stage_setup, ...
100        stage_positioning);
101 rmp_3_move_add_tilt_dist(...
102     input_step, ...
103     stage_setup.yaw_axis.motor_address, ...
104     deviceObj, ...
105     active_wheel_hub, ...
106     active_collision_limit, ...
107     global_flags, ...
108     stage_setup, ...
109     stage_positioning);
110
111 %Aktuelle Positionskoordinatenuebernahme
112     stage_positioning.yaw_axis.actual_position ...
113     = stage_positioning.yaw_axis.actual_position + input_step;
114     % umrechnung des eingegebenen winkel
115     input_step = alpha_degree./faktor;
116     %alpha invertiert vorzeichen war positiv
117     %-----
118     rmp_3_messaufnahme;
119     n = n + 1;
120 end
121 rmp_3_messaufnahme
122 wiederhol = wiederhol + 1;
123 faktor = faktor * -1;
124 input_step = 0;
125 end
126 end

```

Quellcode C.14: rmp_3_menu_meas_save.m

```

2  %-----
3  % Menu Messdatenaufnahme
4  %
5  % Filename:      rmp_3_menu_meas_save.m
6  % Autor:        Viktor Airich
7  % Datum:        03.11.2017
8  % Beschreibung: Menu fuer die Darstellung und Speicherung der Messdaten.
9  %               Scannfahrt wird hier initialisiert und ein Messprotokoll
10 %               erstellt.
11 %
12 %-----
13 input_meas = 0; % Hilfsvariable fuer eingabe
14
15 while (1)
16     % Auswahlmenu
17     input_meas = menu('Waehlen Sie Modus aus', ...
18         'Realtime-Analyse', ...
19         'Translation / Translation und Rotation', ...
20         'Rotation ueber das Array', ...% korrektur
21         'Rotation mit einem einzelnen Sensor', ...
22         'Messprotokollerstellung', ...
23         'Modus-Auswahl Menu', ...
24         '$360\circ$ Rotationsmessung', ...
25         'EXIT');
26     switch(input_meas) % switch axes
27     case 1
28         % clear all variables
29         clear input_meas; % clear input variable
30         rmp_3_darstellung; % Aufruf der Darstellung
31     case 2
32         % clear all variables
33         clear ('input_meas','rot_inf',...
34             'si', 'dat_name'); % clear input variable
35         rmp_3_mtx_translation; % aufruf Messdatenaufnahme
36         % bei Translation mit/ohne Rotation
37         rmp_3_messprotokoll; % Messprotokollerstellung
38
39     case 3
40         clear ('input_meas', 'rot_inf', 'si', ...
41             'matrix_rot','dat_name'); % clear input variable
42         if ~exist('x')||('z')||('y')||('abstand')
43             koor_abf = inputdlg({'Geben Sie Koordinate fuer X:',...
44                 'Geben Sie Koordinate fuer Y:',...
45                 'Geben Sie Koordinate fuer Z:',...
46                 'Abstand zwischen Scanpositionen in [mm] (z.B. 7.62):'},...
47                 'Koordinaten festlegung', ...
48                 [1 25;1 25;1 25;1 25]);
49             x = str2double(koor_abf{1});
50             y = str2double(koor_abf{2});
51             z = str2double(koor_abf{3});
52             abstand = str2double(koor_abf{4});
53         end;
54         rmp_3_datei_erstellung;
55         rmp_3_mtx_rotation; % aufruf Messdatenaufnahme bei Rotation
56         rmp_3_messprotokoll; % Messprotokollerstellung
57
58
59     case 4
60         clear ('input_meas', 'rot_inf', 'si', ...
61             'matrix_rot','dat_name'); % clear input variable
62         rmp_3_einzelnsensor_drehmatrix;
63         rmp_3_messprotokoll; % Messprotokollerstellung

```

```
64         clear('dat_name', 'n');
66     case 5
67         clear input_meas; % clear input variable
68         rmp_3_messprotokoll; % Messprotokollerstellung
69
70     case 6
71         clear input_position; % clear input variable
72         rmp_3_menu_modusauswahl; %aufruf menu moduswahl
73
74     case 7
75         %
76         % clear ('input_meas', 'rot_inf', 'si', ...
77             'matrix_rot', 'dat_name'); % clear input variable
78
79         %rmp_3_datei_erstellung;
80         rmp_360_grad_Messung; % aufruf Messdatenaufnahme
81             % bei Translation mit/ohne Rotation
82         %rmp_3_messprotokoll; % Messprotokollerstellung
83
84     case 8
85         save('rmp_3_init_stage_pos', 'active_collision_limit', ...
86             'active_motor', 'active_wheel_hub', 'collision_limit', ...
87             'global_flags', 'global_flags', 'laenge_x', 'laenge_y', ...
88             'laenge_z', 'motor_setup', 'specific_parameter', ...
89             'stage_positioning', 'stage_setup', 'wheel_hub', ...
90             'work');
91         clear input_meas; % clear input variable
92         disp('exit');
93         break; % exit while loop
94
95
96
97
98
99
100
101     end;
102 end;
```

Quellcode C.15: rmp_3_init_stage_system.m

```

2  %-----
3  % BASIC INITIALISATION OF THE STAGE SYSTEM
4  %
5  % version 0.1
6  % filename:      rmp_3_init_stage_system.m
7  %-----
8  %
9  % author :      Christian Schoermer
10 % date  :      21.04.2010
11 % changes:     Viktor Airich
12 %             03.11.2017
13 %             Abraham Begic, Thorben Schueth
14 %             17.05.18
15 % description: This script initializes the structures "stage_positioning",
16 %             "wheel_hub", "active_wheel_hub", "collision_limit",
17 %             "active_collision_limit", "active_motor" and
18 %             "specific_parameter".
19 %             The parameters in "stage_positioning" are used for
20 %             several positioning. Furthermore informations about
21 %             the wheel hubs, like reference positions on
22 %             encoder wheel and active flags are deposited in the
23 %             structure "wheel_hub".
24 %             To avoid collisions between positioning stage and
25 %             wheel hub, a structure called "collision_limit" is
26 %             built up. In active mode (measuring station is in use)
27 %             parameters of one choosen wheel hub are transferred into
28 %             an active structure, called "active_wheel_hub". The
29 %             collision information about the choosen wheel hub is
30 %             transferred into the structure "active_collision_limit".
31 %             Specific positions structure provides specific stage
32 %             positions(e.g. absolute position for sensor change)
33 %             measured by a meter.
34 % precondition: initialisation of the structure "stage_setup".
35 %
36 %-----
37 %
38 %
39 %
40 %% positioning structure
41 % positioning structure for every positioning stage
42 % the positioning structure includes information about:
43 %
44 %
45 %     * stage identification
46 %     * bi-repeatability error in dependency of fullstep divisor
47 %     * stepsize resolution of hardware [m]
48 %     * spindle pitch (only linear axes)
49 %     * fullsteps per motor revolution (hardware)
50 %     * reduction of motor and gear ratio
51 %     * motor steps per revolution in dependency of fullstep divisor
52 %     * difference between limit switches (not DMT65 and DMT40)
53 %     * initial (linear axes )and zero position (rot. stages: no tilt)
54 %     * different positioning speed values
55 %     * information flag: initialisation complete
56 %     * positioning limits, to avoid collisions with the wheel hub
57 %     * acutal position: difference between reference position on
58 %     * encoder wheel and sensor
59 %     * reversal error compensation factor for additional numbers
60 %     * of stepsize to guarantee reversal error compensation
61 %     * finsal reversal error compensation factor
62 %     * absolute orientation of alignment rotation stage (DMT65)
63 %     * for sensor alignment before encoder (absolute position)

```

```

64 | %           * actual tilt distance to avoid collisions between sensor
65 | %           or rather sensor socket and wheel hub [m]
66 | %           * initialisation completed flag

68 | stage_positioning = struct( ...
69 |     'x_axis',      struct( ...
70 |         'stage_identification', 'LTM80-150-HSM', ...
71 |         'bi_repeatability_error', 15*10^(-6), ...
72 |         'stepsize', 10*10^(-6), ...
73 |         'spindle_pitch', 1*10^(-3), ...
74 |         'mot_fullsteps_per_rev', 200, ...
75 |         'low_positioning_speed', 40, ...
76 |         'high_positioning_speed', 400, ...
77 |         'mot_fullstep_divisor', 0, ...
78 |         'mot_steps_per_rev', 0, ...
79 |         'distance_per_step', 0, ...
80 |         'steps_per_stepsize', 0, ...
81 |         'steps_bi_repeatability_error', 0, ...
82 |         'steps_distance_end_switches', 0, ...
83 |         'initial_position', 0, ...
84 |         'collision_limit', 0, ...
85 |         'actual_position', -1, ...
86 |         'reversal_err_comp_factor', 2, ...
87 |         'reversal_err_comp', 0, ...
88 |         'initialisation_complete', 0), ...
89 |     'y_axis',      struct( ...
90 |         'stage_identification', 'LTM80- 75-HSM', ...
91 |         'bi_repeatability_error', 15*10^(-6), ...
92 |         'stepsize', 10*10^(-6), ...
93 |         'spindle_pitch', 1*10^(-3), ...
94 |         'mot_fullsteps_per_rev', 200, ...
95 |         'low_positioning_speed', 40, ...
96 |         'high_positioning_speed', 400, ...
97 |         'mot_fullstep_divisor', 0, ...
98 |         'mot_steps_per_rev', 0, ...
99 |         'distance_per_step', 0, ...
100 |        'steps_per_stepsize', 0, ...
101 |        'steps_bi_repeatability_error', 0, ...
102 |        'steps_distance_end_switches', 0, ...
103 |        'initial_position', 0, ...
104 |        'collision_limit', 0, ...
105 |        'actual_position', -1, ...
106 |        'reversal_err_comp_factor', 2, ...
107 |        'reversal_err_comp', 0, ...
108 |        'initialisation_complete', 0), ...
109 |     'z_axis',      struct( ...
110 |         'stage_identification', 'LTM80-150-HSM', ...
111 |         'bi_repeatability_error', 15*10^(-6), ...
112 |         'stepsize', 10*10^(-6), ...
113 |         'spindle_pitch', 1*10^(-3), ...
114 |         'mot_fullsteps_per_rev', 200, ...
115 |         'low_positioning_speed', 40, ...
116 |         'high_positioning_speed', 400, ...
117 |         'mot_fullstep_divisor', 0, ...
118 |         'mot_steps_per_rev', 0, ...
119 |         'distance_per_step', 0, ...
120 |         'steps_per_stepsize', 0, ...
121 |         'steps_bi_repeatability_error', 0, ...
122 |         'steps_distance_end_switches', 0, ...
123 |         'initial_position', 0, ...
124 |         'actual_position', -1, ...
125 |         'reversal_err_comp_factor', 2, ...
126 |         'reversal_err_comp', 0, ...
127 |         'initialisation_complete', 0), ...
128 |     'alignment_axis', struct( ...

```



```

130         'stage_identification',      'DMT65-DM4-HSM' , ...
        'bi_repeatability_error',      0.02 , ...
        'stepsize',                    0.1 , ...
132         'reduction',                180 , ...
        'mot_fullsteps_per_rev',       200 , ...
134         'mot_fullstep_divisor',      0 , ...
        'mot_steps_per_rev',           0 , ...
136         'degree_per_step',           0 , ...
        'steps_per_stepsize',          0 , ...
138         'steps_bi_repeatability_error', 0 , ...
        'initial_position',            0 , ...
140         'actual_position',           -1 , ...
        'reversal_err_comp_factor',    2 , ...
142         'reversal_err_comp',         0 , ...
        'axial_alignment',              0 , ...
144         'radial_alignment',           0 , ...
        'initialisation_complete',     0), ...
146     'yaw_axis',      struct( ...
        'stage_identification',      'DMT40-D20-HSM' , ...
148         'bi_repeatability_error',      0.07 , ...
        'stepsize',                    0.1 , ...
150         'reduction',                6917.7669 , ...
        'mot_fullsteps_per_rev',       24 , ...
152         'degree_tilt_limit',          0, ...
        %changed vom 8 to zero
154         'mot_fullstep_divisor',      0 , ...
        'mot_steps_per_rev',           0 , ...
156         'degree_per_step',           0 , ...
        'steps_per_stepsize',          0 , ...
158         'steps_bi_repeatability_error', 0 , ...
        'steps_distance_end_switches', 0 , ...
160         'tilt_limit',                 0 , ...
        % changed 2018-05-17 -> default 8 to 0
162         'zero_position',              0 , ...
        'actual_position',              -1 , ...
164         'reversal_err_comp_factor',    2 , ...
        'reversal_err_comp',           0 , ...
166         'initialisation_complete',     0), ...
    'roll_axis',      struct( ...
168         'stage_identification',      'MOGO65-W16-HSM' , ...
        'bi_repeatability_error',      0.2 , ...
170         'stepsize',                    0.2 , ...
        'reduction',                    55040 , ...
172         'mot_fullsteps_per_rev',       20 , ...
        'mot_fullstep_divisor',        0 , ...
174         'mot_steps_per_rev',           0 , ...
        'degree_per_step',              0 , ...
176         'steps_per_stepsize',          0 , ...
        'steps_bi_repeatability_error', 0 , ...
178         'steps_distance_end_switches', 0 , ...
        'tilt_limit',                   0 , ...
180         'zero_position',              0 , ...
        'actual_position',              -1 , ...
182         'reversal_err_comp_factor',    2 , ...
        'reversal_err_comp',           0 , ...
184         'initialisation_complete',     0), ...
    'pitch_axis',    struct( ...
186         'stage_identification',      'MOGO40-W16-HSM' , ...
        'bi_repeatability_error',      0.2 , ...
188         'stepsize',                    0.2 , ...
        'reduction',                    32000 , ...
190         'mot_fullsteps_per_rev',       20 , ...
        'mot_fullstep_divisor',        0 , ...
192         'mot_steps_per_rev',           0 , ...
        'degree_per_step',              0 , ...

```

```

194         'steps_per_stepsize',           0 , ...
195         'steps_bi_repeatability_error', 0 , ...
196         'steps_distance_end_switches',  0 , ...
197         'tilt_limit',                   8 , ...
198         'zero_position',                 0 , ...
199         'actual_position',               -1 , ...
200         'reversal_err_comp_factor',     2 , ...
201         'reversal_err_comp',            0 , ...
202         'initialisation_complete',      0) ...
203     );
204
205 %% global flag structure
206 % wheel hub structure provides information about the states of the
207 % measuring station
208
209 global_flags = struct( ...
210     'initialisation_complete_flag',    0 , ...
211     'active_wheel_hub_flag',          0);
212
213 %% wheel hub structure
214 % wheel hub structure provides information about:
215 %
216 %     * coded value for active wheel hub
217 %     no active wheel hub = 0
218 %     Golf IV              = 1
219 %     Golf V               = 2
220 %     BMW 3er              = 3
221 %
222 %     * encoder orientation:
223 %     axial                 = 1
224 %     radial                = 2
225 %     ATTENTION: wrong encoder orientation causes
226 %                 collisions!
227 %
228 %     * tooth sum of encoder wheel
229 %     * reference offset [m] above encoder wheel
230 %     and required steps
231 %     * absolute position of x-, y- and z-linear stage
232 %     calculated in the function "ref_pos_encoder".
233 %     Initial values are "steps_distance_end_switches"
234 %     to avoid collision
235
236 wheel_hub = struct( ...
237     'Golf_IV', struct( ...
238         'identification', 'GOLF_IV' , ...
239         'encoder_orientation', 1 , ...
240         'tooth_sum', 43 , ...
241         'reference_offset', 0.2*10(-3) , ...
242         'steps_reference_offset', 0 , ...
243         'threshold_speed_change', 5*10(-3) , ...
244         'steps_threshold_speed_change', 0 , ...
245         'x_ref_pos', 0 , ...
246         'y_ref_pos', 0 , ...
247         'z_ref_pos', 0), ...
248     'Golf_V', struct( ...
249         'identification', 'GOLF_V' , ...
250         'encoder_orientation', 2 , ...
251         'tooth_sum', 43 , ...
252         'reference_offset', 0.2*10(-3) , ...
253         'steps_reference_offset', 0 , ...
254         'threshold_speed_change', 5*10(-3) , ...
255         'steps_threshold_speed_change', 0 , ...
256         'x_ref_pos', 0 , ...
257         'y_ref_pos', 0 , ...
258         'z_ref_pos', 0), ...
259     'BMW_3er', struct( ...
260         'identification', 'BMW_3er' , ...

```

```

260         'encoder_orientation',           1 , ...
        'tooth_sum',                       48 , ...
262         'reference_offset',             0.2*10-3 , ...
        'steps_reference_offset',          0 , ...
264         'threshold_speed_change',      5*10-3 , ...
        'steps_threshold_speed_change',    0 , ...
266         'x_ref_pos',                     0 , ...
        'y_ref_pos',                       0 , ...
268         'z_ref_pos',                     0) ...
        );

270 %% collision limit structure
271 %% collision limit structure provides information about:
272 %%
273 %%     * active flag, when collision protection is activated
274 %%     * radius of the collision sphere [m]
275 %%     * absolute position of the collision sphere center
276 %%     in x-,y- and z-coordinates (absolute positions of
277 %%     linear stages)
278
279 collision_limit = struct( ...
280     'Golf_IV',      struct( ...
281         'identification',           'GOLF_IV' , ...
282         'collision_flag',           0 , ...
283         'add_tilt_dist',             0 , ...
284         'steps_add_tilt_dist',       0 , ...
285         'collision_radius',         8*10-3 , ...
286         'x_pos_sphere_center',      0 , ...
287         'y_pos_sphere_center',      0 , ...
288         'z_pos_sphere_center',      0), ...
289     'Golf_V',      struct( ...
290         'identification',           'GOLF_V' , ...
291         'collision_flag',           0 , ...
292         'add_tilt_dist',             0 , ...
293         'steps_add_tilt_dist',       0 , ...
294         'collision_radius',         25*10-3 , ...
295         'x_pos_sphere_center',      0 , ...
296         'y_pos_sphere_center',      0 , ...
297         'z_pos_sphere_center',      0), ...
298     'BMW_3er',    struct( ...
299         'identification',           'BMW_3er' , ...
300         'collision_flag',           0 , ...
301         'add_tilt_dist',             0 , ...
302         'steps_add_tilt_dist',       0 , ...
303         'collision_radius',         20*10-3 , ...
304         'x_pos_sphere_center',      0 , ...
305         'y_pos_sphere_center',      0 , ...
306         'z_pos_sphere_center',      0) ...
307     );
308
309 %% active wheel hub structure
310 %% wheel hub structure provides information about the active wheel hub
311
312 active_wheel_hub = struct( ...
313     'identification',           '-', ...
314     'encoder_orientation',       0 , ...
315     'tooth_sum',                 0 , ...
316     'reference_offset',          0 , ...
317     'steps_reference_offset',    0 , ...
318     'threshold_speed_change',    0 , ...
319     'steps_threshold_speed_change', 0 , ...
320     'x_ref_pos',                 0 , ...
321     'y_ref_pos',                 0 , ...
322     'z_ref_pos',                 0);

```

```

324 %% active collision limit structure
326 % collision limit structure provides information about:
328 % collision limits of the active wheel hub
328
329 active_collision_limit = struct( ...
330     'identification',           '-', ...
331     'collision_flag',           0, ...
332     'add_tilt_dist',            0, ...
333     'steps_add_tilt_dist',      0, ...
334     'collision_radius',         0, ...
335     'x_pos_sphere_center',      0, ...
336     'y_pos_sphere_center',      0, ...
337     'z_pos_sphere_center',      0);
338
339 %% active motor structure
340 % active motor structure provides information about the active motor
340
341 active_motor = struct( ...
342     'identification',           '-', ...
343     'module_address',            0, ...
344     'microstep_resolution',      0, ...
345     'maximum_acceleration',      0, ...
346     'absolute_max_current',      0, ...
347     'gear_ratio',                0, ...
348     'actual_speed',              0);
349
350
351 %% specific parameter structure
352 % specific parameter structure provides information about:
353 %
354 % * specific absolute positions (e.g. DMT65:sensor change
355 %   position measured by meter and an adjusted fullstep
356 %   divisor. The ending of the variables contain
357 %   information about the fullstep divisor:
358 %   e.g. div_4 -> absolute position measured with a fullstep
359 %   divisor of 4.
360
361
362
363
364 specific_parameter = struct( ...
365     'x_axis', struct( ...
366         'stage_identification', 'LTM80-150-HSM'), ...
367     'y_axis', struct( ...
368         'stage_identification', 'LTM80- 75-HSM'), ...
369     'z_axis', struct( ...
370         'stage_identification', 'LTM80-150-HSM'), ...
371     'alignment_axis', struct( ...
372         'stage_identification', 'DMT65-DM4-HSM', ...
373         'steps_measured_initial_div_4', 72200, ...
374         'steps_measured_radial_div_4', -440, ...
375         'steps_measured_axial_div_4', 35400), ...
376     'yaw_axis', struct( ...
377         'stage_identification', 'DMT40-D20-HSM', ...
378         'steps_measured_zero_div_2', 74600), ...
379     % wieso nicht bei 75000
380     'roll_axis', struct( ...
381         'stage_identification', 'MOGO65-W16-HSM', ...
382         'steps_measured_zero_div_4', 119600), ...
383     'pitch_axis', struct( ...
384         'stage_identification', 'MOGO40-W16-HSM', ...
385         'steps_measured_zero_div_4', 60421) ...
386     );
387
388

```

```
390
392 %% set motor parameters
393 % calculate fullstep divisor
394
395 % x-axis
396 stage_positioning.x_axis.mot_fullstep_divisor = ...
397     2^(stage_setup.x_axis.microstep_resolution);
398
399 % y-axis
400 stage_positioning.y_axis.mot_fullstep_divisor = ...
401     2^(stage_setup.y_axis.microstep_resolution);
402
403 % z-axis
404 stage_positioning.z_axis.mot_fullstep_divisor = ...
405     2^(stage_setup.z_axis.microstep_resolution);
406
407 % alignment-axis
408 stage_positioning.alignment_axis.mot_fullstep_divisor = ...
409     2^(stage_setup.alignment_axis.microstep_resolution);
410
411 % yaw-axis
412 stage_positioning.yaw_axis.mot_fullstep_divisor = ...
413     2^(stage_setup.yaw_axis.microstep_resolution);
414
415 % roll-axis
416 stage_positioning.roll_axis.mot_fullstep_divisor = ...
417     2^(stage_setup.roll_axis.microstep_resolution);
418
419 % pitch-axis
420 stage_positioning.pitch_axis.mot_fullstep_divisor = ...
421     2^(stage_setup.pitch_axis.microstep_resolution);
422
423 %% calculate steps per revolution in dependency on number of fullsteps and
424 %% fullstep divisor
425
426 % x-axis
427 stage_positioning.x_axis.mot_steps_per_rev = ...
428     stage_positioning.x_axis.mot_fullsteps_per_rev * ...
429     stage_positioning.x_axis.mot_fullstep_divisor;
430
431 % y-axis
432 stage_positioning.y_axis.mot_steps_per_rev = ...
433     stage_positioning.y_axis.mot_fullsteps_per_rev * ...
434     stage_positioning.y_axis.mot_fullstep_divisor;
435
436 % z-axis
437 stage_positioning.z_axis.mot_steps_per_rev = ...
438     stage_positioning.z_axis.mot_fullsteps_per_rev * ...
439     stage_positioning.z_axis.mot_fullstep_divisor;
440
441 % alignment-axis
442 stage_positioning.alignment_axis.mot_steps_per_rev = ...
443     stage_positioning.alignment_axis.mot_fullsteps_per_rev * ...
444     stage_positioning.alignment_axis.mot_fullstep_divisor;
445
446 % roll-axis
447 stage_positioning.yaw_axis.mot_steps_per_rev = ...
448     stage_positioning.yaw_axis.mot_fullsteps_per_rev * ...
449     stage_positioning.yaw_axis.mot_fullstep_divisor;
450
451 % pitch-axis
452 stage_positioning.roll_axis.mot_steps_per_rev = ...
```

```
454     stage_positioning.roll_axis.mot_fullsteps_per_rev * ...
455     stage_positioning.roll_axis.mot_fullstep_divisor;
456
457 % yaw-axis
458 stage_positioning.pitch_axis.mot_steps_per_rev = ...
459     stage_positioning.pitch_axis.mot_fullsteps_per_rev * ...
460     stage_positioning.pitch_axis.mot_fullstep_divisor;
461
462 %% calculate distance per step in dependency on reduction
463
464 % x-axis
465 stage_positioning.x_axis.distance_per_step = ...
466     stage_positioning.x_axis.spindle_pitch / ...
467     stage_positioning.x_axis.mot_steps_per_rev;
468
469 % y-axis
470 stage_positioning.y_axis.distance_per_step = ...
471     stage_positioning.y_axis.spindle_pitch / ...
472     stage_positioning.y_axis.mot_steps_per_rev;
473
474 % z-axis
475 stage_positioning.z_axis.distance_per_step = ...
476     stage_positioning.z_axis.spindle_pitch / ...
477     stage_positioning.z_axis.mot_steps_per_rev;
478
479 % alignment-axis
480 stage_positioning.alignment_axis.degree_per_step = ...
481     360 / (stage_positioning.alignment_axis.mot_steps_per_rev * ...
482     stage_positioning.alignment_axis.reduction);
483
484 % roll-axis
485 stage_positioning.yaw_axis.degree_per_step = ...
486     360 / (stage_positioning.yaw_axis.mot_steps_per_rev * ...
487     stage_positioning.yaw_axis.reduction);
488
489 % pitch-axis
490 stage_positioning.roll_axis.degree_per_step = ...
491     360 / (stage_positioning.roll_axis.mot_steps_per_rev * ...
492     stage_positioning.roll_axis.reduction);
493
494 % yaw-axis
495 stage_positioning.pitch_axis.degree_per_step = ...
496     360 / (stage_positioning.pitch_axis.mot_steps_per_rev * ...
497     stage_positioning.pitch_axis.reduction);
498
499
500 %% calculate bi-directional error in steps
501
502 % x-axis
503 stage_positioning.x_axis.steps_bi_repeatability_error = ...
504     stage_positioning.x_axis.bi_repeatability_error / ...
505     stage_positioning.x_axis.distance_per_step;
506
507 stage_positioning.x_axis.steps_bi_repeatability_error = round(...
508     stage_positioning.x_axis.steps_bi_repeatability_error); % round
509
510 % y-axis
511 stage_positioning.y_axis.steps_bi_repeatability_error = ...
512     stage_positioning.y_axis.bi_repeatability_error / ...
513     stage_positioning.y_axis.distance_per_step;
514
515 stage_positioning.y_axis.steps_bi_repeatability_error = round(...
516     stage_positioning.y_axis.steps_bi_repeatability_error); % round
517
518
```

```
520 % z-axis
    stage_positioning.z_axis.steps_bi_repeatability_error = ...
        stage_positioning.z_axis.bi_repeatability_error / ...
522         stage_positioning.z_axis.distance_per_step;

524 stage_positioning.z_axis.steps_bi_repeatability_error = round(...
    stage_positioning.z_axis.steps_bi_repeatability_error); % round
526

528 % alignment-axis
    stage_positioning.alignment_axis.steps_bi_repeatability_error = ...
        stage_positioning.alignment_axis.bi_repeatability_error / ...
530         stage_positioning.alignment_axis.degree_per_step;

532 stage_positioning.alignment_axis.steps_bi_repeatability_error = round(...
    stage_positioning.alignment_axis.steps_bi_repeatability_error); % round
534

536 % roll-axis
    stage_positioning.yaw_axis.steps_bi_repeatability_error = ...
        stage_positioning.yaw_axis.bi_repeatability_error / ...
538         stage_positioning.yaw_axis.degree_per_step;

540 stage_positioning.yaw_axis.steps_bi_repeatability_error = round(...
    stage_positioning.yaw_axis.steps_bi_repeatability_error); % round
542

544 % pitch-axis
    stage_positioning.roll_axis.steps_bi_repeatability_error = ...
        stage_positioning.roll_axis.bi_repeatability_error / ...
546         stage_positioning.roll_axis.degree_per_step;

548 stage_positioning.roll_axis.steps_bi_repeatability_error = round(...
    stage_positioning.roll_axis.steps_bi_repeatability_error); % round
550

552 % yaw-axis
    stage_positioning.pitch_axis.steps_bi_repeatability_error = ...
        stage_positioning.pitch_axis.bi_repeatability_error / ...
554         stage_positioning.pitch_axis.degree_per_step;

556 stage_positioning.pitch_axis.steps_bi_repeatability_error = round(...
    stage_positioning.pitch_axis.steps_bi_repeatability_error); % round
558

560 %% calculate step size in "steps" for all positioning stages

562 % x-axis
    stage_positioning.x_axis.steps_per_stepsize = ...
        stage_positioning.x_axis.stepsize / ...
564         stage_positioning.x_axis.distance_per_step;

566 stage_positioning.x_axis.steps_per_stepsize = round(...
    stage_positioning.x_axis.steps_per_stepsize); % round

570 % y-axis
    stage_positioning.y_axis.steps_per_stepsize = ...
        stage_positioning.y_axis.stepsize / ...
572         stage_positioning.y_axis.distance_per_step;

574 stage_positioning.y_axis.steps_per_stepsize = round(...
    stage_positioning.y_axis.steps_per_stepsize); % round
576

578 % z-axis
    stage_positioning.z_axis.steps_per_stepsize = ...
        stage_positioning.z_axis.stepsize / ...
580         stage_positioning.z_axis.distance_per_step;

582 stage_positioning.z_axis.steps_per_stepsize = round(...
```

```
584     stage_positioning.z_axis.steps_per_stepsize); % round
586 % alignment-axis
588     stage_positioning.alignment_axis.steps_per_stepsize = ...
589     stage_positioning.alignment_axis.stepsize / ...
590     stage_positioning.alignment_axis.degree_per_step;
592 stage_positioning.alignment_axis.steps_per_stepsize = round(...
593     stage_positioning.alignment_axis.steps_per_stepsize); % round
594 % roll-axis
596 stage_positioning.yaw_axis.steps_per_stepsize = ...
597     stage_positioning.yaw_axis.stepsize / ...
598     stage_positioning.yaw_axis.degree_per_step;
600 stage_positioning.yaw_axis.steps_per_stepsize = round(...
601     stage_positioning.yaw_axis.steps_per_stepsize); % round
602 % pitch-axis
604 stage_positioning.roll_axis.steps_per_stepsize = ...
605     stage_positioning.roll_axis.stepsize / ...
606     stage_positioning.roll_axis.degree_per_step;
608 stage_positioning.roll_axis.steps_per_stepsize = round(...
609     stage_positioning.roll_axis.steps_per_stepsize); % round
610 % yaw-axis
612 stage_positioning.pitch_axis.steps_per_stepsize = ...
613     stage_positioning.pitch_axis.stepsize / ...
614     stage_positioning.pitch_axis.degree_per_step;
616 stage_positioning.pitch_axis.steps_per_stepsize = round(...
617     stage_positioning.pitch_axis.steps_per_stepsize); % round
618
620 %% calculate bi-directional error compensation steps
622 % x-axis
624 stage_positioning.x_axis.reversal_err_comp = ...
625     stage_positioning.x_axis.steps_bi_repeatability_error / ...
626     stage_positioning.x_axis.steps_per_stepsize + ...
627     stage_positioning.x_axis.reversal_err_comp_factor;
628 stage_positioning.x_axis.reversal_err_comp = round(...
629     stage_positioning.x_axis.reversal_err_comp); % round
630 % y-axis
632 stage_positioning.y_axis.reversal_err_comp = ...
633     stage_positioning.y_axis.steps_bi_repeatability_error / ...
634     stage_positioning.y_axis.steps_per_stepsize + ...
635     stage_positioning.y_axis.reversal_err_comp_factor;
636 stage_positioning.y_axis.reversal_err_comp = round(...
637     stage_positioning.y_axis.reversal_err_comp); % round
638 % z-axis
640 stage_positioning.z_axis.reversal_err_comp = ...
641     stage_positioning.z_axis.steps_bi_repeatability_error / ...
642     stage_positioning.z_axis.steps_per_stepsize + ...
643     stage_positioning.z_axis.reversal_err_comp_factor;
644 stage_positioning.z_axis.reversal_err_comp = round(...
645     stage_positioning.z_axis.reversal_err_comp); % round
648 % alignment-axis
```



```
stage_positioning.alignment_axis.reversal_err_comp = ...
650     stage_positioning.alignment_axis.steps_bi_repeatability_error /...
        stage_positioning.alignment_axis.steps_per_stepsize + ...
652     stage_positioning.alignment_axis.reversal_err_comp_factor;

654     stage_positioning.alignment_axis.reversal_err_comp = round(...
        stage_positioning.alignment_axis.reversal_err_comp); % round
656
% roll-axis
658     stage_positioning.yaw_axis.reversal_err_comp = ...
        stage_positioning.yaw_axis.steps_bi_repeatability_error /...
660     stage_positioning.yaw_axis.steps_per_stepsize + ...
        stage_positioning.yaw_axis.reversal_err_comp_factor;
662
        stage_positioning.yaw_axis.reversal_err_comp = round(...
664     stage_positioning.yaw_axis.reversal_err_comp); % round

666 % pitch-axis
        stage_positioning.roll_axis.reversal_err_comp = ...
668     stage_positioning.roll_axis.steps_bi_repeatability_error /...
        stage_positioning.roll_axis.steps_per_stepsize + ...
670     stage_positioning.roll_axis.reversal_err_comp_factor;

672     stage_positioning.roll_axis.reversal_err_comp = round(...
        stage_positioning.roll_axis.reversal_err_comp); % round
674
% yaw-axis
676     stage_positioning.pitch_axis.reversal_err_comp = ...
        stage_positioning.pitch_axis.steps_bi_repeatability_error /...
678     stage_positioning.pitch_axis.steps_per_stepsize + ...
        stage_positioning.pitch_axis.reversal_err_comp_factor;
680
        stage_positioning.pitch_axis.reversal_err_comp = round(...
682     stage_positioning.pitch_axis.reversal_err_comp); % round

684
%% initial position of alignment axis (rotation stage DMT65-DM4-HSM)
686
% rotate stage to initial for sensor change
688 if(stage_setup.alignment_axis.microstep_resolution == 2)
        stage_positioning.alignment_axis.initial_position = ...
690     specific_parameter.alignment_axis.steps_measured_initial_div_4;
    else
692     % throw exception
        ME = MException('VerifyOutput:OutOfBounds', ...
694     'Microstep resolution does not match with positioning steps');
        throw(ME);
696 end;

698
%% alignment orientation on different encoder wheels
700
% radial sensor alignment
702 if(stage_setup.alignment_axis.microstep_resolution == 2) % fullstep div = 4
        stage_positioning.alignment_axis.radial_alignment = ...
704     specific_parameter.alignment_axis.steps_measured_radial_div_4;
    else
706     % throw exception
        ME = MException('VerifyOutput:OutOfBounds', ...
708     'Microstep resolution does not match with positioning steps');
        throw(ME);
710 end;

712 % axial sensor alignment
    if(stage_setup.alignment_axis.microstep_resolution == 2) % fullstep div = 4
```

```
714     stage_positioning.alignment_axis.axial_alignment = ...
        specific_parameter.alignment_axis.steps_measured_axial_div_4;
716 else
    % throw exception
718     ME = MException('VerifyOutput:OutOfBounds', ...
        'Microstep resolution does not match with positioning steps');
720     throw(ME);
722 end;
724 %% limit positions in tilt operation to avoid collision with wheel hub
726 % DMT40 limit tilt position
728 stage_positioning.yaw_axis.steps_tilt_limit = ...
    stage_positioning.yaw_axis.degree_tilt_limit/ ...
    stage_positioning.yaw_axis.degree_per_step;
730 %% zero positions of rotation stages
732 % yaw-axis DMT40
734 if (stage_setup.yaw_axis.microstep_resolution == 1)
    stage_positioning.yaw_axis.zero_position = ...
        specific_parameter.yaw_axis.steps_measured_zero_div_2;
736 else
    % throw exception
738     ME = MException('VerifyOutput:OutOfBounds', ...
        'Microstep resolution does not match with positioning steps');
740     throw(ME);
end;
```

Quellcode C.16: rmp_3_move_relative_position.m

```

function [] = rmp_3_move_relative_position( ...
2   input_rel_pos, ...
   deviceAddr, ...
4   motorAddr, ...
   deviceObj, ...
6   stage_setup, ...
   stage_positioning)
8   %-----
   % MOVE POSITIONING STAGE TO RELATIVE POSITION
10  %
   % version 0.1
12  % filename:    rmp_3_move_relative_position.m
   %-----
14  %
   % author :     Christian Schoermer
16  % date  :     29.04.2010
   % changes:    Abraham Begic
18  % date:      23.05.18
   %
20  % input:      input_rel_pos           : relative position in
   %                                                    number of stepsize
22  %           moduleAddr               : module address
   %           motorAddr                 : motor address
24  %           deviceObj                 : actual device parameter
   %           stage_setup                : stage setup structure
26  %           stage_positioning         : stage positioning
   %                                                    structure
28  %
   % output:     -
30  %
   % description: function moves stage to a user defined relative
32  %              position. Step increment is defined in the structure
   %              "stage_positioning".
34  %
   %-----
36  %
38  % allocate variable
40  switch deviceAddr % switch modules
42      case 1 % linear axes
44          switch motorAddr % switch motor
46              case stage_setup.x_axis.motor_address % x-axis
48                  set(deviceObj, 'address', ...
                       stage_setup.x_axis.module_address); % module address
50                  set(deviceObj, 'motor', ...
                       stage_setup.x_axis.motor_address); % motor address
52                  %
54                      disp('positioning x-axis...');
56                  % relative positioning
                       invoke(deviceObj, 'mvp', 'relative', ...
                               stage_positioning.x_axis.steps_per_stepsize * ...
                               input_rel_pos);
60                  % wait till stage reached position
                       while(1)
62                      if((get(deviceObj.Axis, 'target_pos_reached') == 1) || ...
                          (get(deviceObj.Axis, 'left_limit_switch_status') == 1)..

```

```
64         || (get(deviceObj.Axis, 'right_limit_switch_status') == 1))
65         break;
66     end;
67     pause(1);
68 end
69
70 invoke(deviceObj, 'mst'); % stop motor
71
72 %             disp('positioning finished');
73
74 case stage_setup.y_axis.motor_address % y-axis
75
76     set(deviceObj, 'address', ...
77         stage_setup.y_axis.module_address); % module address
78     set(deviceObj, 'motor', ...
79         stage_setup.y_axis.motor_address); % motor address
80
81     %             disp('positioning y-axis...');
82
83     % relative positioning
84     invoke(deviceObj, 'mvp', 'relative', ...
85         stage_positioning.y_axis.steps_per_stepsize * ...
86         input_rel_pos)
87
88     % wait till stage reached position
89     while(1)
90         if((get(deviceObj.Axis, 'target_pos_reached') == 1) || ...
91             (get(deviceObj.Axis, 'left_limit_switch_status') == 1) ..
92             || (get(deviceObj.Axis, 'right_limit_switch_status') == 1))
93             break;
94         end;
95         pause(1);
96     end
97
98     invoke(deviceObj, 'mst'); % stop motor
99
100    %             disp('positioning finished');
101
102 case stage_setup.z_axis.motor_address % z-axis
103
104     set(deviceObj, 'address', ...
105         stage_setup.z_axis.module_address); % module address
106     set(deviceObj, 'motor', ...
107         stage_setup.z_axis.motor_address); % motor address
108
109     %             disp('positioning z-axis...');
110
111     % relative positioning
112     invoke(deviceObj, 'mvp', 'relative', ...
113         stage_positioning.z_axis.steps_per_stepsize * ...
114         input_rel_pos)
115
116     % wait till stage reached position
117     while(1)
118         if((get(deviceObj.Axis, 'target_pos_reached') == 1) || ...
119             (get(deviceObj.Axis, 'left_limit_switch_status') == 1) ..
120             || (get(deviceObj.Axis, 'right_limit_switch_status') == 1))
121             break;
122         end;
123         pause(1);
124     end
125
126     invoke(deviceObj, 'mst'); % stop motor
127
128    %             disp('positioning finished');
```

```
130         otherwise
131
132             % throw exception
133             ME = MException('VerifyOutput:OutOfBounds', ...
134                 'No valid motor address');
135             throw(ME);
136         end;
137
138     case 2 % tilt axes
139
140         switch motorAddr
141
142             case stage_setup.yaw_axis.motor_address % yaw-axis
143
144                 set(deviceObj, 'address', ...
145                     stage_setup.yaw_axis.module_address); % module address
146                 set(deviceObj, 'motor', ...
147                     stage_setup.yaw_axis.motor_address); % motor address
148
149                 %
150                 disp('positioning yaw-axis...');
151
152                 % relative positioning
153                 invoke(deviceObj, 'mvp', 'relative', ...
154                     stage_positioning.yaw_axis.steps_per_stepsize * ...
155                     (-input_rel_pos));
156
157                 % wait till stage reached position
158                 while(1)
159                     % zweite bedingung fuert zur unterbrechung der messung
160                     if((get(deviceObj.Axis, 'target_pos_reached') == 1) || ...
161                         (get(deviceObj.Axis, 'left_limit_switch_status') == 1))
162                         break;
163                     end;
164                     pause(1);
165                 end
166
167                 invoke(deviceObj, 'mst'); % stop motor
168
169                 %
170                 disp('positioning finished');
171
172             case stage_setup.roll_axis.motor_address % roll-axis
173
174                 set(deviceObj, 'address', ...
175                     stage_setup.roll_axis.module_address); % module address
176                 set(deviceObj, 'motor', ...
177                     stage_setup.roll_axis.motor_address); % motor address
178
179                 %
180                 disp('positioning roll-axis...');
181
182                 % relative positioning
183                 invoke(deviceObj, 'mvp', 'relative', ...
184                     stage_positioning.roll_axis.steps_per_stepsize * ...
185                     input_rel_pos);
186
187                 % wait till stage reached position
188                 while(1)
189                     if((get(deviceObj.Axis, 'target_pos_reached') == 1) || ...
190                         (get(deviceObj.Axis, 'left_limit_switch_status') == 1) || ...
191                         (get(deviceObj.Axis, 'right_limit_switch_status') == 1))
192                         break;
193                     end;
194                     pause(1);
195                 end
196             end
197         end
198     end
```

```

194         invoke(deviceObj, 'mst'); % stop motor
196         % disp('positioning finished');
198     case stage_setup.pitch_axis.motor_address % pitch-axis
200         set(deviceObj, 'address', ...
201             stage_setup.pitch_axis.module_address); % module address
202         set(deviceObj, 'motor', ...
203             stage_setup.pitch_axis.motor_address); % motor address
204         % disp('positioning pitch-axis...');
206         % relative positioning
208         invoke(deviceObj, 'mvp', 'relative', ...
209             stage_positioning.pitch_axis.steps_per_stepsize * ...
210             input_rel_pos);
212         % wait till stage reached position
213         while(1)
214             if((get(deviceObj.Axis, 'target_pos_reached') == 1) || ...
215                 (get(deviceObj.Axis, 'left_limit_switch_status') == 1)...
216                 ||(get(deviceObj.Axis, 'right_limit_switch_status') == 1))
217                 break;
218             end;
219             pause(1);
220         end
222         invoke(deviceObj, 'mst'); % stop motor
224         % disp('positioning finished');
226     otherwise
227         % throw exception
228         ME = MException('VerifyOutput:OutOfBounds', ...
229             'No valid motor address');
230         throw(ME);
232     end
234 case 3 % alignment axis
236     switch motorAddr
238     case stage_setup.alignment_axis.motor_address % alignment-axis
240         set(deviceObj, 'address', ...
241             stage_setup.alignment_axis.module_address); % module address
242         set(deviceObj, 'motor', ...
243             stage_setup.alignment_axis.motor_address); % motor address
244         % disp('positioning alignment-axis...');
246         % relative positioning
248         invoke(deviceObj, 'mvp', 'relative', ...
249             stage_positioning.alignment_axis.steps_per_stepsize * ...
250             (-input_rel_pos));
252         % wait till stage reached position
253         while(1)
254             if((get(deviceObj.Axis, 'target_pos_reached') == 1) || ...
255                 (get(deviceObj.Axis, 'left_limit_switch_status') == 1))
256                 break;
257             end;
258             pause(1);

```

```
260         end
261         invoke(deviceObj, 'mst'); % stop motor
262
263         %           disp('positioning finished');
264
265     case 1 % no device
266
267         % throw exception
268         ME = MException('VerifyOutput:OutOfBounds', ...
269             'No valid motor address');
270         throw(ME);
271
272     case 2 % no device
273
274         % throw exception
275         ME = MException('VerifyOutput:OutOfBounds', ...
276             'No valid motor address');
277         throw(ME);
278
279     otherwise
280
281         % throw exception
282         ME = MException('VerifyOutput:OutOfBounds', ...
283             'No valid motor address');
284         throw(ME);
285
286     end % end switch motor address
287
288 otherwise
289
290     % throw exception
291     ME = MException('VerifyOutput:OutOfBounds', ...
292         'No valid module address');
293     throw(ME);
294 end; % end switch module address
```

D Tabellen

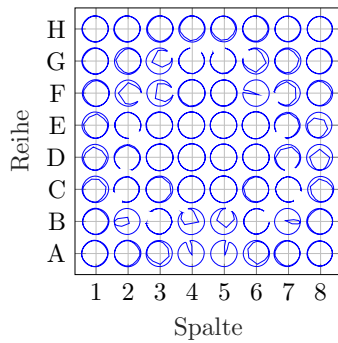
Tabelle D.1: Widerstandswerte der COS-Seite angegeben in $k\Omega$.

0 Zeile		1	2	3	4	5	6	7	8	
Brückenwiderstand in $k\Omega$	R _{C1}	+	247,6	236,9	248,0	233,4	226,4	242,6	215,2	220,5
		-	248,6	237,5	248,3	234,5	227,9	244,3	216,6	224,1
		\Delta	1,0	0,6	0,3	1,1	1,5	1,7	1,4	3,6
	R _{C2}	+	198,5	179,3	205,8	169,3	181,7	188,9	171,8	194,5
		-	197,9	179	206,8	169,7	182,5	189,7	173,6	196,0
		\Delta	0,6	0,3	1,0	0,4	0,8	0,8	1,8	1,5
	R _{C3}	+	251,1	228,1	245,5	214,9	198,1	236,6	228,0	235,9
		-	251,8	230,6	247,7	217,4	200,5	239,2	231,0	238,8
		\Delta	0,7	2,5	2,2	2,5	2,4	2,6	3,0	2,9
	R _{C4}	+	233,1	218,8	231,6	209,3	187,8	198,9	201,5	208,6
		-	237,3	224,3	236,8	214,5	193,8	204,8	207,6	214,6
		\Delta	4,2	5,5	5,2	5,2	6,0	5,9	6,1	6,0
	R _{C5}	+	248,8	220,7	247,7	231,8	225,2	238,8	209,5	229,4
		-	254,2	226	254,3	238,3	232,1	245,8	217,0	236,4
		\Delta	5,4	5,3	6,6	6,5	6,9	7,0	7,5	7,0
	R _{C6}	+	279,9	262,5	276,0	257,3	250,8	265,4	249,5	241,1
		-	288,1	270,6	284,5	266,2	260,3	275,0	258,3	251,7
		\Delta	8,2	8,1	8,5	8,9	9,5	9,6	8,8	10,6
	R _{C7}	+	267,7	252,9	268,3	246,9	213,9	255,9	244,9	248,0
		-	275,8	261,7	278,6	257,2	224,9	267,9	265,7	260,0
		\Delta	8,1	8,8	10,3	10,3	11,0	12,0	20,8	12,0
	R _{C8}	+	254,9	233,5	254,1	216,2	219,2	224,1	230,4	237,1
		-	262,5	241,6	263,0	224,1	228,3	233,9	240,6	247,5
		\Delta	7,6	8,1	8,9	7,9	9,1	9,8	10,2	10,4

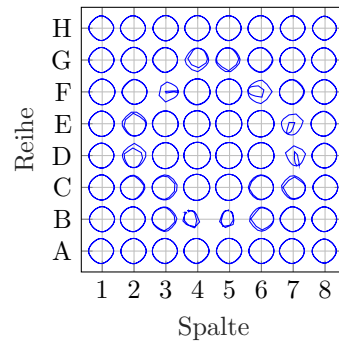
Tabelle D.2: Widerstandswerte der SIN-Seite angegeben in $k\Omega$.

Zeile		1	2	3	4	5	6	7	8	
Brückenwiderstand in $k\Omega$	R _{S1}	+	266,0	256,0	266,9	251,7	242,0	257,3	229,1	233,5
		-	246,2	236,7	247,9	233,9	223,9	240,3	214,2	216,9
		\Delta	19,8	19,3	19,0	17,8	18,1	17,0	14,9	16,6
	R _{S2}	+	213,5	192,7	218,5	182,1	192,1	198,8	179,8	203,8
		-	200,7	180,3	206,1	171,5	181,0	187,1	169,9	192,9
		\Delta	12,8	12,4	12,4	10,6	11,1	11,7	9,9	10,9
	R _{S3}	+	267,2	244,5	262,4	230,8	208,7	247,9	240,1	247,2
		-	250,3	227,7	245,4	215,6	194,5	233,7	225,9	233,0
		\Delta	16,9	16,8	17,0	15,2	14,2	14,2	14,2	14,2
	R _{S4}	+	245,0	230,2	241,8	220,0	195,4	204,7	210,0	216,6
		-	235,3	222,1	234,4	211,8	187,1	197,6	202,9	210,1
		\Delta	9,7	8,6	7,4	8,2	8,3	7,1	7,1	6,5
	R _{S5}	+	262,6	234,1	258,9	244,0	234,6	246,7	216,7	237,8
		-	249,5	222,1	248,2	233,9	224,2	237,1	207,5	229,5
		\Delta	13,1	12,0	10,7	10,1	10,4	9,6	9,2	8,3
	R _{S6}	+	289,7	273,1	285,2	268,2	258,2	272,3	256,7	246,5
		-	279,9	264,3	276,2	258,5	250,0	264,0	249,3	238,8
		\Delta	9,8	8,8	9,0	9,7	8,2	8,3	7,4	7,7
	R _{S7}	+	281,0	265,4	279,1	257,5	220,8	263,0	253,8	255,8
		-	272,8	256,6	272,3	251,0	214,5	256,7	247,4	250,1
		\Delta	8,2	8,8	6,8	6,5	6,3	6,3	6,4	5,7
	R _{S8}	+	265,3	243,9	264,1	225,5	226,4	230,3	237,2	243,7
		-	261,1	239,4	260,4	223,5	224,4	227,1	234,4	241,5
		\Delta	4,2	4,5	3,7	2,0	2,0	3,2	2,8	2,2

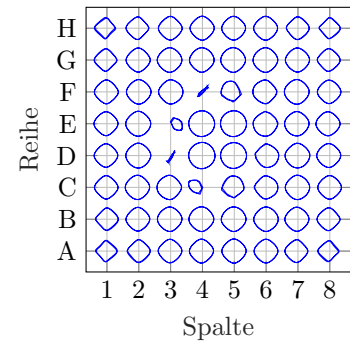
E Messungen



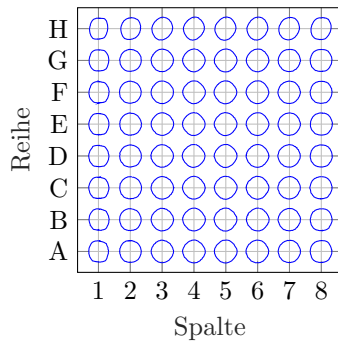
(a) Mitte KMZ große Kugel.



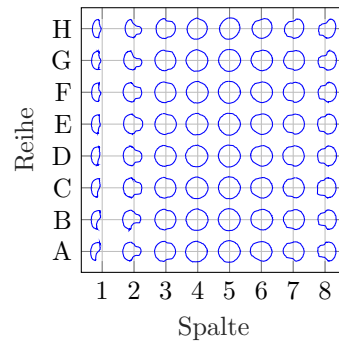
(b) Mitte KMZ kleine Kugel



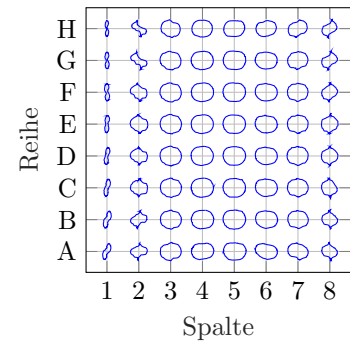
(c) Mitte KMZ Würfelmagnet



(d) Mitte NVE große Kugel

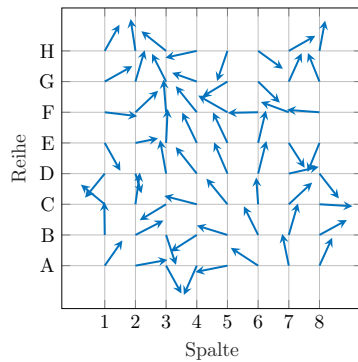


(e) Mitte NVE kleine Kugel

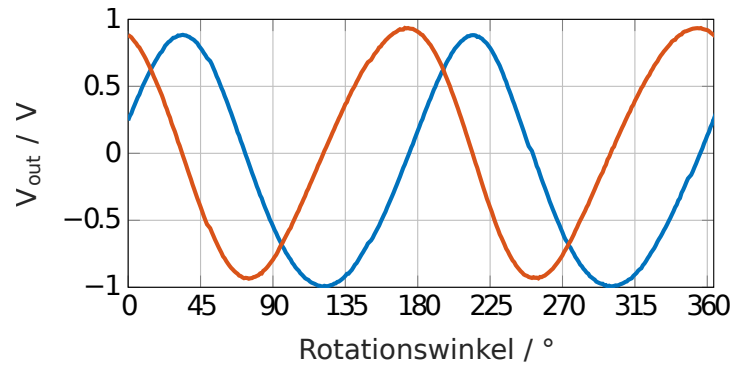


(f) Mitte NVE Würfelmagnet

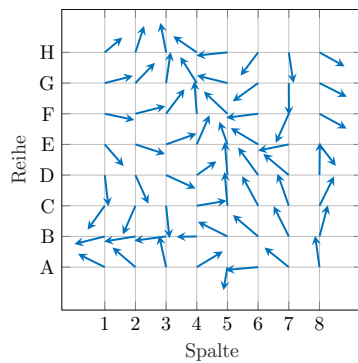
Abbildung E.1: Gegenüberstellungen der Kreisdarstellungen von KMZ und NVE mit verschiedenen Magneten mittig über beide Sensor-Arrays.



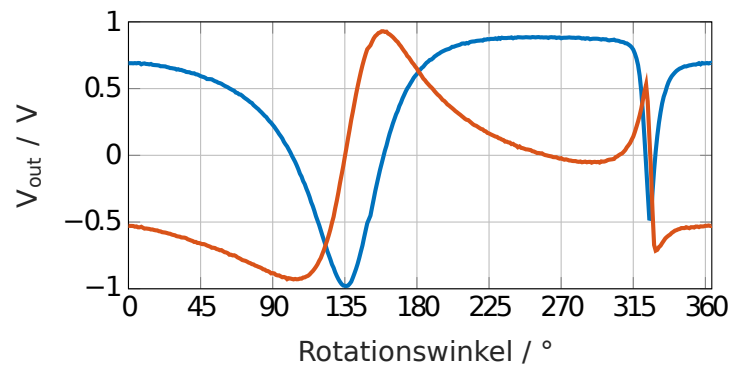
(a) Vektordarstellung der Ausgangssignale bei 45° Rotation des Magneten über der Mitte des Arrays.



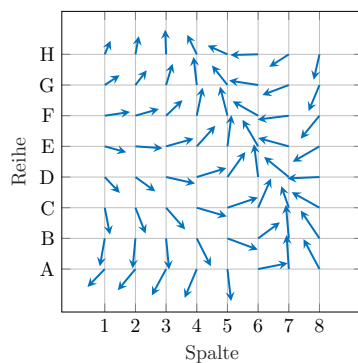
(b) SIN- (rot) und COS-Ausgangssignale (blau) des Sensors (E,5) in Abhängigkeit der Rotation des Magneten über der Mitte des Arrays.



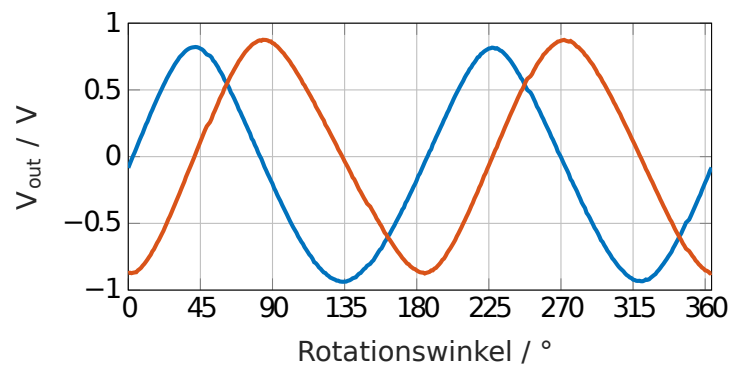
(c) Vektordarstellung der Ausgangssignale bei 45° Rotation des Magneten über dem Sensor (F,3).



(d) SIN- (rot) und COS-Ausgangssignale (blau) des Sensors (E,5) in Abhängigkeit der Rotation des Magneten über dem Sensor (F,3).

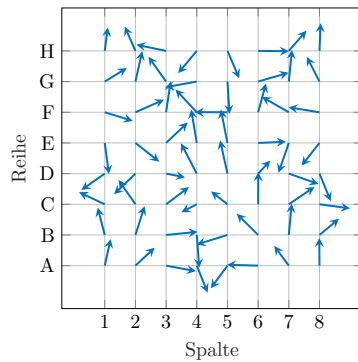


(e) Vektordarstellung der Ausgangssignale bei 45° Rotation des Magneten über dem Sensor (A,8).

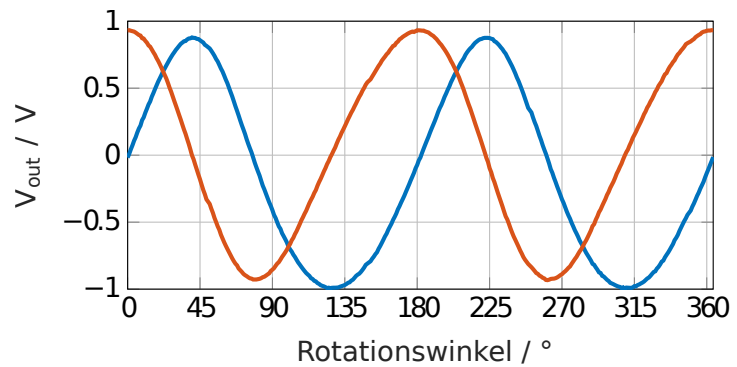


(f) SIN- (rot) und COS-Ausgangssignale (blau) des Sensors (E,5) in Abhängigkeit der Rotation des Magneten über dem Sensor (A,8).

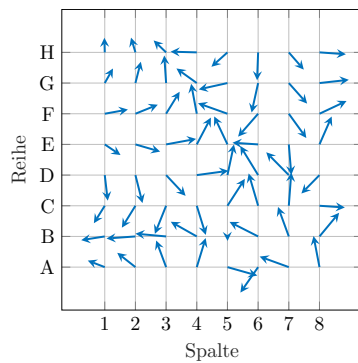
Abbildung E.2: Messungen mit dem KMZ-60 Sensor-Array und einem Kugelmagneten ($d = 19\text{ mm}$) im Abstand von 19 mm bei drei verschiedenen Positionen über dem Sensor-Array.



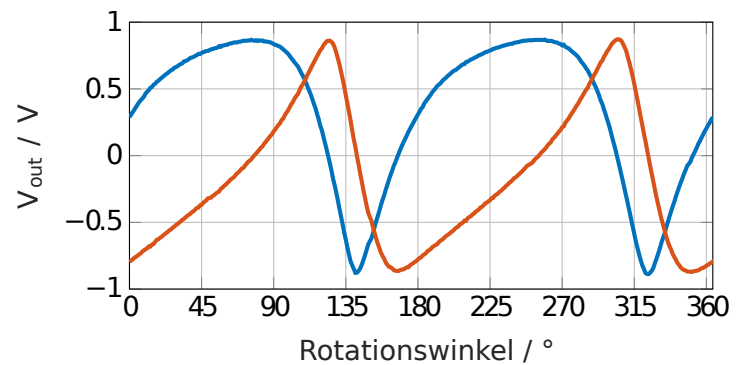
(a) Vektordarstellung der Ausgangssignale bei 45° Rotation des Magneten über der Mitte des Arrays.



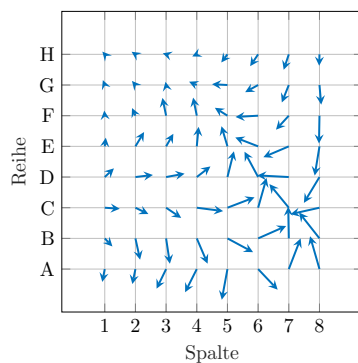
(b) SIN- (rot) und COS-Ausgangssignale (blau) des Sensors (E,5) in Abhängigkeit der Rotation des Magneten über der Mitte des Arrays.



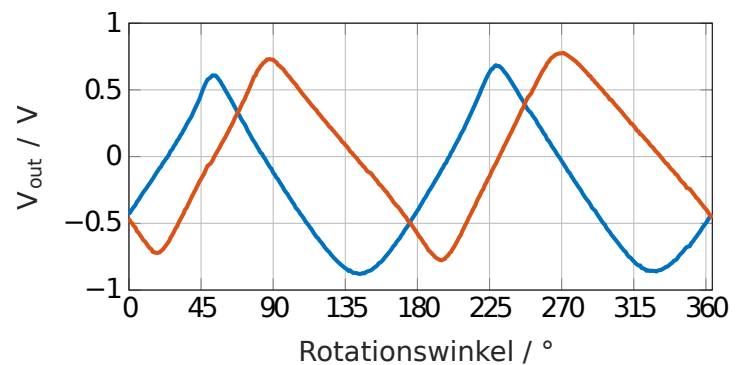
(c) Vektordarstellung der Ausgangssignale bei 45° Rotation des Magneten über dem Sensor (F,3).



(d) SIN- (rot) und COS-Ausgangssignale (blau) des Sensors (F,3) in Abhängigkeit der Rotation des Magneten über dem Sensor (F,3).

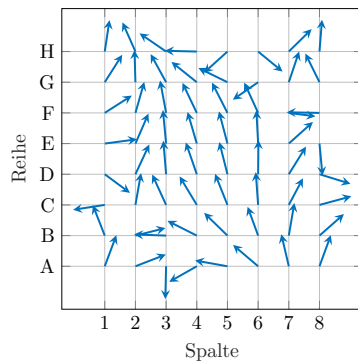


(e) Vektordarstellung der Ausgangssignale bei 45° Rotation des Magneten über dem Sensor (A,8).

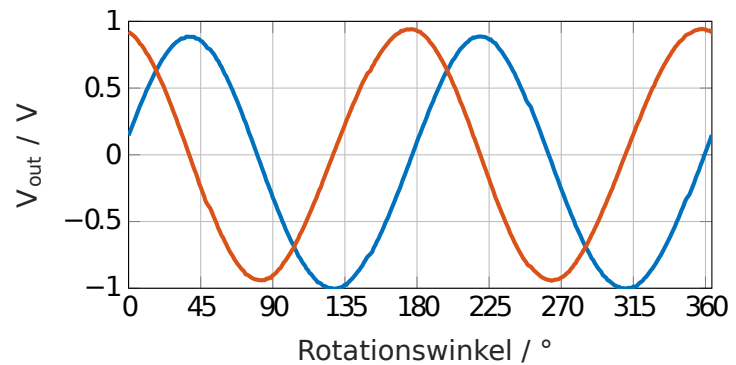


(f) SIN- (rot) und COS-Ausgangssignale (blau) des Sensors (A,8) in Abhängigkeit der Rotation des Magneten über dem Sensor (A,8).

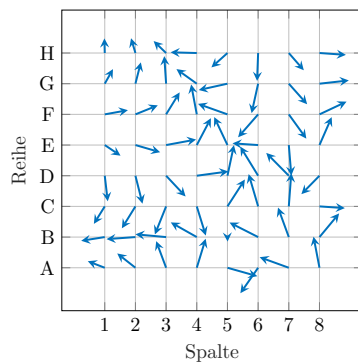
Abbildung E.3: Messungen mit dem KMZ-60 Sensor-Array und einem Würfelmagneten der Kantenlänge 10 mm im Abstand von 19 mm bei drei verschiedenen Positionen über dem Sensor-Array.



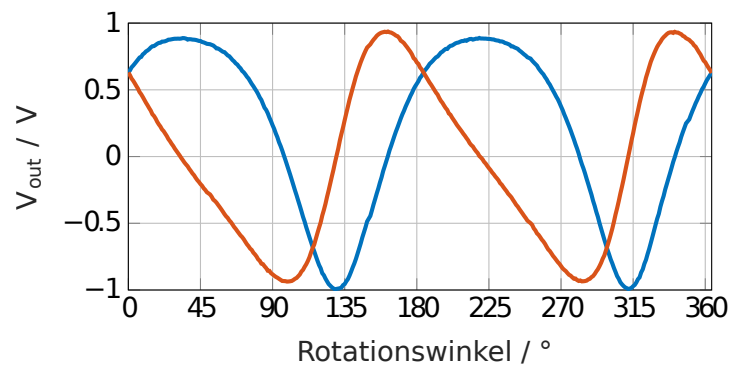
(a) Vektordarstellung der Ausgangssignale bei 45° Rotation des Magneten über der Mitte des Arrays.



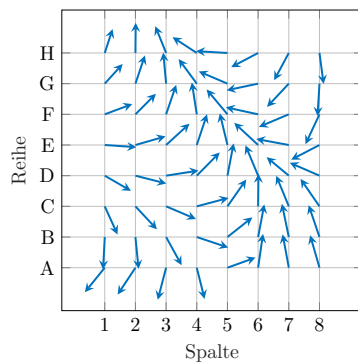
(b) SIN- (rot) und COS-Ausgangssignale (blau) des Sensors (E,5) in Abhängigkeit der Rotation des Magneten über der Mitte des Arrays.



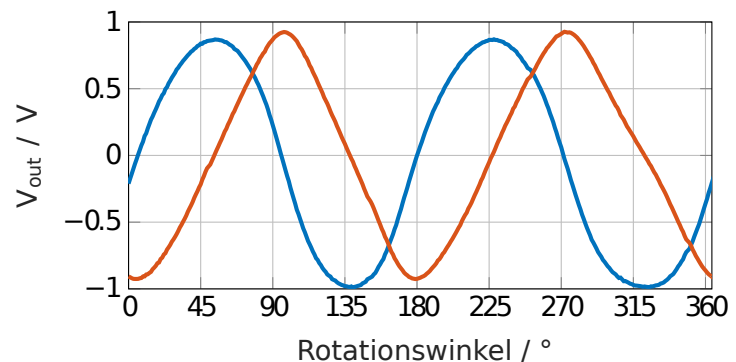
(c) Vektordarstellung der Ausgangssignale bei 45° Rotation des Magneten über dem Sensor (F,3).



(d) SIN- (rot) und COS-Ausgangssignale (blau) des Sensors (E,5) in Abhängigkeit der Rotation des Magneten über dem Sensor (F,3).

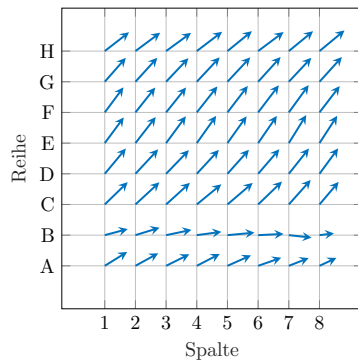


(e) Vektordarstellung der Ausgangssignale bei 45° Rotation des Magneten über dem Sensor (A,8).

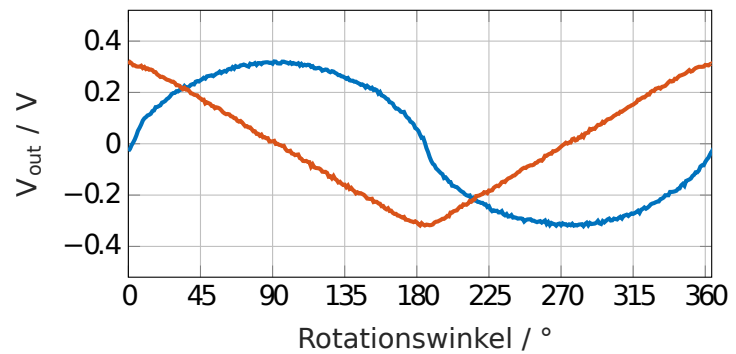


(f) SIN- (rot) und COS-Ausgangssignale (blau) des Sensors (E,5) in Abhängigkeit der Rotation des Magneten über dem Sensor (A,8).

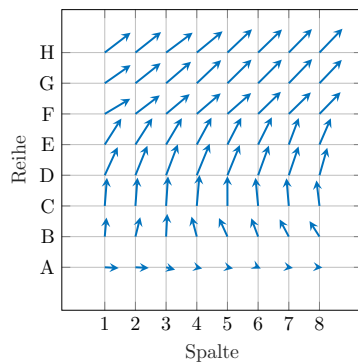
Abbildung E.4: Messungen mit dem KMZ-60 Sensor-Array und einem Quadmagneten ($l = 40 \text{ mm}$, $w = 40 \text{ mm}$, $h = 20 \text{ mm}$) im Abstand von 19 mm bei drei verschiedenen Positionen über dem Sensor-Array.



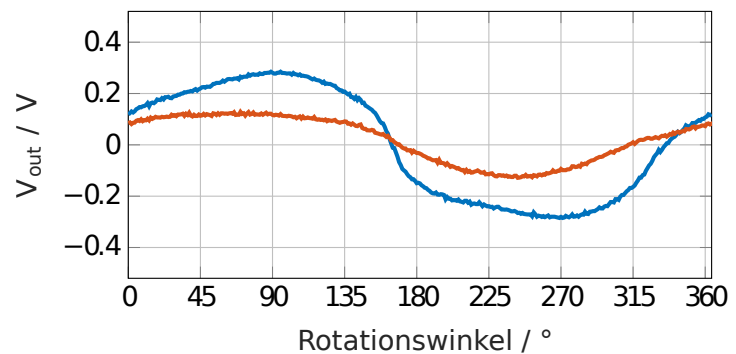
(a) Vektordarstellung der Ausgangssignale bei 45° Rotation des Magneten über der Mitte des Arrays.



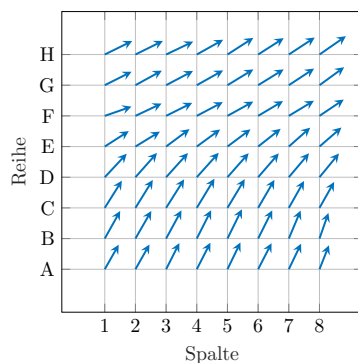
(b) SIN- (rot) und COS-Ausgangssignale (blau) des Sensors (E,5) in Abhängigkeit der Rotation des Magneten über der Mitte des Arrays.



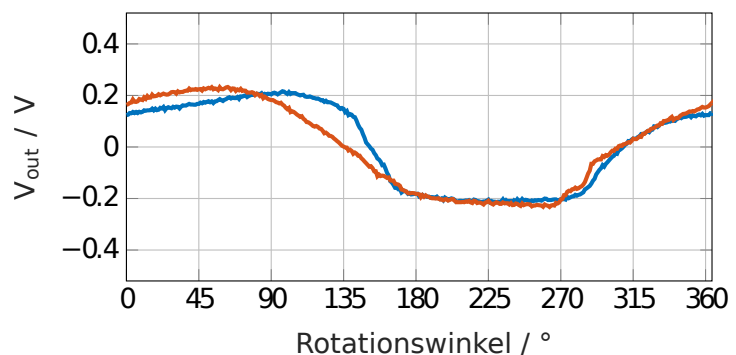
(c) Vektordarstellung der Ausgangssignale bei 45° Rotation des Magneten über dem Sensor (C,3).



(d) SIN- (rot) und COS-Ausgangssignale (blau) des Sensors (E,5) in Abhängigkeit der Rotation des Magneten über dem Sensor (C,3).

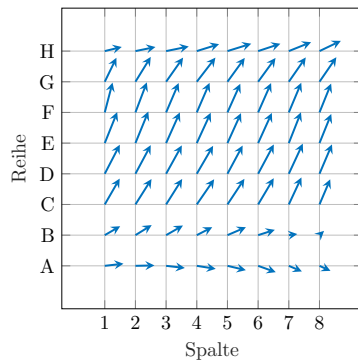


(e) Vektordarstellung der Ausgangssignale bei 45° Rotation des Magneten über dem Sensor (A,1).

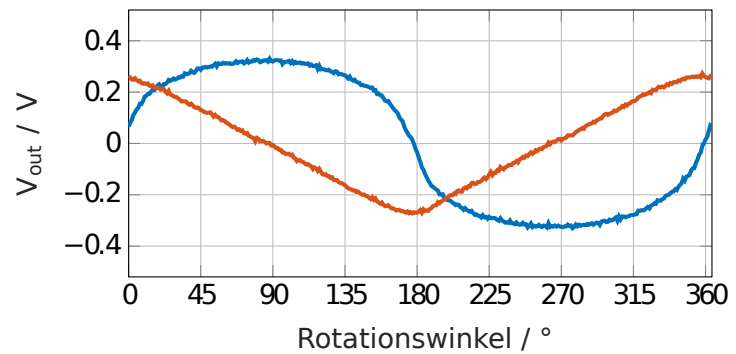


(f) SIN- (rot) und COS-Ausgangssignale (blau) des Sensors (E,5) in Abhängigkeit der Rotation des Magneten über dem Sensor (A,1).

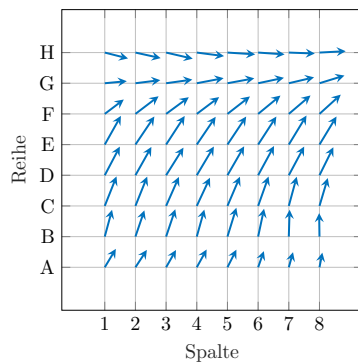
Abbildung E.5: Messungen mit dem NVE-AAT001-10E Sensor-Array und einem Kugelmagneten ($d = 19\text{ mm}$) im Abstand von 19 mm bei drei verschiedenen Positionen über dem Sensor-Array.



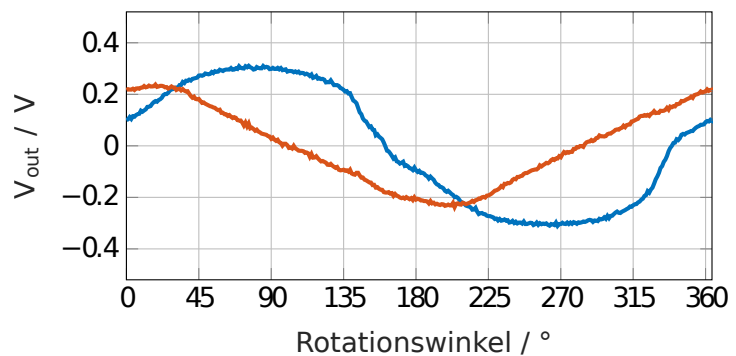
(a) Vektordarstellung der Ausgangssignale bei 45° Rotation des Magneten über der Mitte des Arrays.



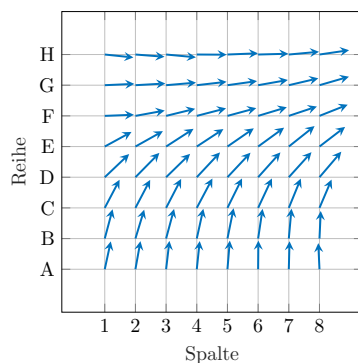
(b) SIN- (rot) und COS-Ausgangssignale (blau) des Sensors (E,5) in Abhängigkeit der Rotation des Magneten über der Mitte des Arrays.



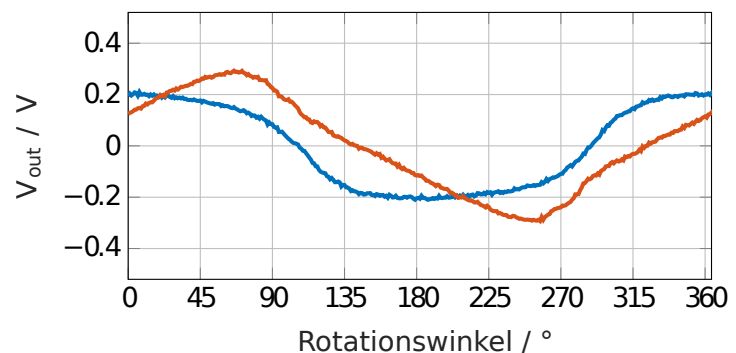
(c) Vektordarstellung der Ausgangssignale bei 45° Rotation des Magneten über dem Sensor (C,3).



(d) SIN- (rot) und COS-Ausgangssignale (blau) des Sensors (E,5) in Abhängigkeit der Rotation des Magneten über dem Sensor (C,3).

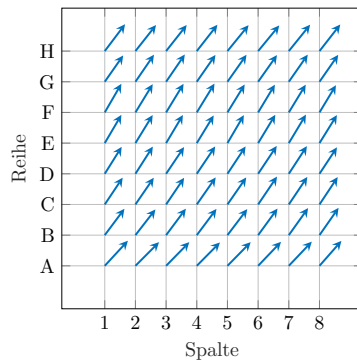


(e) Vektordarstellung der Ausgangssignale bei 45° Rotation des Magneten über dem Sensor (A,1).

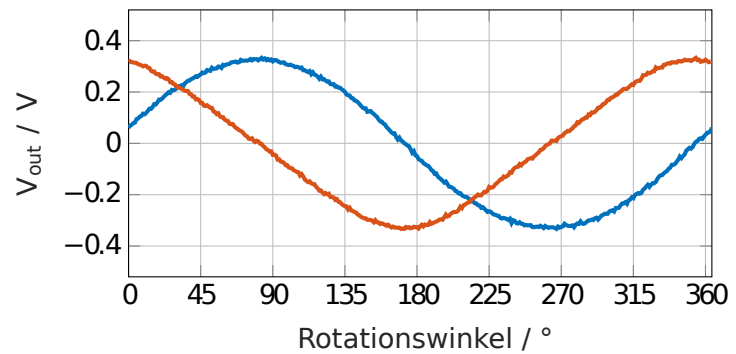


(f) SIN- (rot) und COS-Ausgangssignale (blau) des Sensors (E,5) in Abhängigkeit der Rotation des Magneten über dem Sensor (A,1).

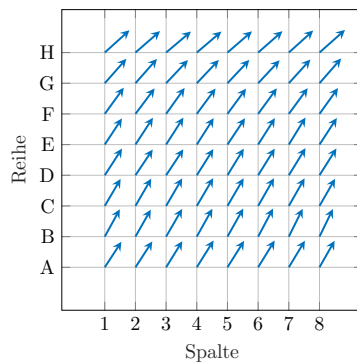
Abbildung E.6: Messungen mit dem NVE-AAT001-10E Sensor-Array und einem Würfelmagneten der Kantenlänge 10 mm im Abstand von 19 mm bei drei verschiedenen Positionen über dem Sensor-Array.



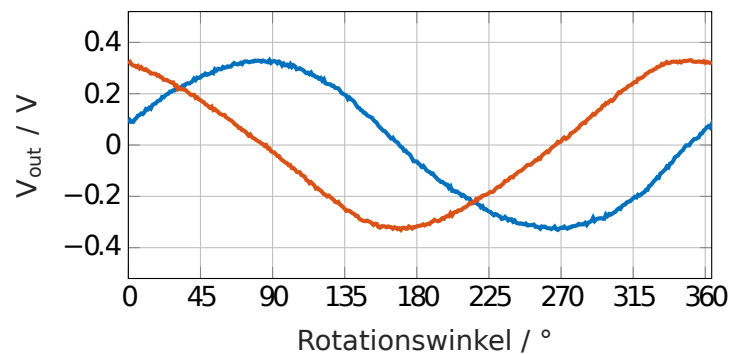
(a) Vektordarstellung der Ausgangssignale bei 45° Rotation des Magneten über der Mitte des Arrays.



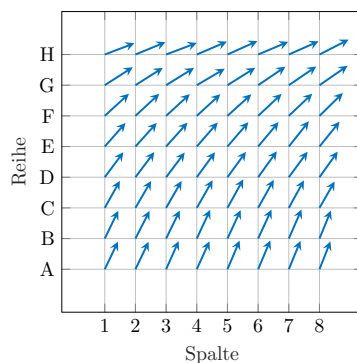
(b) SIN- (rot) und COS-Ausgangssignale (blau) des Sensors (E,5) in Abhängigkeit der Rotation des Magneten über der Mitte des Arrays.



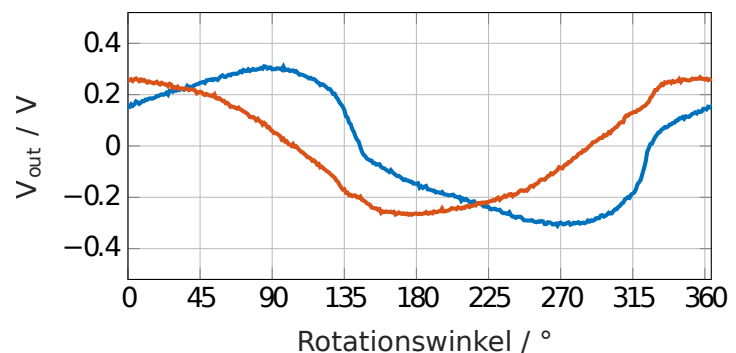
(c) Vektordarstellung der Ausgangssignale bei 45° Rotation des Magneten über dem Sensor (C,3).



(d) SIN- (rot) und COS-Ausgangssignale (blau) des Sensors (E,5) in Abhängigkeit der Rotation des Magneten über dem Sensor (C,3).



(e) Vektordarstellung der Ausgangssignale bei 45° Rotation des Magneten über dem Sensor (A,1).



(f) SIN- (rot) und COS-Ausgangssignale (blau) des Sensors (E,5) in Abhängigkeit der Rotation des Magneten über dem Sensor (A,1).

Abbildung E.7: Messungen mit dem NVE-AAT001-10E Sensor-Array und einem Quadermagneten ($l = 40 \text{ mm}$, $w = 40 \text{ mm}$, $h = 20 \text{ mm}$) im Abstand von 19 mm bei drei verschiedenen Positionen über dem Sensor-Array.

F CD

Auf der beigefügten CD befinden sich sämtliche Programme, Messdaten, Darstellungen die im Rahmen dieser Arbeit erstellt wurden.

-

Selbstständigkeitserklärung

Hiermit versichere ich, Abraham Begic, dass ich die vorliegende Arbeit im Sinne der Prüfungsordnung nach §16(5) APSO-TI-BM ohne fremde Hilfe selbständig verfasst und nur die angegebenen Hilfsmittel benutzt habe. Wörtlich oder dem Sinn nach aus anderen Werken entnommene Stellen habe ich unter Angabe der Quellen kenntlich gemacht.

Hamburg, 09. Juli 2018